



UNIVERSIDAD DE BUENOS AIRES

MAESTRÍA EN BIOLOGÍA MOLECULAR MÉDICA

---

**"Análisis comparativo de los perfiles de expresión génica de células histiocíticas ante la exposición a LPS."**

Tesis presentada para optar al título de  
Magíster de la Universidad de Buenos Aires

**Romina Martinelli**

Directores: Dr. Luis Esteban y Dr. Lucas Daurelio

Lugar de trabajo: Cátedra de Química Biológica. Facultad de Ciencias Médicas.  
Universidad Nacional de Rosario.

**2016**

## **Resumen**

La rama celular de la inmunidad innata, compuesta por fagocitos mononucleares y células dendríticas, cumple un rol importante iniciando, orientando y modulando varios aspectos de la respuesta inmune adaptativa. Estas células, a pesar de su diversidad fenotípica, comparten funciones esenciales para el desarrollo de la respuesta inmune. El modelo de células expuestas a lipopolisacárido (LPS), macromolécula glicolipídica presente en la pared de bacterias Gram negativas, permite hacer inferencias sobre diferentes tipos de enfermedades en las que la inflamación juega un rol fundamental.

En este trabajo se analizaron datos provenientes de experimentos de microarreglos de ADN de monocitos, macrófagos y células dendríticas expuestas a LPS. Mediante análisis de clusterización y de enriquecimiento funcional se logró identificar un grupo de genes sobreexpresados en los tres tipos celulares, que contiene genes que pueden modular la inflamación a través de la inhibición de la vía de NF $\kappa$ B y que a su vez pueden ser estimulados por calcitriol. Esto permitió esbozar un modelo de red de regulación génica que puede ayudar a entender la acción antiinflamatoria, una de las acciones no clásicas de este compuesto. Esto también abre la búsqueda de moléculas que puedan actuar como blancos terapéuticos para un gran expectro de enfermedades en las que la inflamación juega un rol importante en la fisiopatogenia.

## **Abstract**

The cellular arm of the innate immune response, consisting of mononuclear phagocytes and dendritic cells, plays an important role by initiating, directing and modulating different aspects of the adaptive immune response. These cells, despite their phenotypic diversity, share essential functions to the development of the immune response.

In this work were used data from cells exposed to lipopolysaccharide (LPS), a glycolipidic macromolecule present on the wall of Gram negative bacteria. This model allows to make inferences about different kinds of diseases in which inflammation plays an essential role. Here, data from DNA microarray experiments of monocytes, macrophages and dendritic cells exposed to LPS were analyzed. By means of clustering techniques and functional enrichment analysis was identified a group of over-expressed genes in the three cell types, including some that can modulate the inflammation through the inhibition of NF $\kappa$ B pathway and that also can be regulated by calcitriol.

This results allowed us to construct a gene regulatory network model that can help to understand the vitamin D antiinflammatory action, one of the non-classical actions of this compound. This also opens the search for molecules that can act as therapeutic targets for a variety of diseases in which inflammation plays an important role during their pathogenesis.

## **Agradecimientos**

A los Dres. Luis Esteban y Lucas Daurelio por darme la oportunidad para realizar esta tesis, y por su enorme esfuerzo y compromiso puestos en mi formación.

A Moni, Maru y Johanna, amigas y compañeras de las largas horas de viaje hasta Buenos Aires.

A mi familia por ayudarme e incentivar me a concretar todos mis proyectos.

# Índice

<b>I. Introducción</b>	1
1. El sistema inmunitario	1
1.1 La respuesta inmunitaria	1
1.2 El Sistema Fagocítico Mononuclear	1
1.3 Receptores de reconocimiento de patrones	3
2. Lipopolisacárido	3
2.1 Estructura	3
2.2 Respuesta del macrófago al LPS	3
3. Introducción al análisis de la expresión masiva de genes	5
3.1 1 Análisis masivo de la expresión de genes: Microarreglos de ADN	5
3.2 Análisis de los datos de micromatrices de ADN	6
3.3 Redes	8
<b>II. Objetivos</b>	10
<b>III. Materiales y métodos</b>	11
1. Datos	11
2. Preprocesado	11
3. Análisis de expresión diferencial	12
4. Análisis de clusterización	12
5. Análisis de enriquecimiento funcional	13
6. Análisis de redes	14
<b>IV. Resultados</b>	16
1. Análisis de expresión diferencial y perfiles de expresión	16
2. Análisis de clusterización	20
3. Análisis de redes y de enriquecimiento a sitios de unión a factores de transcripción y microRNA	21

<b>V. Discusión</b>	22
<b>VI. Conclusión</b>	32
<b>VII. Bibliografía</b>	33
<b>VIII. Tablas Suplementarias</b>	37

## **Índice de figuras y tablas**

- Figura 1. Linaje del sistema fagocítico mononuclear.
- Tabla 1. Datos de microarreglos utilizados
- Tabla 2. Tabla unificada de genes diferencialmente expresados
- Figura 2. Patrones de expresión.
- Figura 3. Enriquecimiento funcional en términos GO
- Figura 4. Enriquecimiento funcional en vías KEGG
- Figura 5. Diagrama de Venn
- Tabla 3. Enriquecimiento funcional en vías KEGG de los genes compartidos
- Tabla 4. Análisis de enriquecimiento funcional de los genes del clúster 26
- Figura 6. Red de interacción proteína-proteína
- Figura 7. Red de interacción proteína-factor de transcripción
- Figura 8. Análisis de centralidad
- Tabla 5. Análisis de enriquecimiento en sitios blanco para microRNAs
- Figura 9. Modelo de regulación por retroalimentación de NFκB por clacitriol
- Figura 10. Modelo de regulación de NFκB por la vitamina D

## Abreviaturas

ADN	Ácido desoxirribonucleico
ARN	Ácido ribonucleico
B-H	Benjamini y Hochberg
CD	Células dendríticas
CDC	Células dendríticas clásicas
CDP	Células dendríticas plasmocitoides
DAVID	Database for Annotation, Visualization and Integrated Discovery
EDA	Extra domain A
FT	Factor de transcripción
GO	Gene Ontology
IL	Interleucina
JNK	c-jun N terminal kinase
KEGG	Kyoto Encyclopedia of Genes and Genomes
LBP	LPS binding protein
logFC	Logaritmo del Fold Change
LPS	Lipopolisacárido
MAL	MyD88 adapter-like protein
MAPK	Mitogen-Activated ProteinKinases
MO	Médula ósea
MyD88	Myeloid differentiation factor 88
PAMP	Pathogen-associated molecular pattern
PCA	Principal Component Analysis
PCM	Progenitor común de monocitos
PMA	Acetato de forbol miristato
PMD	Precursor de macrófagos y células dendríticas
RMA	Robust Multi-array Average
RRP	Receptores de reconocimiento de patrones
RTT	Receptores tipo toll
SFM	Sistema Fagocítico Mononuclear
SI	Sistema Inmune
TLR4	Toll-like receptor type 4
TRAM	TRIF-related adapter molecule
TRIF	TIR-containing adapter molecule

# I. Introducción

## 1. El sistema inmunitario

### 1.1 La respuesta inmunitaria

El Sistema Inmune (SI) es el conjunto de estructuras y procesos cuya función proteger al organismo ante agentes infecciosos, como bacterias y virus, y ante el daño tisular inducido por agentes químicos y físicos. Para esto se organiza en dos componentes: el SI innato, responsable de las acciones iniciales frente a la invasión de un patógeno, y el SI adaptativo, que proporciona una respuesta más específica gracias a la capacidad de reconocer y recordar patógenos específicos.

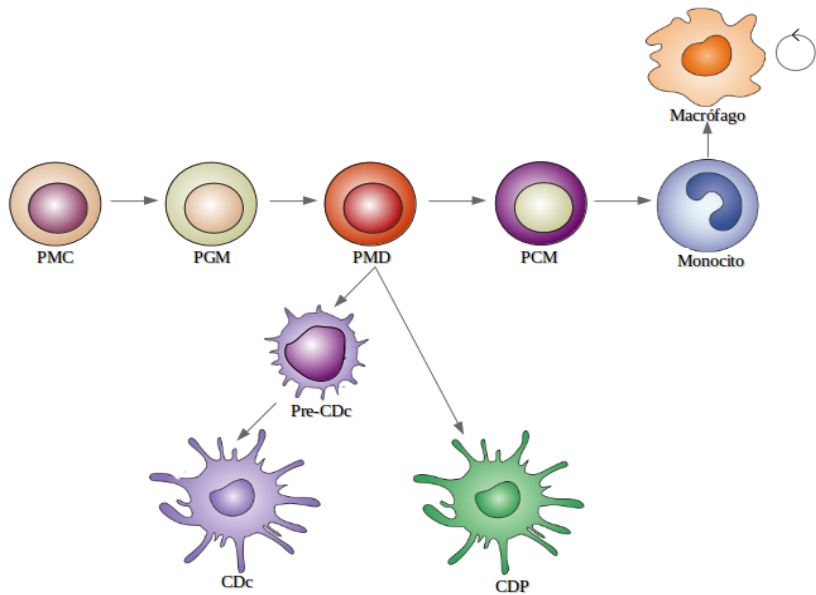
El SI innato, a pesar de su menor complejidad comparada con la del adaptativo, no solo es importante por su efectividad, sino también por constituir la primera línea de defensa y estimular a la respuesta adaptativa. Su rama celular, compuesta por fagocitos mononucleares, junto a las células dendríticas, cumple un rol esencial iniciando, orientando y modulando varios aspectos de la respuesta inmune adaptativa, mediante la producción de ciertas moléculas como la pentaxina PTX3 y el amiloide A, considerados ancestros funcionales de anticuerpos, que actúan como un puente entre la rama celular y humoral del sistema inmune innato<sup>1</sup>.

### 1.2 El Sistema Fagocítico Mononuclear

El Dr. Metchnikoff estableció la idea de fagocitosis en 1892, pero pasaron más de 60 años hasta la aceptación del término Sistema Fagocítico Mononuclear para agrupar, en base a su morfología, función y origen, a monocitos, macrófagos y células dendríticas (CD)<sup>2</sup>.  Estas células comparten un precursor común en la médula ósea (MO) denominado precursor de macrófagos y células dendríticas (PMD)<sup>3</sup>.

Si bien antiguamente se pensaba que los macrófagos y las CD derivaban únicamente de los monocitos sanguíneos, trabajos recientes indican la existencia de un progenitor común de monocitos (PCM)<sup>2</sup> del que derivan monocitos y macrófagos. También se demostró que en

adultos, los macrófagos se mantienen por autorrenovación<sup>4</sup>, independientemente de células madre de la MO (Figura 1).



**Figura 1. Linaje del sistema fagocítico mononuclear.** Estas células derivan de un precursor común que da origen a un precursor de monocitos y macrófagos y a los dos grupos de células dendríticas.  
 PMC, progenitor mieloide común; PGM, precursor de granulocitos y mononucleares; PMD, precursor de macrófagos y células dendríticas; PCM, progenitor común de monocitos; Pre-Cdc, precursor de células dendríticas clásicas; Cdc, células dendríticas clásicas; CDP, células dendríticas plasmocitoides.

Los monocitos humanos se encuentran principalmente en MO y sangre periférica, y pueden ser diferenciados en dos grupos según la expresión diferencial de CD14 y CD16<sup>5</sup>. Los monocitos clásicos, que representan más del 80% de la población, presentan marcadores CD14<sup>+</sup>CD16<sup>-</sup>, mientras que los no clásicos son CD14<sup>+</sup>CD16<sup>+</sup>. Los mismos cumplen funciones de células efectoras del sistema inmune, dado que poseen en su superficie receptores para quimiocinas y de reconocimiento de patógenos. Tienen además la capacidad de producir citocinas y de diferenciarse en macrófagos o CD durante un proceso inflamatorio.

Los macrófagos son células de residentes en tejidos periféricos con alta capacidad fagocítica. Participan tanto en el mantenimiento de la homeostasis, por ejemplo fagocitando

cuerpos apoptóticos, como en procesos infecciosos, gracias a la presencia de receptores de reconocimiento de patrones que reconocen estructuras conservadas denominados patrones moleculares asociados a patógenos (PAMP) (*pathogen-associated molecular pattern*)<sup>6</sup> y su capacidad de producir diferentes citocinas.

Las CD se subdividen en clásicas (CDC) y plasmocitoides (CDP). Las primeras son células especializadas en el procesamiento y presentación antigenica que al madurar adquieren capacidad migratoria y de producción de citocinas. Las CDP, además de estas funciones, están especializadas en la respuesta frente a virus debido a su capacidad de producir grandes cantidades de interferones tipo I.

### **1.3 Receptores de reconocimiento de patrones**

Las moléculas que le permiten a estos tipos celulares identificar a los patógenos tienen una alta especificidad para el reconocimiento de las estructuras conservadas en los microorganismos o PAMPs, por lo que se denominan receptores de reconocimiento de patrones (RRP). Estos receptores se localizan principalmente en la membrana plasmática e intervienen en la fagocitosis, la activación de rutas de señalización proinflamatorias, la producción de citocinas y la inducción de apoptosis<sup>7</sup>. Los RRP comprenden a los receptores tipo toll (RTT), los tipo nod, los fagocíticos y los receptores con dominios de lectinas de tipo C.

## **2. Lipopolisacárido**

### **2.1 Estructura**

El lipopolisacárido (LPS) es el principal constituyente de la pared externa de bacterias gram negativas<sup>8</sup>. Está compuesto por una región hidrofóbica denominada lípido A, unida a una cadena de carbohidratos que puede dividirse en dos áreas: el núcleo y el antígeno O (somático). El lípido A es el responsable de su gran actividad inmunogénica y le otorga al LPS la capacidad de iniciar una fuerte respuesta inmune en el organismo huésped<sup>9</sup>.

### **2.2 Respuesta del macrófago al LPS**

El LPS requiere de la formación de un complejo con la proteína de unión a LPS (LBP, *LPS binding protein*) para activar a la inmunidad innata. Este complejo es reconocido por el receptor de membrana TLR4 (*Toll-like receptor type 4*) que se encuentra asociado a MD2, el cual es esencial para el reconocimiento de LPS<sup>10</sup>. A continuación del reconocimiento, se produce la oligomerización de TLR4 y la activación de la señalización a través del dominio TIR. Esto recluta a las proteínas adaptadoras MyD88 (*myeloid differentiation factor 88*), MAL (*MyD88 adapter-like protein*), TRIF (también llamado TICAM-1) (*TIR-containing adapter molecule*) y TRAM (*TRIF-related adapter molecule*). El reclutamiento de MyD88 dependiente de MAL orquesta la producción de citocinas proinflamatorias. Esto requiere la transformación de MAL dependiente de caspasa 1<sup>11</sup> e involucra la activación de las vías IκB/NFκB, p38<sup>MAPK</sup> y de JNK (*c-jun N terminal kinase*), miembros de la familia de las MAPK (*mitogen activated protein kinase*).

Por otro lado se produce también una señalización tardía de TLR4 independiente de MyD-88<sup>12</sup>, que requiere la internalización del receptor y el reclutamiento de TRAM, el cuál inicia vías dependientes de TRIF<sup>13</sup> posibilitando que TLR4 desencadene la liberación de interferones tipo I<sup>14</sup>.

Aunque el LPS es el ligando específico del TLR4, se ha descrito que este receptor puede reconocer y mediar la respuesta inflamatoria frente a otras moléculas, como son el componente antitumoral taxol, la proteína HSP60 (*Heat-shock protein 60*) liberada en condiciones de necrosis celular, el EDA (*extra domain A*) producido por la degradación de la fibronectina en lesiones tisulares<sup>15</sup>. Así como no se descarta la existencia de otras moléculas no vinculadas al receptor capaces de reconocer, con baja afinidad, al LPS<sup>16</sup>. Debido a que la desregulación de la señalización LPS/TLR4 tiene el potencial de inducir inflamación causando desde sepsis hasta inflamación crónica, es importante el estudio de esta vía y la evaluación de nuevos blancos terapéuticos.

En un trabajo realizado por Heller et al., se monitorizó la expresión de genes en artritis

reumatoidea con microchips de ADN personalizados de genes humanos seleccionados de acuerdo al criterio de tener algún significado probable en inflamación, así como con los genes expresados en células humanas de sangre periférica. Se compararon los perfiles de expresión génica de células humanas que responden a LPS con aquellos que responden a la activación mitogénica por el acetato de forbol miristato (PMA). Las muestras de ARN que fueron aislados en diversos tiempos después de la exposición a LPS mostraron los incrementos esperados en transcriptos de citocinas, quimiocinas, proteínas de unión de ADN, y metaloproteininas de la matriz. Se observaron perfiles de expresión similares en sinoviocitos y condrocitos de un paciente con artritis reumatoide, lo que confirma la capacidad del sistema para reproducir cambios biológicos que se producen durante la enfermedad inflamatoria.

Las comparaciones entre muestras de tejido de artritis reumatoide y enfermedad inflamatoria intestinal, verificaron la implicancia de muchos genes en ambas patologías y revelaron la participación novel de la citocina IL3 (interleucina 3), quimiocinas Gro-alfa y la metaloproteinasa de matriz en ambas enfermedades. Estos resultados demostraron el éxito del uso del sistema de microchips de ADN como un enfoque general para la disección de las enfermedades humanas<sup>17</sup>.

La respuesta a LPS varía significativamente entre diferentes especies de animales, así como entre diferentes poblaciones humanas, como resultado de variaciones genéticas que afectan la señalización (por ejemplo el microambiente de citocinas). Además la respuesta a LPS varía con la dosis administrada, esto depende tanto de los polimorfismos de su receptor TLR4, como de las moléculas adaptadoras que participan en la señalización. Por esto, en este trabajo se seleccionaron experimentos con dosis del orden de los nanogramos y tiempos de exposición cercanos a 6 hs como representativos del pico de expresión de genes de la respuesta inflamatoria.

### **3. Introducción al análisis de la expresión masiva de genes**

#### **3.1 Análisis masivo de la expresión de genes: Microarreglos de ADN**

Desde la comercialización del primer microarreglo de ADN en 1996 (GeneChip® de Affymetrix), la tecnología de microarreglos ha sido ampliamente utilizada, contribuyendo a generar una gran cantidad de datos biológicos relativos a la expresión de los genes, los cuales en su mayoría se encuentran disponibles en bases de datos específicas. Lo que caracteriza a estos métodos, es la cantidad de mediciones simultáneas que se pueden realizar. Mientras que hasta hace algunas décadas se estudiaban los genes uno a uno en profundidad, a partir del uso de estas nuevas tecnologías se pueden estudiar de cientos a miles de genes a la vez.

Existen diferentes tipos de microarreglos, siendo las más comunes las de ADN (ácido desoxirribonucleico). Éstas son plataformas sólidas que tienen, unidas a su superficie, sondas de ADN que hibridizan con ARN (ácido ribonucleico) extraído de las células en estudio. El principio que subyace en esta técnica es la capacidad de hibridación que tienen dos moléculas de ácidos nucleicos con una estructura primaria complementaria. La hibridación que ha tenido lugar se detecta mediante fluorescencia y se visualiza con la ayuda de un escáner. Los niveles de fluorescencia detectados reflejan la cantidad de moléculas diana presentes en la muestra problema.

Una clasificación esencial en esta técnica es según el número de muestras que se hibridizan simultáneamente. Así, los microarreglos pueden ser de dos colores, basados en la hibridación competitiva de dos muestras de ARN marcadas con un marcador fluorescente distinto, y los de un color, en los que solo se puede hibridizar una muestra por microarreglo.

Entre los microarreglos de ADN más utilizadas se encuentran las de Affymetrix, que corresponden a los de un color. Esta tecnología utiliza como sondas (*probes*) oligonucleótidos de 25 bases que se agrupan en una celda llamada “*probe cell*”. Éstas están organizadas en parejas (*probes pairs*) que combinan un oligonucleótido con una secuencia complementaria a un gen

particular (*perfect match*) y otro que difiere del anterior en una base de posición central (*mismatch*). A su vez cada gen está representado por múltiples sondas que originan lo que se denomina “*probeset*”.

### 3.2 Análisis de los datos de microarreglos de ADN

Tras escanear la imagen de un microarreglo de ADN, se obtienen valores de intensidad de señal de cada sonda, los cuales deben ser transformados para ser tomados como valores de expresión y posteriormente analizados. Para esto se utilizan diferentes técnicas con el objetivo de corregir diferencias sistemáticas entre muestras, dentro de la misma o entre imágenes, que generan interferencia o ruido, que puede ocultar las diferencias biológicas. Para quitar estas interferencias se realiza el denominado preprocesado de los datos, el cual implica la corrección del ruido de fondo (*background*), la normalización para permitir comparar a las muestras entre sí y la summarización de los valores de cada grupo de sondas para obtener un único valor absoluto por cada gen. Se obtiene de esta manera un matriz en la que las columnas representan los individuos en estudio y las filas las sondas analizadas.

El siguiente paso en el análisis es la identificación de los genes diferencialmente expresados, es decir los genes en los que varió la expresión entre las condiciones analizadas, por ejemplo entre una muestra control y una tratada. Si bien existen diferentes técnicas para realizar este procedimiento, una de los más utilizados es el modelo lineal, que en R puede analizarse con el paquete limma<sup>18</sup>. Este método consiste en asumir una relación lineal entre los valores observados de una variable respuesta y las condiciones experimentales.

El resultado final del análisis de expresión diferencial, más allá de la metodología estadística utilizada, es una lista de genes que cambian en forma significativa su expresión ante la condición estudiada.

Los distintos genes y otros componentes celulares como proteínas y ARN, interactúan entre sí para desempeñar una función biológica. Asumiendo que aquellos genes que presentan un

patrón de expresión similar comparten alguna función o elementos regulatorios en común, es posible agruparlos mediante técnicas de clusterización (agrupamiento), que se utilizan para descubrir grupos homogéneos dentro del total de observaciones. Los análisis de clusterización identifican clusters mediante la evaluación de las distancias relativas entre los puntos y se dividen en tres métodos principales: Agrupamiento jerárquico aglomerativo, agrupamiento *k-means* y el agrupamiento basado en modelo<sup>19</sup>.

Posteriormente para asignar una función biológica posible a los diferentes grupos de genes, se utilizan técnicas de enriquecimiento funcional. Esto puede realizarse utilizando una anotación basada en términos de *Gene Ontology* (<http://www.geneontology.org/>) y en KEGG (*Kyoto Encyclopedia of Genes and Genomes*, <http://www.genome.jp/kegg/>).

El proyecto *Gene Ontology* (GO) tiene como objetivo poner a disposición de los investigadores información estandarizada de genes y sus atributos a través de diferentes especies y bases de datos. Para ello se organiza en tres ontologías diferentes: componentes celulares, funciones moleculares y procesos biológicos. Por otro lado KEGG es un grupo de bases de datos categorizadas en información genómica, química y de sistemas.

### 3.3 Redes

Uno de los desafíos actuales de la biología es comprender la dinámica de las complejas interacciones entre los genes dentro de la célula. El desarrollo de tecnologías de alto rendimiento (*high-throughput technologies*), como la de microarreglos y *RNAseq*, ha permitido interrogar simultáneamente cómo responden cientos de genes al mismo tiempo ante un estímulo determinado. Una forma de estudiar esto dada su complejidad es utilizando redes de regulación génica. El uso de redes permite un análisis intuitivo mediante la visualización de los nodos (genes) y su interacción (arcos o *edges*) con otros genes.  Entendimiento de topologías de redes permite formular hipótesis de factores de transcripción involucrados, como así también sugerir candidatos para posibles terapias. Los cambios en las topologías son típicos en las

comparaciones de células normales con células cancerosas, o bien células sanas con infectadas.

Esto permite identificar interacciones anómalas, difíciles de detectar mediante otras metodologías.

Se pueden distinguir dos tipos principales de redes de regulación génica: transcripcionales y post-transcripcionales. Cada una de estas puede subdividirse en redes físicas y funcionales. Las redes físicas contienen interacciones proteína–proteína, proteína–ADN, proteína–ARN, y/o ARN–ARN. Las redes funcionales incorporan las consecuencias de esas interacciones físicas como por ejemplo activación o represión de la expresión de genes. En última instancia las redes regulatorias transcripcionales y posttranscripcionales pueden combinarse para obtener una detallada visión de todos los aspectos de la regulación de expresión diferencial de genes.

Las redes pueden ser analizadas utilizando diferentes parámetros tales como conectividad, largo de la vía (*path*), el coeficiente de clusterización, etc. Las redes de regulación transcripcional contienen un número pequeño de nodos altamente conectados, llamados *hubs* (centros), y muchos nodos menos conectados. Potencialmente pueden contener dos tipos de *hubs*: los de factor de transcripción (FT), es decir proteínas que se unen a varios promotores, y los de promotores que interactúan con varios FTs. Como en otro tipo de redes, estos *hubs* proveen integridad a la red, de manera que cuando estos son removidos las redes se desintegran rápidamente, demostrando ser esenciales para el organismo.

El análisis de cada FT y el contexto de la red en la cual funciona puede ser importante para entender como cada factor contribuye a la expresión génica diferencial. Los motivos de redes, que son los patrones de interacciones con una función particular, pueden también ser usados para derivar hipótesis biológicas específicas, ya sea de para promotores individuales o para los tomados en conjunto.

## **II. Objetivos**

### **Objetivo general:**

El objetivo general del siguiente trabajo consistió en caracterizar y comparar los perfiles de expresión génica de células del sistema fagocítico mononuclear ante la exposición de LPS, debido a que la conservación de las vías de regulación es un indicio de su relevancia, y que los puntos clave en la regulación de varias vías son buenos candidatos como blancos terapéuticos.

### **Objetivos específicos:**

- Caracterizar los perfiles de expresión génica de células del sistema fagocítico macrofágico ante a la exposición a LPS obtenidos de bases de datos públicas y realizar una caracterización funcional de los genes diferencialmente expresados.
- Realizar un análisis de clusterización y enriquecimiento funcional de dichos genes.
- Realizar un análisis de enriquecimiento de sitios de unión a factores de transcripción.
- Estudiar la regulación post-transcripcional de genes seleccionados según su rol biológico mediante predicciones in silicio de asociaciones de microARNs.
- Inferir una red de regulación génica que permita modelar las interacciones encontradas.



### III. Materiales y métodos

#### 1. Datos

Los datos utilizados en este análisis corresponden a tres experimentos de microarreglos de ADN sobre tres tipos celulares (monocitos de la línea THP-1, macrófagos y células dendríticas) expuestos a LPS y sus respectivos controles. Estos datos se encuentran publicados en la base de datos GEO ([www.ncbi.nlm.nih.gov/geo/](http://www.ncbi.nlm.nih.gov/geo/)), de la cual fueron descargados los datos crudos (.CEL) como se resume en la Tabla 1.

GEO ID	Célula	LPS	T	Nº de tratados/controles	Plataforma
GSE40885	Macrófagos Alveolares	4 ng/kg	6 hs	7/7	[HG-U133_Plus_2] Affymetrix Human Genome U133 Plus 2.0 Array
GSE53166	Células Dendríticas	15 ng/ml	5 hs	7/7	[HuGene-1_0-st] Affymetrix Human Gene 1.0 ST Array [transcript (gene) version]
GSE9916	THP-1	1 ug/ml	4 hs	3/3	[HG-U133_Plus_2] Affymetrix Human Genome U133 Plus 2.0 Array

**Tabla 1. Datos de microarreglos utilizados.** Los tres datasets utilizados fueron descargados como datos crudos de la base de datos GEO. La tabla muestra el identificador de GEO, el tipo celular, cantidad y tiempo de exposición a LPS, número de controles y tratados utilizados en cada experimento y la plataforma usada.

#### 2. Preprocesado

El preprocesado fue realizado utilizando el método RMA (*Robust Multi-array Average*)<sup>20</sup> del paquete Affy (<http://CRAN.R-project.org/package=Affy>) disponible en Bioconductor (<http://www.bioconductor.org>) con el programa R versión 3.2.2 (2015-08-14). Este método realiza el ajuste de ruido de fondo basándose solo en los valores *perfect match* y utiliza un modelo estadístico complejo que combina la modelización de la señal mediante una distribución exponencial con la del ruido mediante una distribución normal. Luego toma logaritmos base 2 de cada intensidad ajustada por el ruido de fondo, realiza una normalización por cuantiles de los valores del paso anterior que consiste en sustituir el valor individual por el que tendría la misma posición en la distribución empírica estimada sobre todas las muestras y estima las intensidades de cada gen separadamente para cada conjunto de sondas utilizando una técnica similar a una regresión denominada “*median polish*”.

### **3. Análisis de expresión diferencial**

El análisis de expresión diferencial fue realizado con el paquete LIMMA<sup>18</sup> (<http://CRAN.R-project.org/package=LIMMA>), basado en un test de t moderada  que permite determinar los efectos del LPS en un modelo lineal. Se utilizó el método de Benjamini y Hochberg (B-H) para corregir el error debido al test de pruebas múltiples. Se consideraron diferencialmente expresadas a las sondas con un *p-value* ajustado menor a 0.05 y un valor de logaritmo de *fold change*, medida que describe cuánto cambia la expresión desde un valor inicial a uno final, mayor a 1.

Tras seleccionar las sondas diferencialmente expresadas, los perfiles de expresión de cada *dataset* fueron visualizados utilizando *heatmaps* (mapas de calor). Con ellos se puede observar la medida de la actividad de la expresión génica de miles de genes simultáneamente, creando una imagen global. Para ello se utilizó la función heatmap.2 del paquete gplots (<http://CRAN.R-project.org/package=gplots>).

Para los siguientes análisis se procedió a la summarización de las sondas a genes únicos mediante el comando aggregate() del paquete stats (<http://CRAN.R-project.org/package=stats>).

Se realizó un primer análisis de las listas de genes de los tres grupos mediante un diagrama de Venn utilizando la herramienta *Venn Diagrams* ([www.bioinformatics.lu/venn.php](http://www.bioinformatics.lu/venn.php)) para diferenciar grupos de genes que responden al LPS compartidos por los tres tipos celulares y grupos específicos.

### **4. Análisis de clusterización**

Los genes diferencialmente expresados fueron agrupados para su estudio. La comparación de los transcriptomas hace posible identificar los genes que cambian su expresión de manera similar en todas las interacciones y aquellos genes que modifican su perfil transcripcional en forma específica en cada respuesta. De esta forma es posible clasificar los genes de acuerdo a la respuesta a la que estén vinculados.

Para ello se realizó primero una base unificada (Tabla 2) con los genes diferencialmente expresados de cada uno de los tipos celulares, teniendo en cuenta el logaritmo del *fold change* (logFC) utilizando el comando merge().

Symbol	macrofagos	Monocitos	dendriticos
ABAT	-1.228787	0.000000	0.000000
ABC A6	1.855287	0.000000	0.000000
ABC B5	1.640313	0.000000	0.000000
ABC C5	-1.050604	0.000000	-1.329806
ABC G1	-1.361186	0.000000	0.000000
ABHD5	-1.194870	0.000000	0.000000
ABTB2	2.596823	2.286515	2.520150
ACACB	-1.170271	-1.452205	0.000000
ACER3	-1.033940	0.000000	0.000000
ACSL5	1.719680	0.000000	0.000000
ACSS1	-1.172885	0.000000	0.000000
ADA	2.752943	0.000000	1.809341

**Tabla 2. Tabla unificada de genes diferencialmente expresados.** Se observan los primeros 20 genes de la tabla, en la cual se indica en la primer columna con el identificador del gen y las tres siguientes con el logaritmo del *fold change* de la expresión. En los casos en los que un gen no se encontraba diferencialmente expresado en alguno de los datasets, se completó con valor 0,00.

De los diferentes algoritmos de agrupamiento se decidió utilizar *k-means*, mediante el cual los objetos son particionados en un número fijo (k) de grupos (clústers). Este algoritmo trabaja en forma iterativa hasta ubicar a todos los elementos en alguno de los k clusters de manera de hacer mínima la distancia intra clúster<sup>21</sup>.

Debido a que el número de clústers es arbitrariamente elegido por el usuario en esta técnica, un problema a resolver es determinar el número k a ser utilizado. En este trabajo fue utilizada una forma simple de determinarlo mediante el “criterio del codo”<sup>22</sup>. Para la validación de la consistencia de los clusters, se utilizó el método *Silhouette*, el cual provee una representación gráfica de cohesión (similaridad de un objeto a los demás objetos del cluster) y separación (diferencia de un objeto respecto a los objetos de otros clústers)<sup>23</sup>.

## 5. Análisis de enriquecimiento funcional

Con el propósito de obtener información funcional sobre los genes diferencialmente expresados, se realizaron análisis de enriquecimiento utilizando el recurso bioinformático DAVID (<https://david.ncifcrf.gov/>)<sup>24</sup> que utiliza un algoritmo aglomerativo para condensar una

lista de genes o términos biológicos para organizar grupos de genes relacionados denominados módulos biológicos. Esta organización se lleva a cabo mediante minería de datos en múltiples fuentes de anotación funcional disponible en la suite sobre la co-ocurrencias respecto a los genes utilizados como *input*. De esta manera fueron realizados los análisis de enriquecimiento de cada una de las listas de genes diferencialmente expresados y de cada uno de los clusters.

## 6. Análisis de redes

Se utilizó el software GeneMANIA (<http://www.genemania.org/>) para generar una red de interacciones partiendo de una lista de genes de interés, donde los nodos representan genes y los arcos las interacciones. Esta aplicación permite encontrar otros genes relacionados con la lista de genes que se utiliza como *input*, utilizando diferentes asociaciones que se encuentran en diferentes bases de datos. GeneMANIA utiliza para crear la red el algoritmo *Multiple Association Network Integration*, que presenta dos partes: un algoritmo basado en la regresión lineal que calcula una única red de asociación funcional a partir de múltiples fuentes de datos y un algoritmo de propagación de etiqueta para la predicción de la función de genes dada la red asociación funcional compuesto.

Las redes creadas fueron curadas y visualizadas con la herramienta Cytoscape (<http://www.cytoscape.org/>)<sup>25</sup>.

Por último, fue medido el grado de intermediación (*betweeness centrality*) que es una medida de centralidad, que se calcula como el número de veces que un nodo aparece en el camino geodésico entre dos nodos. Esta medición cuantifica la frecuencia o el número de veces que un nodo actúa como un puente a lo largo del camino más corto entre otros dos nodos y otorga una aproximación al peso como conector (*hub*) del nodo<sup>26</sup>.

## 6. Análisis de enriquecimiento de sitios de unión a factores de transcripción y microRNA

Para realizar el análisis de enriquecimiento en sitios de unión a factores de transcripción se utilizaron los softwares g:Profiler (<http://biit.cs.ut.ee/gprofiler/>)<sup>27</sup>, pScan

(<http://www.beaconlab.it/pScan>)<sup>28</sup> y cScan (<http://www.beaconlab.it/cScan>)<sup>29</sup>.

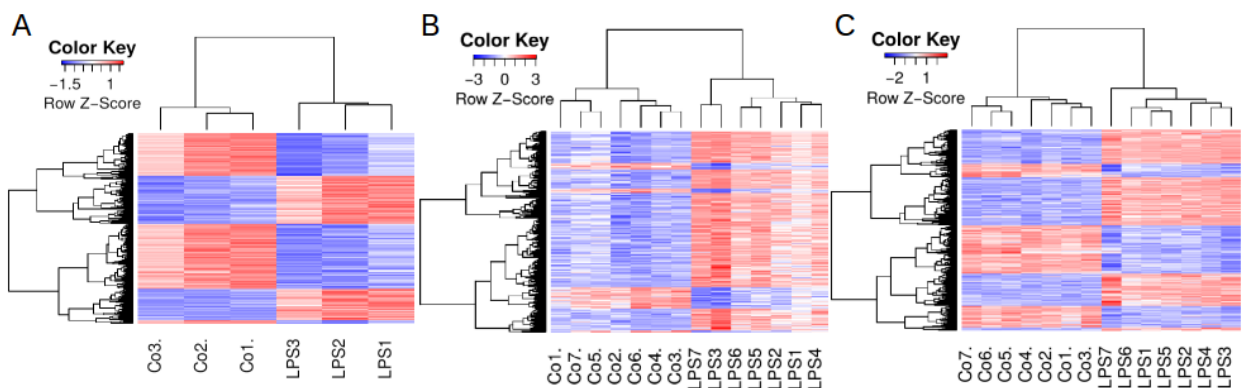
Por otro lado se realizó un análisis de sitios de reconocimiento por miRNAs con el software GenesSet2miRNA (<http://www.bioprofiling.de/GeneSet2MiRNA.html>)<sup>30</sup> para identificar si las listas de genes de cada clúster presentan o no una actividad regulatoria por algún microRNA específico. Los miRNAs o microRNAs, son ARNs no codificantes monocaternarios cortos que tienen la capacidad de regular la expresión de otros genes mediante diferentes mecanismos<sup>31</sup>.

## IV. Resultados

### 1. Análisis de expresión diferencial y perfiles de expresión

Luego del análisis de los datos de microarreglos se detectaron 2395 sondas diferencialmente expresadas en el experimento de células THP-1 (GSE9916) de las cuales 963 se encontraban sobreexpresadas y 1432, inhibidas. Con respecto al microarreglo de macrófagos (GSE40885), de las 1254 sondas diferencialmente expresadas (1041 sobreexpresadas y 213 inhibidas). Por último, las células dendríticas (GSE53166) presentaron 1096 sondas diferencialmente expresadas (641 sobreexpresadas y 455 inhibidas).

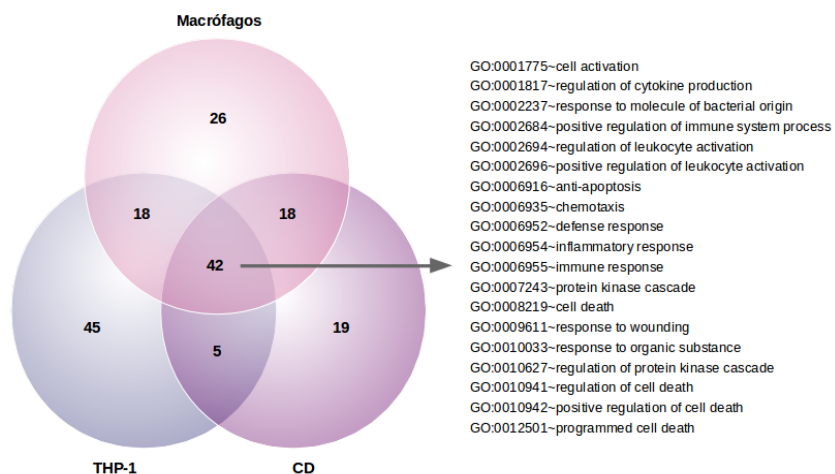
Para estudiar las diferencias de expresión en cada uno de los experimentos se realizó una clusterización jerárquica, que permite una visualización intuitiva y una fácil interpretación de la estructura de los datos mediante *heatmaps*. En la Figura 2 puede observarse que las muestras, ubicadas en la columnas, se agruparon en dos grupos principales: controles y tratados. También pueden distinguirse claramente los patrones de expresión entre ambos grupos. Cada fila representa una sonda y las intersecciones con las columnas indican su expresión en ese individuo; el color varía de rojo, indicando mayor nivel de expresión, a azul, indicando un nivel de expresión bajo.



**Figura 2. Patrones de expresión.** Se observan los mapas de calor de los genes diferencialmente expresados de cada dataset. El color rojo indica un nivel de expresión aumentado, mientras que el azul indica que está disminuido. A. Monocitos THP-1 (GSE9916). B. Macrófagos (GSE40885). C. Células dendríticas (GSE53166).

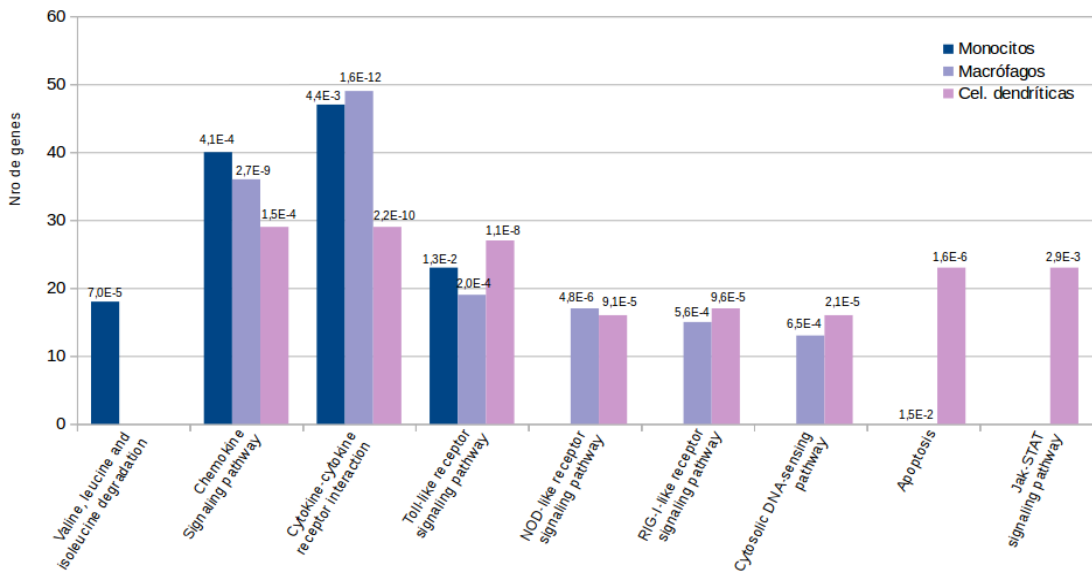
Para caracterizar cada una de las listas de genes diferencialmente expresados, se realizó un análisis de enriquecimiento funcional en vías Kegg y términos GO.

Del total de vías que presentaron un *p-value* ajustado significativo ( $p < 0,05$ ), 42 se encontraron presentes en los tres grupos (Figura 3). También se observó, en los tres grupos, enriquecimiento de términos GO relacionados con la respuesta inmune, activación celular, regulación de la proliferación y de la muerte celular, entre otras (Figura 3).



**Figura 3. Enriquecimiento funcional en términos GO.** Se realizó el enriquecimiento en términos GO de la categoría “Procesos Biológicos”. El diagrama de Venn muestra la superposición de términos. La lista (izquierda) muestra los 20 términos compartidos más significativos.

Respecto al enriquecimiento en vías Kegg, se observó que los macrófagos y las células dendríticas comparten mayor cantidad de vías sobrerepresentadas. Los tres tipos celulares comparten las vías de señalización de quimiocinas, de interacción citocina-citocina y del receptor tipo toll, aunque con distinta significancia (Figura 4).



**Figura 4. Enriquecimiento funcional en vías Kegg.** En el gráfico se observan las vías Kegg más significativas, su *p-value* en cada tipo celular y el número de genes involucrados en cada vía.

Al separar las *sondas* en sobreexpresadas y subexpresadas, se encontró que solo el experimento de THP-1 presentó un enriquecimiento significativo sobre las sub-expresadas: vías KEGG “*Valine, leucine and isoleucine degradation*” y “*Propanoate metabolism*” y del término GO “*oxidation reduction*”. Mientras que los resultados de las sobreexpresadas son congruentes con los resultados de enriquecimiento de la totalidad de las sondas (ver Tabla Suplementaria 1).

Posteriormente se realizó una comparación entre los genes que se expresaron diferencialmente en los tres grupos mediante un diagrama de Venn. Del total, 126 genes se encontraron expresados en los tres grupos (Figura 5).



**Figura 5. Diagrama de Venn.** Los genes diferencialmente expresados fueron agrupados en un diagrama de Venn. Puede observarse que 126 genes se encuentran expresados simultáneamente en los tres tipos celulares. CD: Células dendríticas

Estos 126 genes comunes, resultaron enriquecidos significativamente en la vía Kegg de señalización del receptor tipo toll, tipo nod y tipo rig, en la interacción de citocinas y su receptor, en la de apoptosis y en la vía de señalización de quimiocinas, entre otras. Los tres términos GO más significativos fueron “*immune response*”, “*defense response*” y “*inflammatory response*” (Tabla 3). Los resultados completos se muestran en la Tabla Suplementaria 2.

Term	Count	%	P-Value	Benjamini
Toll-like receptor signaling pathway	13	1,1	5,3E-10	4,4E-8
NOD-like receptor signaling pathway	10	0,8	1,6E-8	6,6E-7
Cytokine-cytokine receptor interaction	16	1,3	7,8E-8	2,2E-6
Apoptosis	9	0,7	3,9E-6	8,0E-5
Chemokine signaling pathway	12	1,0	4,3E-6	7,2E-5
RIG-I-like receptor signaling pathway	8	0,7	1,0E-5	1,4E-4
Cytosolic DNA-sensing pathway	7	0,6	2,6E-5	3,1E-4
Epithelial cell signaling in Helicobacter pylori infection	6	0,5	8,3E-4	8,6E-3

**Tabla 3. Enriquecimiento en vías Kegg de los genes compartidos.** En la tabla se observan las vías más significativas, la cantidad y el porcentaje de genes representados y el *p-value* y *p-value* ajustado (Benjamini-Hochberg).

## 2. Análisis de clusterización

Para el análisis de clusterización se utilizó el algoritmo *k-means*. Previamente se calculó el número de clústers mediante el método de suma de cuadrados dentro de los grupos, determinándose un número de 26. Se obtuvieron de esta manera 26 clústers con una cantidad de genes cada uno que varía desde 298 hasta 6 genes. La estructura de los grupos obtenidos fue evaluada mediante un gráfico *Silhouette*, obteniéndose un *average silhouette widths* (ASW) de 0,57. Dos de estos clústers, el 6 y el 26, presentaron valores de logFC positivos en los tres tipos celulares  simultáneamente, 17 y 48 genes respectivamente (ver Tabla Suplementaria 3).

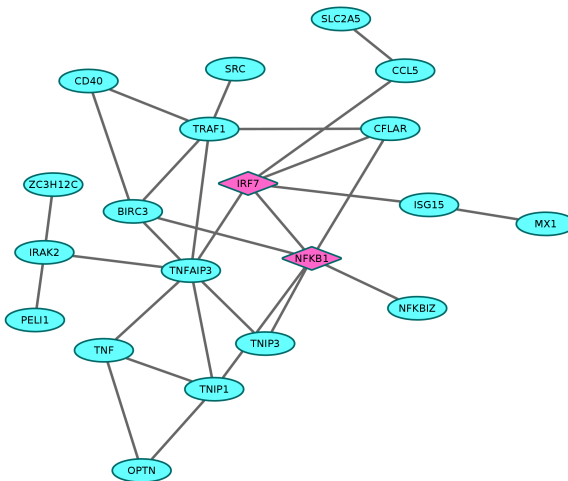
Ambos clústers fueron analizados funcionalmente con la plataforma web David. El 6 resultó enriquecido solo en la vía Kegg de Interacción receptor citocina-citocina, mientras el 26, además de ésta, también presentó valores de *p-value* significativos en las vías de receptores tipo nod, toll y rig, y en la vía de apoptosis. Este clúster también resultó enriquecido en términos GO relacionados a la respuesta inmune y respuesta inflamatoria (Tabla 4).

Category	Term	Count	PValue	Pvalue Benjamini
GOTERM_BP_FAT	GO:0006952~defense response	13	0,000	1,86E-04
GOTERM_BP_FAT	GO:0009615~response to virus	7	0,000	4,16E-04
GOTERM_BP_FAT	GO:0006955~immune response	11	0,000	1,04E-02
GOTERM_BP_FAT	GO:0006954~inflammatory response	8	0,000	1,19E-02
GOTERM_BP_FAT	GO:0034097~response to cytokine stimulus	5	0,000	1,70E-02
GOTERM_BP_FAT	GO:0045071~negative regulation of viral genome replication	3	0,000	1,95E-02
GOTERM_BP_FAT	GO:0009611~response to wounding	9	0,000	2,28E-02
GOTERM_BP_FAT	GO:0048525~negative regulation of viral reproduction	3	0,000	2,04E-02
GOTERM_BP_FAT	GO:0060558~regulation of calcidiol 1-monoxygenase activity	3	0,000	2,04E-02
GOTERM_BP_FAT	GO:0001817~regulation of cytokine production	6	0,000	2,14E-02
Category	Term	Count	PValue	Pvalue Benjamini
GOTERM_MF_FAT	GO:0005125~cytokine activity	6	0,000	1,93E-02
Category	Term	Count	PValue	Pvalue Benjamini
KEGG_PATHWAY	hsa04621:NOD-like receptor signaling pathway	6	0,000	2,88E-04
KEGG_PATHWAY	hsa04620:Toll-like receptor signaling pathway	6	0,000	1,58E-03
KEGG_PATHWAY	hsa04210:Apoptosis	5	0,000	8,59E-03
KEGG_PATHWAY	hsa04622:RIG-I-like receptor signaling pathway	4	0,003	4,55E-02
KEGG_PATHWAY	hsa04060:Cytokine-cytokine receptor interaction	6	0,004	4,89E-02

 **Tabla 4. Análisis de enriquecimiento funcional de los genes del clúster 26.** En la tabla se observan las categorías de GO y KEGG que resultaron enriquecidas en la lista de genes del cluster 26.

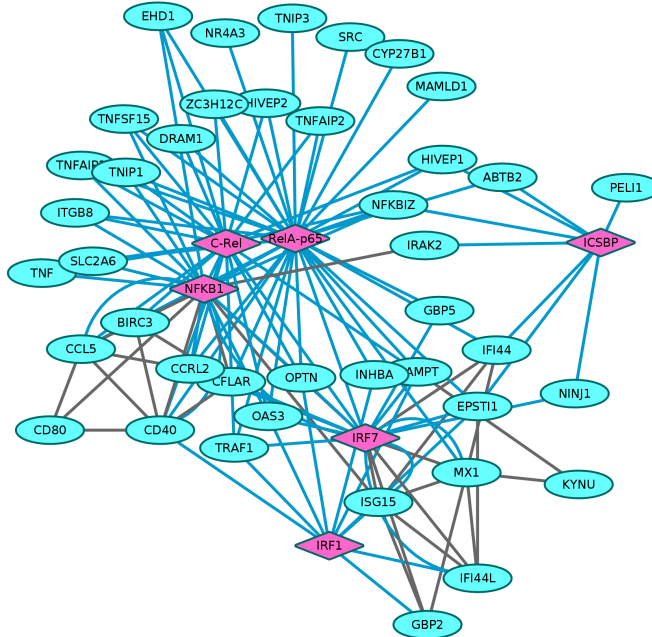
### 3. Análisis de redes y de enriquecimiento a sitios de unión a factores de transcripción y microRNA

Utilizando como entrada los genes pertenecientes al clúster 26, debido a su mayor relevancia biológica, se creó una red de interacción proteína-proteína con el software Genemania (Figura 6). Las proteínas que no reportaron ninguna interacción no fueron incorporadas a la red.



**Figura 6. Red de interacción proteína-proteína.** Los nodos representan los genes del cluster 26 que presentaron interacciones. En violeta se representan los factores de transcripción.

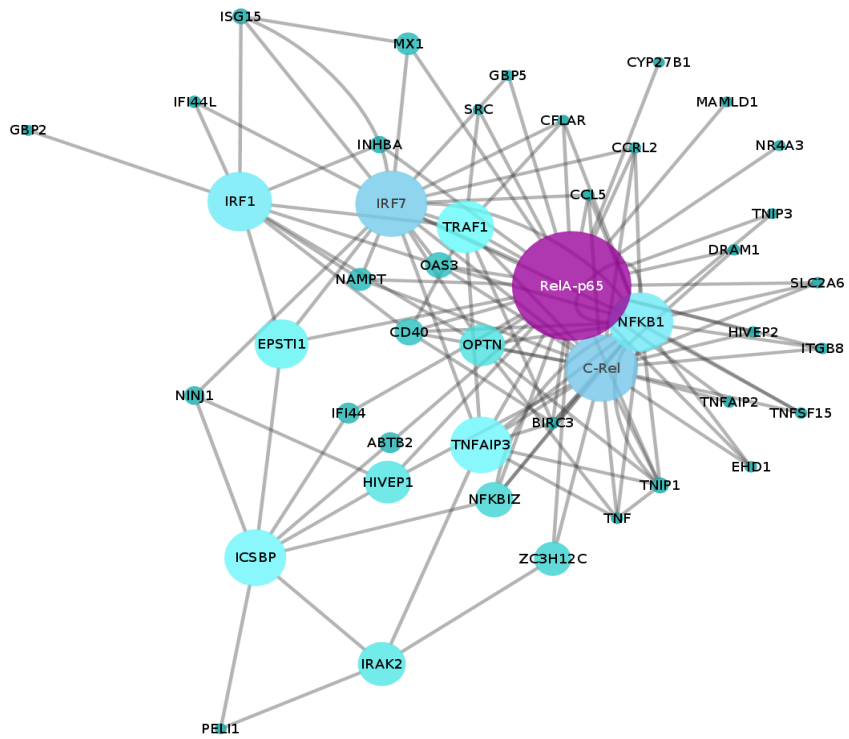
Se realizó, luego, un análisis de enriquecimiento en sitios de unión de factores de transcripción para los 46 genes del cluster 26. Se encontró que estaban enriquecidos en sitios para NFKB1, c-REL, RELA, IRF7, IRF1 e ICSBP (IRF8). Dos de éstos, NFKB1 e IRF7, ya se encontraban en el cluster 26. Se curó la red agregando los FT que no estaban en el cluster originalmente y se repitió el análisis de redes agregando sus interacciones con los genes del cluster (Figura 7).



**Figura 7. Red de interacción de proteínas y factores de transcripción.** Los nodos representan los genes/proteínas presentes en el clúster 26. Se añadieron los factores de transcripción que resultaron del estudio de enriquecimiento en sitios de unión. En violeta se representan los factores de transcripción. Los edges color rosa representan la interacción entre un gen/proteína y un factor de transcripción.

Sobre esta red se realizó un análisis de centralidad para evaluar la conectividad de la red.

De las diferentes medidas de conectividad, se seleccionó el grado de intermediación (*betweenness centrality*) que mide el número de caminos más cortos entre todos los nodos. Este análisis se realizó con la función *Network Analyzer* de *Cytoscape*. Los nodos con alto grado de intermediación son considerados *hubs* debido a su importancia en la red (Figura 8). 



**Figura 8. Análisis de centralidad.** Visualización generada a partir del análisis de intermediación. Los nodos de mayor tamaño presentan mayor grado de intermediación.

Por último se realizó un análisis de enriquecimiento en sitios blanco para microRNA para los genes del cluster 26 con el software GeneSet2MiRNA. Este programa utiliza como entrada una lista de genes y retorna una lista de modelos regulatorios, esto es, un grupo de miRNAs que se predice que regula a un subgrupo significativo de los genes de la lista cargada. En este caso se observó que 10 de los 26 genes (CD80, ITGB8, OAS2, TRAF1, NR4A3, PEL1, MAMLD1, NAMPT, NFKBIZ y EPSTI1) podrían estar regulados por HSA-MIR-607 (Tabla 5).

#	MicroRNA model <sup>help</sup>	$I^2_A$	$I^2_B$	odds ratio <sup>help</sup>	p-value	Genes
1	((HSA-MIR-607.4 not HSA-MIR-582-5P.4) not HSA-MIR-520G.4) not HSA-MIR-766.4)	10 (48)	638 (15440)	5.04	0.02	CD80 ITGB8 OAS2 TRAF1 NR4A3 MAMLD1 NAMPT PELI1 NFKBIZ EPST1
2	((HSA-MIR-607.4 not HSA-MIR-520G.4) not HSA-MIR-582-5P.4) not HSA-MIR-766.4)	10 (48)	638 (15440)	5.04	0.02	CD80 ITGB8 OAS2 TRAF1 NR4A3 MAMLD1 NAMPT PELI1 NFKBIZ EPST1
3	((HSA-MIR-607.4 not HSA-MIR-520H.4) not HSA-MIR-582-5P.4) not HSA-MIR-421.4)	10 (48)	635 (15440)	5.07	0.02	CD80 ITGB8 OAS2 TRAF1 NR4A3 MAMLD1 NAMPT PELI1 NFKBIZ EPST1
4	((HSA-MIR-155.4 not HSA-MIR-548A-3P.4) not HSA-MIR-522.4) not HSA-MIR-512-3P.4)	6 (48)	226 (15440)	8.54	0.3	HIVEP2 MYO10 NR4A3 NAMPT EHD1 PELI1
5	((HSA-MIR-155.4 not HSA-MIR-561.4) not HSA-MIR-548A-3P.4) not HSA-MIR-522.4)	6 (48)	226 (15440)	8.54	0.3	HIVEP2 MYO10 NR4A3 NAMPT EHD1 PELI1
6	((HSA-MIR-155.4 not HSA-MIR-561.4) not HSA-MIR-522.4) not HSA-MIR-548A-3P.4)	6 (48)	226 (15440)	8.54	0.3	HIVEP2 MYO10 NR4A3 NAMPT EHD1 PELI1
7	((HSA-MIR-655.4 and HSA-MIR-578.4) not HSA-MIR-520G.4) not HSA-MIR-421.4)	5 (48)	110 (15440)	14.62	0.44	ITGB8 MYO10 NR4A3 OPTN PELI1

**Tabla 5. Análisis de enriquecimiento en sitios blanco para microRNAs.** La tabla muestra los modelos evaluados en la primer columna, de ellos, HSA-MIR-607.4 fue el único con un *p-value* significativo. En la última columna se observan los genes con los que podría interaccionar cada *microRNA*.

## V. Discusión

En el análisis de enriquecimiento funcional de cada una de las listas de genes diferencialmente expresados, observamos que los tres tipos celulares comparten sobrerepresentación de términos GO relacionados con la respuesta inmune, la proliferación y la muerte celular. Respecto al enriquecimiento en vías Kegg, observamos vías compartidas por los tres tipos celulares (vías de señalización de quimiocinas, de interacción receptor de citocina-citocina y del receptor tipo toll), aunque encontramos mayor similitud entre macrófagos y células dendríticas. Esto puede deberse a la utilización de macrófagos alveolares que se encuentran fenotípicamente relacionados a las células dendríticas<sup>32</sup>.

Para comprender mejor las funciones que comparten estos tres tipos celulares, se realizó un diagrama de Venn con los genes que se expresaron diferencialmente cada uno. Los 126 genes compartidos resultaron enriquecidos en las vías de señalización de los receptores tipo toll, nod y rig, y de citocinas, además de las de señalización de quimiocinas y apoptosis, coincidiendo con las vías sobrerepresentadas en el análisis individual.

El análisis de clusterización, con el que se agruparon los genes según sus patrones de expresión, permitió identificar dos clústers en los que los genes se encontraban sobreregulados en los tres tipos celulares. De ellos, el clúster 26 arrojó resultados de enriquecimiento similares a los de la totalidad de genes diferencialmente expresados compartidos por los tres tipos celulares, por lo que puede considerarse representativo del total de genes expresados de forma diferencial. Partiendo del principio de que los genes que se encuentran coexpresados pueden estar corregulados, se realizó un análisis de enriquecimiento de sitios de unión a factores de transcripción, que arrojó como resultado que la mayoría de estos genes presentaba sitios de unión a FT de la familia NFκB (NFKB1, c-REL y RELA) y de la familia IRF (IRF7, IRF1 e ICSBP (IRF8)). El análisis de centralidad permitió observar que RELA se comporta como *hub* en la red.

Dos de estos factores de transcripción se encontraron coexpresados en el clúster 26: IRF7

y NFKB1. Los factores de transcripción IRFs (*Interferon regulatory factors*), son una familia de proteínas compuesta por nueve miembros en mamíferos. Mientras que NFKB1 pertenece a la familia de factores de transcripción NfkB compuesta por cinco miembros: NFκB1 y NFκB2 (de clase I), sintetizados como precursores que tras madurar dan lugar a las subunidades p50 y p52 respectivamente, y los de clase II denominados RelA, RelB y c-Rel. Estas dos familias de factores de transcripción comparten características evolutivas: ambas se activan a través de vías de señalización de receptores de reconocimiento de patrones (PRRs) y por la misma familia de kininas IkB (IKKs). Además de eso representan los principales actores de la respuesta inmune innata cooperando en la regulación de varias citocinas como interferón  $\beta$  (IFN $\beta$ )<sup>33</sup>.

El FT IRF7 se encuentra constitutivamente expresado en varios tipos celulares, como células dendríticas, y en otras células puede ser inducido por LPS y TNF $\alpha$ <sup>34</sup>. Este FT es activado mediante su fosforilación (vía de señalización PRR) y junto a IRF3 y NFκB (activados por la misma vía) inducen la producción de pequeñas cantidades de interferones tipo I al unirse a los elementos de respuesta a virus en los promotores de IFN $\alpha$  e IFN $\beta$ . El promotor de IRF7 contiene al menos 4 sitios de unión de NFκB y está demostrado de que este FT es suficiente para inducir su expresión<sup>35</sup>.

Por otro lado, NFκB es relevante en la regulación de la respuesta celular ya que pertenece a la categoría de los factores de transcripción primarios de “acción rápida”, que están presentes en las células en un estado de inactivación y que no requieren una nueva síntesis de proteínas para ser activados. Esto le permite a NFκB ser la primera respuesta ante estímulos celulares nocivos. Sin embargo ante el estímulo de LPS, también observamos la activación de la transcripción de este gen en los tres tipos celulares estudiados. La actividad de NFκB es atribuida a la formación de homo o heterodímeros de Rel/ NFκB. Estas proteínas se encuentran en el citosol como complejos inactivos junto a sus inhibidores IkBs. La regulación defectuosa de esta familia

de FT está relacionada con el desarrollo de cáncer, enfermedades inflamatorias y autoinmunes, shock séptico, infecciones virales o un desarrollo inmune inadecuado. También está implicado en procesos de plasticidad sináptica y de memoria. Por lo que el modelo resulta extremadamente útil para su estudio. Debido a que NF $\kappa$ B controla varios genes involucrados en la inflamación, no es de extrañar que se encuentre activado crónicamente en enfermedades inflamatorias, tales como la enfermedad inflamatoria intestinal, la artritis, sepsis, gastritis, asma y arterosclerosis entre otros<sup>36</sup>.

Se ha demostrado que muchos productos naturales, incluidos los anti-oxidantes que tienen actividad anticancerígena y antiinflamatoria, también son capaces de inhibir NF $\kappa$ B. Un trabajo reciente de Karin<sup>37</sup>, Ben-Neriah<sup>38</sup> y otros han remarcado la importancia de la conexión entre el NF $\kappa$ B, la inflamación y el cáncer, dando una mayor importancia a las terapias inhibitorias de NF $\kappa$ B.

Los inductores de la actividad de NF $\kappa$ B son altamente variables, y pueden ser especies reactivas de oxígeno (ROS), factor de necrosis tumoral alfa (TNF $\alpha$ ), interleucina 1-beta (IL-1 $\beta$ ), LPS, isoproterenol, cocaína e incluso radiaciones iónicas. En este caso, en los tres tipos celulares se observa, además del aumento de la transcripción de NFKB1, la expresión de citocinas proinflamatorias asociadas a este factor de transcripción como TNF $\alpha$  (con efectos proinflamatorios), CCL5 o RANTES (con efecto quimiotáctico) y las moléculas CD40 y CD80 (con efectos de estimulación sobre células T)<sup>39</sup>.

### **Expresión de CYP27B1 y producción de Vitamina D**

De manera interesante observamos que se encuentra sobreexpresado en esteclúster el gen CYP27B1, que codifica para la enzima 1- $\alpha$ -hidroxilasa, que cataliza la producción de 1,25 hidroxi-vitamina D (calcitriol) a partir de su forma inactiva. Esta hormona es conocida por sus acciones sobre el metabolismo fosfocálcico, sin embargo presenta una variedad de acciones denominadas “no clásicas”, relacionadas a la regulación de la respuesta inflamatoria, la

participación en la respuesta a microorganismos (vía antimicrobiana), la regulación del ciclo celular y la maduración de ciertos tipos celulares, entre otras, aunque el mecanismo subyacente de su acción aún no está totalmente dilucidado en todos los casos. Distintos estímulos, como por ejemplo el LPS y el Interferón  $\gamma$ , inducen la expresión de CYP27B1, resultando en el aumento de la conversión de calcitriol, el cual activa el receptor de vitamina D (VDR)<sup>40</sup>. La regulación transcripcional de este gen presenta diferencias importantes según el tipo celular involucrado. Una de las diferencias más notables es que su propio producto, el calcitrol, la regula mediante un mecanismo de retroalimentación negativa en las células renales, las que constituyen la principal fuente calcitriol. Sin embargo, otros tipos celulares como en las células del sistema inmune, el calcitriol no ejerce ninguna regulación. La expresión de CYP27B1 en estos tipos celulares, está regulada principalmente por moléculas como citocinas o factores de crecimiento que actúan mediante un mecanismo autocrino/paracrino.

La inducción de la vía antimicrobiana de la vitamina D, se produce tanto mediante TLR2/1 como por IFN $\gamma$ , pero ambas convergen en la inducción de IL-15, que se observa sobreexpresada en los tres tipos celulares. Esta citocina también puede ser inducida por CD40L en la superficie de células dendríticas<sup>41</sup>. En los tres tipos celulares observados se observa un aumento de la expresión del receptor de IL15<sup>42</sup>. Esto sugiere que en los tres tipos celulares podría estar activándose la vía antimicrobiana a partir de TLR4, aunque se debería contar con análisis a tiempos de exposición mayores para comprobarlo.

### **Rol antinflamatorio del calcitriol**

Una de las acciones no clásicas más interesantes del calcitriol, debido a su implicancia en diferentes enfermedades, es su rol como agente antiinflamatorio. En el caso particular de los genes del cluster 26, el calcitriol afecta la expresión de 27 de los 48 genes. La información sobre la acción del calcitriol sobre los distintos genes fue obtenida mediante la consulta a la base de datos CTD ([www.ctdbase.org](http://www.ctdbase.org)). Varios de esos cambios se asocian a efectos antiinflamatorios

(Ver Tabla Suplementaria 4). Un ejemplo de esto es Ninjurin1. Esta proteína fue identificada en células de Schwann, en las que presentaba una sobreexpresión luego de una lesión sobre el nervio<sup>43</sup>. Sin embargo, recientemente se demostró que, en macrófagos, modula la respuesta inflamatoria dependiente de TLR4<sup>44</sup>. Ninjurin1 actuaría uniéndose directamente a LPS<sup>45</sup>. Esta proteína está implicada en varias enfermedades incluyendo carcinogénesis y resulta un blanco terapéutico interesante en enfermedades inflamatorias. El calcitriol aumenta la expresión de NINJ1<sup>46</sup> por lo que podría influenciar la respuesta antiinflamatoria de la vitamina D.

Otro de los genes de este clúster que puede modular el calcitriol es la citocina proinflamatoria TNF $\alpha$  que es inhibida por la vitamina D<sup>47</sup>. Este compuesto a su vez estimula la expresión de tres moléculas inhibidoras de TNF que también se encuentran en el clúster 26: TNFAIP2, TNFAIP3 y TNFSF15<sup>48,49</sup>.

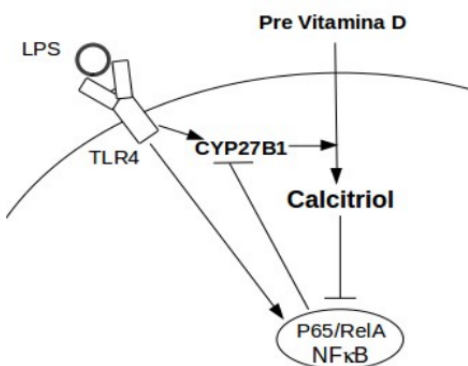
La interacción del ligando de CD40 (CD40L) con CD40, es un potente inductor citocinas proinflamatorias; debido a que esta respuesta es inhibida por calcitriol, la generación de 1,25D en el sitio de la infección podría proveer un mecanismo de retroalimentación negativa que podría prevenir la inflamación excesiva<sup>50</sup>. El hecho de que la activación de CD40 sea uno de los desencadenantes de la activación de la vía antimicrobiana de la vitamina D, sugiere que esta vía tiene alguna conexión con la respuesta antimicrobiana descripta en detalle luego de la activación de TLR2/1. Por otro lado, se sabe también que CD40 regula la expresión de IFN $\beta$  en células tumorales a través de la vía de NF $\kappa$ B.

### **Calcitriol y NF $\kappa$ B**

Un FT clave en la expresión de CYP27B1 es NF $\kappa$ B; si bien se sabe que éste regula positivamente y de forma directa la expresión de varios citocromos, incluyendo la CYP27B1, Ebert et al. (2004) demostraron que NF $\kappa$ B regula negativamente la transcripción de la enzima en células renales<sup>51-53</sup>. Sin embargo, Overberg et al. (2006) postulan una activación de la CYP27B1 relacionado con el aumento de NF $\kappa$ B en macrófagos por un mecanismo independiente de la

unión a sitios del promotor (Figura 9).

A su vez el calcitriol, producto de esta enzima, atenúa la acción de NF $\kappa$ B en diferentes tipos celulares a través de una variedad de mecanismos. Uno de ellos es actuando sobre las proteínas responsables de su traslocación al núcleo, como la importina  $\alpha$ 3<sup>54</sup>. Por otro lado, la vitamina D regula la expresión de las proteínas I $\kappa$ B<sup>53,55</sup>, como I $\kappa$ B $\alpha$ <sup>56</sup> disminuyendo su expresión, e IKK $\beta$  mediante su interacción con VDR<sup>57</sup> (Figura 9).



**Figura 9. Modelo de regulación por retroalimentación de NF $\kappa$ B por calcitriol.** En el gráfico se indica un posible mecanismo de retroalimentación por el cuál NF $\kappa$ B disminuye debido a la producción de calcitriol. Las flechas indican inducción y las líneas, inhibición.

Uno de los genes sobreexpresados en el cluster 26 es TRAF1 (*TNF receptor-associated factor 1*), que pertenece a la familia de receptores de TNF, y mediante su interacción con TRAF2 activa las vías MAPK8/JNK y NF $\kappa$ B<sup>58</sup>. El calcitriol disminuye su expresión<sup>59</sup>.

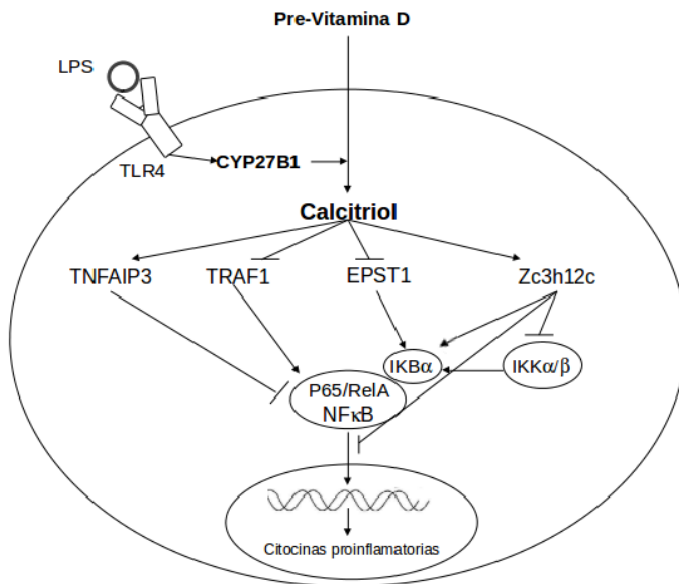
También fue detectado en este cluster el gen TNFAIP3 que codifica para la proteína *Tumor necrosis factor, alpha-induced protein 3*; se ha demostrado que inhibe la activación de NF $\kappa$ B<sup>60,61</sup> así como la apoptosis mediada por TNF<sup>60</sup>. El calcitriol aumenta su expresión<sup>62</sup>.

Otro de los genes capaz de regular NF $\kappa$ B es EPSTI1 (*epithelial stromal interaction 1*), el cual está involucrado en el desarrollo de metástasis en el cáncer de mama a través de la activación de I $\kappa$ B $\alpha$  con la consecuente activación de NF $\kappa$ B, que a su vez promueve la transcripción de varios genes relacionados a la producción de metástasis<sup>63</sup>. En un estudio reciente se demostró que el calcitriol disminuye la expresión de EPSTI1<sup>59</sup>.

Por último, la proteína MCPIP3, que pertenece a la familia *CCCH-zinc finger protein* es codificada por el gen Zc3h12c (*Zinc Finger CCCH-Type Containing 12C*) y también se observa sobreregulado en los tres tipos celulares. Todos los miembros de esta familia de proteínas contienen un dominio dedos de zinc y un dominio ARNasa<sup>64</sup>. La sobreexpresión de Zc3h12c atenúa la respuesta a TNF $\alpha$  y disminuye la inducción de IKK $\alpha/\beta$  (*IkB (inhibitor of nuclear factor  $\kappa B$ ) kinase  $\alpha/\beta$* ), la fosforilación de I $\kappa$ B $\alpha$  y la traslocación al núcleo de p65 en células endoteliales<sup>65</sup>, si bien este rol aún no ha sido estudiado en macrófagos, un miembro de la misma familia, ZC3H12A, ejerce un rol similar en este tipo celular<sup>64</sup>. El calcitriol aumenta su expresión<sup>66</sup>, pudiendo ser éste un mecanismo esencial para su efecto antiinflamatorio.

Los mecanismos detallados en los párrafos anteriores se resumen en la Figura 10.

Los genes TRAF1 y EPSTI1, descriptos anteriormente, y NFKBIZ perteneciente a la vía de NF $\kappa$ B aparecen como blancos del *microRNA* HSA-MIR-607, sin embargo no existe información de cómo actúa esta molécula por lo que no es posible hacer inferencias sobre su función en esta vía.



**Figura 10. Modelo de regulación de NF $\kappa$ B por calcitriol.** En el gráfico se indican posibles mecanismos que contribuyen al efecto antiinflamatorio de la vitamina D a través de la vía de NF $\kappa$ B. Las flechas indican inducción y las líneas, inhibición.

## **VI. Conclusión**

En este trabajo se utilizó información disponible en bases de datos públicas para analizar células de la rama celular de la inmunidad innata, compuesta por fagocitos mononucleares y células dendríticas, expuestas a lipopolisacárido (LPS), macromolécula glicolipídica presente en la pared de bacterias Gram negativas. Este modelo permite hacer inferencias sobre diferentes tipos de enfermedades en las que la inflamación juega un rol fundamental.

Mediante técnicas de clusterización se logró identificar un grupo de genes sobreexpresados en los tres tipos celulares, que contiene algunos que pueden modular la inflamación a través de la inhibición de la vía de NF $\kappa$ B y que a su vez pueden ser estimulados por calcitriol. Esto permitió inferir un modelo de red de regulación génica de la vía antiinflamatoria del calcitriol descripta parcialmente y para diferentes tipos celulares.

Podemos postular también, en base a los datos referidos anteriormente, un loop de feedback negativo sobre la activación de LPS mediada por NF $\kappa$ B de calcitriol. Se puede pensar que el efecto preponderante de la vitamina D sería antiinflamatorio ante bajos niveles de LPS, y el efecto calcitrópico ante cargas mayores de LPS. Logicamente esperamos corroborar experimentalmente.

Por último, estos resultados abren la posibilidad de analizar moléculas como Zc3h12c, EPST1, TNFAIP3 y TRAF1, que puedan actuar como blancos terapéuticos para un gran espectro de enfermedades en las que la inflamación juega un rol importante en la fisiopatogenia.

## VII. Bibliografía

1. Bottazzi, B., Doni, A., Garlanda, C. & Mantovani, A. An Integrated View of Humoral Innate Immunity: Pentraxins as a Paradigm. *Annu. Rev. Immunol.* **28**, (2010).
2. Guilliams, M. *et al.* Dendritic cells, monocytes and macrophages: a unified nomenclature based on ontogeny. *Nat. Rev. Immunol.* **14**, 571–578 (2014).
3. Hettinger, J. *et al.* Origin of monocytes and macrophages in a committed progenitor. *Nat. Immunol.* **14**, 821–30 (2013).
4. Yona, S. *et al.* Fate mapping reveals origins and dynamics of monocytes and tissue macrophages under homeostasis. *Immunity* **38**, 79–91 (2013).
5. Ingersoll, M. *et al.* Comparison of gene expression profiles between human and mouse monocyte subsets. *Blood* **115**, 10–20 (2010).
6. Medzhitov, R. Recognition of microorganisms and activation of the immune response. *Nature* **449**, 819–26 (2007).
7. Janeway, C. A. & Medzhitov, R. Innate immune recognition. *Annu. Rev. Immunol.* **20**, 197–216 (2002).
8. Britain, G. & Keynes, M. The effects of bacterial endotoxins on host mediation systems. *Am. J. Pathol.* **93**, (1978).
9. Whitfield, C. R. H. R. and C. Lipopolysaccharide Endotoxins. *Annu Rev Biochem* **71**, 1–57 (2002).
10. Nagai, Y. *et al.* Essential role of MD-2 in LPS responsiveness and TLR4 distribution. *Nat. Immunol.* **3**, 667–72 (2002).
11. Miggan, S. M. *et al.* NF-kappaB activation by the Toll-IL-1 receptor domain protein MyD88 adapter-like is regulated by caspase-1. *Proc. Natl. Acad. Sci. U. S. A.* **104**, 3372–7 (2007).
12. Kawai, T., Adachi, O., Ogawa, T., Takeda, K. & Akira, S. Unresponsiveness of MyD88-deficient mice to endotoxin. *Immunity* **11**, 115–22 (1999).
13. Yamamoto, M. *et al.* Cutting edge: a novel Toll/IL-1 receptor domain-containing adapter that preferentially activates the IFN-beta promoter in the Toll-like receptor signaling. *J. Immunol.* **169**, 6668–6672 (2002).
14. Jonathan C Kagan, Tian Su, Tiffany Horng, Amy Chow, Shizuo Akira, and R. & Medzhitov. TRAM couples endocytosis of Toll-like receptor 4 to the induction of interferon- $\beta$ . *Nat Immunol* **18**, 361–368 (2008).
15. Ozinsky, D. M. U. and A. Toll-like receptors: key mediators of microbe detection. *Curr. Opin. Immunol.* **14**, 103–110 (2002).
16. Kielian, T. L. & Blecha, F. CD14 and other recognition molecules for lipopolysaccharide: a review. *Immunopharmacol.* **29** **29**, 187–205 (1995).
17. Renu A. Heller, Mark Schena, Andrew Chai, Dari Shalon, Tod Bedilion, James Gilmore, David E. Woolley, A. R. W. D. Discovery and analysis of inflammatory disease-related genes using cDNA microarrays. *Proc. Natl. Acad. Sci. USA* **94**, 2150–2155 (1997).
18. Ritchie, M. E. *et al.* Limma powers differential expression analyses for RNA-sequencing and microarray studies. *Nucleic Acids Res.* **43**, e47 (2015).
19. Gentleman, R., Hornik, K. & Parmigiani, G. *Use R!*
20. Irizarry, R. A. *et al.* Exploration, normalization, and summaries of high density oligonucleotide array probe level data. *Biostatistics* **4**, 249–264 (2003).

21. Wong, J. A. H. and M. A. A K-Means Clustering Algorithm. *J. R. Stat. Soc. Ser. C (Applied Stat.)* **28**, 100–108 (2012).
22. Kodinariya, Trupti M., P. R. M. Review on determining number of Cluster in K-Means Clustering. *Int. J. Adv. Res. Comput. Sci. Manag. Stud.* **1**, 90–95 (2013).
23. Rousseeuw, P. J. Silhouettes: a graphical aid to the interpretation and validation of cluster analysis. *J. Comput. Appl. Math.* **20**, 53–65 (1987).
24. Sherman, B. T. & Lempicki, R. A. Bioinformatics enrichment tools: paths toward the comprehensive functional analysis of large gene lists. *Nucleic Acids Res.* **37**, 1–13 (2009).
25. Shannon, P. *et al.* Cytoscape: A Software Environment for Integrated Models of Biomolecular Interaction Networks. *Cold Spring Harb. Lab. Press* 2498–2504 (2003). doi:10.1101/gr.1239303.metabolite
26. Barthélémy, M. Betweenness centrality in large complex networks. *Eur. Phys. J. B* **168**, 163–168 (2004).
27. Reimand, J. *et al.* g:Profiler—a web server for functional interpretation of gene lists (2016 update) \*. *Nucleic Acids Res.* **1**, 1–7 (2016).
28. Zambelli, F., Pesole, G. & Pavesi, G. Pscan: finding over-represented transcription factor binding site motifs in sequences from co-regulated or co-expressed genes. *Nucleic Acids Res.* **37**, 247–252 (2009).
29. Zambelli, F., Pazzoli, G. M., Pesole, G. & Pavesi, G. Cscan: finding common regulators of a set of genes by using a collection of genome-wide ChIP-seq datasets. *40*, 510–515 (2012).
30. Antonov, A. V. BioProfiling.de: analytical web portal for high-throughput cell biology. *Nucleic Acids Res.* **39**, 323–327 (2011).
31. Pillai, R. S. MicroRNA function: Multiple mechanisms for a tiny RNA? *RNA Biol.* **11**, 1753–1761 (2005).
32. Rajshri N. Shah, Ozer Ozden, Anjana Yeldandi, Loann Peterson, S. R. A. W. B. L. Follicular dendritic cell tumor presenting in the lung: a case report. *Hum. Patol.* **32**, 745–749 (1986).
33. Jiri Nehyba, Radmila Hrdlickova, and H. R. B. Dynamic Evolution of Immune System Regulators: The History of the Interferon Regulatory Factor Family. *Mol. Biol. Evol.* **26**, 2539–2550 (2009).
34. Wei-Chun Au, Paul A. Moore, David W. LaFleur, Bertrand Tombal, and P. M. P. Characterization of the Interferon Regulatory Factor-7 and Its Potential Role in the Transcription Activation of Interferon A Genes\*. *J. Biol. Chem.* **273**, 29210–29217 (1998).
35. Runqing Lu, Paul A. Moore, and P. M. P. Stimulation of IRF-7 Gene Expression by Tumor Necrosis Factor a. *J. Biol. Chem.* **277**, 16592–16598 (2002).
36. Devendra K Agrawal, K. Y. Vitamin D and inflammatory diseases. *J. Inflamm. Res.* **7**, 69–87 (2014).
37. Karin, M. NF- κ B as a Critical Link Between Inflammation and Cancer. *Cold Spring Harb Perspect Biol* **1**, 1–14 (2009).
38. Ben-Neriah, Y. & Karin, M. Inflammation meets cancer, with NF- κ B as the matchmaker. *Nat. Immunol.* **12**, 715–723 (2011).
39. Aderem, A. & Ulevitch, R. J. Toll-like receptors in the induction of the innate immune response. *Nature* **406**, 782–787 (2000).
40. Fabri M, Stenger S, Shin DM, Yuk JM, Liu PT, Realegeno S, Lee HM, Krutzik SR, Schenk M, Sieling PA, Teles R, Montoya D, Iyer SS, Bruns H, Lewinsohn DM, Hollis BW, Hewison M, Adams JS, Steinmeyer A, Zügel U, Cheng G, Jo EK, Bloom BR, M. R. Vitamin D Is Required for IFN-γ–Mediated Antimicrobial Activity of Human Macrophages. *Sci Transl Med* **3**, (2012).

41. Kuniyoshi, J. S. *et al.* Dendritic Cell Secretion of IL-15 Is Induced by Recombinant huCD40LT and Augments the Stimulation of Antigen-Specific Cytolytic T Cells 1. *Cell. Immunol.* **193**, 48–58 (1999).
42. Stephan R. Krutzik, Martin Hewison, Philip T. Liu, Juan Antonio Robles, Steffen Stenger, John S. Adams, and R. L. M. IL-15 Links TLR2/1-Induced Macrophage Differentiation to the Vitamin D-Dependent Antimicrobial Pathway. *J Immunol.* **181**, 7115–7120 (2008).
43. Araki, T., Milbrandt, J. & Analysis, N. S. Ninjurin, a Novel Adhesion Molecule, Is Induced by Nerve Injury and Promotes Axonal Growth. *Neuron* **17**, 353–361 (1996).
44. Jennewein, C. *et al.* Ninjurin1 promotes TLR4 signaling and contributes to systemic inflammation. *Am. J. Respir. Cell Mol. Biol.* **53**, 656–663 (2015).
45. Shin, M. W. *et al.* Ninjurin1 regulates lipopolysaccharide-induced inflammation through direct binding. *Int. J. Oncol.* **484**, 821–828 (2016).
46. Song, J. H. *et al.* Comparison of the gene expression profiles of monocytic versus granulocytic lineages of HL-60 leukemia cell differentiation by DNA microarray analysis. *Life Sci.* **73**, 1705–1719 (2003).
47. Barrera, D., Avila, E., Halhali, A. & Larrea, F. Calcitriol inhibits TNF- $\alpha$ -induced inflammatory cytokines in human trophoblasts. *J. Reprod. Immunol.* **81**, 17–24 (2009).
48. Ishii, Y., Kasukabe, T. & Honma, Y. Immediate up-regulation of the calcium-binding protein S100P and its involvement in the cytokinin-induced differentiation of human myeloid leukemia cells. *Biochim. Biophys. Acta* **1745**, 156–165 (2005).
49. Wei-Lin W Wang, Namita Chatterjee, Sridar V Chittur, JoEllen Welsh, and M. P. T. Effects of 1 $\alpha$ ,25-dihydroxyvitamin D3 and testosterone on miRNA and mRNA expression in LNCaP cells. *Mol. Cancer* **10**, 1–15 (2011).
50. Almerighi, C. *et al.* 1 $\alpha$ ,25-Dihydroxyvitamin D3 inhibits CD40L-induced pro-inflammatory and immunomodulatory activity in Human Monocytes. *Cytokine* **45**, 190–197 (2009).
51. XIAO-PENG Yu, TERESITA BELLIDO, S. C. M. Down-regulation of NF- $\kappa$ B protein levels in activated human lymphocytes by 1,25-dihydroxyvitamin D3. *Proc. Natl. Acad. Sci. USA* **92**, 10990–10994 (1995).
52. Harant, H., Wolff, B. & Lindley, I. J. D. 1 $\alpha$ ,25-Dihydroxyvitamin D3 decreases DNA binding of nuclear factor- $\kappa$ B in human fibroblasts. *FEBS* **436**, 1–6 (1998).
53. Stio, M. *et al.* The Vitamin D analogue TX 527 blocks NF- $\kappa$ B activation in peripheral blood mononuclear cells of patients with Crohn's disease. *J. Steroid Biochem. & Molecular Biol.* **103**, 51–60 (2007).
54. Tanupriya Agrawal, Gaurav K. Gupta, and D. K. A. Calcitriol Decreases Expression of Importin  $\alpha$ 3 and Attenuates RelA Translocation in Human Bronchial Smooth Muscle Cells. *J Clin Immunol* **32**, 1093–1103 (2012).
55. Merav Cohen-Lahav, Shraga Shany, David Tobvin, Cidio Chaimovitz, A. D. Vitamin D decreases NF- $\kappa$ B activity by increasing I $\kappa$ B $\alpha$  levels. *Nephrol Dial Transpl.* **21**, 889–897 (2006).
56. Jette L. Riis, Claus Johansen, Borbala Gesser Kristine Møller, Christian G. Larsen, K. K. L. I. 1 $\alpha$ ,25(OH) $_2$ D $_3$  regulates NF- $\kappa$ B DNA binding activity in cultured normal human keratinocytes through an increase in I $\kappa$ B $\alpha$  expression. *Arch Dermatol Res* **296**, 195–202 (2004).
57. Chen, Y. *et al.* Vitamin D Receptor Inhibits Nuclear Factor  $\kappa$ B Activation by Interacting with I $\kappa$ B Kinase b Protein. *J. Biol. Chem.* **288**, 19450–19458 (2013).
58. Sacey Baker, P. R. Modulation of life and death by the TNF receptor superfamily. *Oncogene* **17**, 3261–3270 (1998).

59. Sheng, L. *et al.* Identification of vitamin D3 target genes in human breast cancer tissue. *J. Steroid Biochem. Mol. Biol.* (2015). doi:10.1016/j.jsbmb.2015.10.012
60. Anthony W. Oripipari, Jr., Hong Ming Hu, Rachel Yabkowitz, V. M. D. The A20 Zinc Finger Protein Protects Cells from Tumor Necrosis Factor Cytotoxicity. *J. Biol. Chem.* **267**, 12424–12427 (1992).
61. Cooper, J. T., Stroka, D. M., Brostjan, C., Palmethofer, A. & Bach, F. H. A20 Blocks Endothelial Cell Activation through a NF- kB-dependent Mechanism. *J. Biol. Chem.* **271**, 18068–18073 (1996).
62. Zhang, A., Zhang, M., Wang, Y., Xie, H. & Zheng, S. Calcitriol Prolongs Recipient Survival by Inducing Expression of Zinc-Finger Protein A20 and Inhibiting its Downstream Gene Following Rat Orthotopic Liver Transplantation. *Immunopharmacol. Immunotoxicol.* **28**, 591–600 (2006).
63. Li, T. *et al.* Identification of epithelial stromal interaction 1 as a novel effector downstream of Krüppel-like factor 8 in breast cancer invasion and metastasis. *Oncogene* **33**, 4746–4755 (2014).
64. Liang, J. *et al.* A Novel CCCH-Zinc Finger Protein Family Regulates Proinflammatory Activation of Macrophages \*. *J. Biol. Chem.* **283**, 6337–6346 (2008).
65. Ling Liu, Zhou Zhou, Shengping Huang‡, Yanhong Guo, Yanbo Fan, Ji Zhang, Jifeng Zhang, Mingui Fu, and Y. E. C. Zc3h12c inhibits vascular inflammation by repressing NF-κB activation and pro-inflammatory gene expression in endothelial cells. *Biochem J* **451**, 55–60 (2013).
66. Wang, T. *et al.* Large-Scale in Silico and Microarray-Based Identification of Direct 1,25-Dihydroxyvitamin D3 Target Genes. *Mol. Endocrinol.* 19(11)2685–2695 **19**, 2685–2695 (2015).

## **VIII. Tablas Suplementarias**

Tabla Suplementaria 1

Enriquecimiento en vías KEGG y términos GO (Biological process)

Monocitos

Category	Term	Count	%	PValue
KEGG_PATHWAY	hsa00280:Valine, leucine and isoleucine degradation	18	1,2	3,873678890714E-007
KEGG_PATHWAY	hsa04062:Chemokine signaling pathway	40	2,6	4,541673405736E-006
KEGG_PATHWAY	hsa04060:Cytokine-cytokine receptor interaction	47	3,0	7,295941610332E-005
KEGG_PATHWAY	hsa04620:Toll-like receptor signaling pathway	23	1,5	0,0002971847
Category	Term	Count	%	PValue
GOTERM_BP_FAT	GO:0009611~response to wounding	86	5,5	2,643472013334E-009
GOTERM_BP_FAT	GO:0006955~immune response	101	6,5	2,446814254830E-008
GOTERM_BP_FAT	GO:0001775~cell activation	53	3,4	7,081842397763E-008
GOTERM_BP_FAT	GO:0051094~positive regulation of developmental process	50	3,2	0,000000401
GOTERM_BP_FAT	GO:0045321~leukocyte activation	45	2,9	6,486526061140E-007
GOTERM_BP_FAT	GO:0006954~inflammatory response	54	3,5	1,653245724759E-006
GOTERM_BP_FAT	GO:0016477~cell migration	48	3,1	1,888095673356E-006
GOTERM_BP_FAT	GO:0045597~positive regulation of cell differentiation	42	2,7	2,332824014031E-006
GOTERM_BP_FAT	GO:0051098~regulation of binding	32	2,1	2,887410319575E-006
GOTERM_BP_FAT	GO:0045637~regulation of myeloid cell differentiation	20	1,3	2,906563232765E-006
GOTERM_BP_FAT	GO:0006952~defense response	85	5,5	0,000003948
GOTERM_BP_FAT	GO:0051101~regulation of DNA binding	27	1,7	5,882179697938E-006
GOTERM_BP_FAT	GO:0046649~lymphocyte activation	37	2,4	7,468907571136E-006
GOTERM_BP_FAT	GO:0048870~cell motility	50	3,2	7,494934921720E-006
GOTERM_BP_FAT	GO:0051674~localization of cell	50	3,2	7,494934921720E-006
GOTERM_BP_FAT	GO:0051174~regulation of phosphorus metabolic process	70	4,5	7,597805865500E-006
GOTERM_BP_FAT	GO:0019220~regulation of phosphate metabolic process	70	4,5	7,597805865500E-006
GOTERM_BP_FAT	GO:0006935~chemotaxis	32	2,1	7,606345755883E-006
GOTERM_BP_FAT	GO:0042330~taxis	32	2,1	7,606345755883E-006
GOTERM_BP_FAT	GO:0055114~oxidation reduction	86	5,5	9,797914990933E-006
GOTERM_BP_FAT	GO:0042127~regulation of cell proliferation	101	6,5	0,00001178
GOTERM_BP_FAT	GO:0030097~hemopoiesis	41	2,6	1,217232554966E-005
GOTERM_BP_FAT	GO:0006979~response to oxidative stress	32	2,1	1,279915493004E-005
GOTERM_BP_FAT	GO:0008284~positive regulation of cell proliferation	61	3,9	1,665823231621E-005
GOTERM_BP_FAT	GO:0002761~regulation of myeloid leukocyte differentiation	14	0,9	1,725151133160E-005
GOTERM_BP_FAT	GO:0050865~regulation of cell activation	33	2,1	1,886780716401E-005
GOTERM_BP_FAT	GO:0002237~response to molecule of bacterial origin	21	1,4	2,034745088535E-005
GOTERM_BP_FAT	GO:0048534~hemopoietic or lymphoid organ development	43	2,8	2,470425512919E-005
GOTERM_BP_FAT	GO:0042325~regulation of phosphorylation	66	4,2	2,551373958148E-005
GOTERM_BP_FAT	GO:0043067~regulation of programmed cell death	102	6,6	2,605647268826E-005
GOTERM_BP_FAT	GO:0010941~regulation of cell death	102	6,6	3,013577501509E-005
GOTERM_BP_FAT	GO:0002684~positive regulation of immune system process	40	2,6	0,000034333
GOTERM_BP_FAT	GO:0007242~intracellular signaling cascade	145	9,3	3,650271784676E-005
GOTERM_BP_FAT	GO:0050867~positive regulation of cell activation	24	1,5	3,692460791107E-005
GOTERM_BP_FAT	GO:0010033~response to organic substance	92	5,9	3,819729184056E-005
GOTERM_BP_FAT	GO:0051251~positive regulation of lymphocyte activation	22	1,4	4,025676088031E-005
GOTERM_BP_FAT	GO:0002694~regulation of leukocyte activation	31	2,0	4,281642243002E-005
GOTERM_BP_FAT	GO:0045639~positive regulation of myeloid cell differentiation	12	0,8	4,551144414706E-005
GOTERM_BP_FAT	GO:0002285~lymphocyte activation during immune response	9	0,6	4,727510959703E-005
GOTERM_BP_FAT	GO:0032496~response to lipopolysaccharide	19	1,2	4,844835777869E-005
GOTERM_BP_FAT	GO:0002696~positive regulation of leukocyte activation	23	1,5	5,272209292856E-005
GOTERM_BP_FAT	GO:0042981~regulation of apoptosis	99	6,4	7,584719816111E-005
GOTERM_BP_FAT	GO:0006928~cell motion	65	4,2	8,523509225316E-005
GOTERM_BP_FAT	GO:0051249~regulation of lymphocyte activation	28	1,8	0,000086021
GOTERM_BP_FAT	GO:0006916~anti-apoptosis	35	2,3	9,242754858852E-005

## Tabla Suplementaria 1

GOTERM_BP_FAT	GO:0002520~immune system development	43	2,8	0,0001013976
GOTERM_BP_FAT	GO:0051090~regulation of transcription factor activity	22	1,4	0,0001014184
GOTERM_BP_FAT	GO:0002263~cell activation during immune response	12	0,8	0,0001118666
GOTERM_BP_FAT	GO:0002366~leukocyte activation during immune response	12	0,8	0,0001118666
GOTERM_BP_FAT	GO:0007243~protein kinase cascade	53	3,4	0,0001342061
GOTERM_BP_FAT	GO:0030155~regulation of cell adhesion	26	1,7	0,0001543721
GOTERM_BP_FAT	GO:0009081~branched chain family amino acid metabolic process	8	0,5	0,0001623728
GOTERM_BP_FAT	GO:0043388~positive regulation of DNA binding	17	1,1	0,0001665504
GOTERM_BP_FAT	GO:0045429~positive regulation of nitric oxide biosynthetic process	9	0,6	0,0001751523
GOTERM_BP_FAT	GO:0051099~positive regulation of binding	18	1,2	0,0001954979
GOTERM_BP_FAT	GO:0034097~response to cytokine stimulus	18	1,2	0,0002300443
GOTERM_BP_FAT	GO:0008219~cell death	88	5,7	0,0002430404
GOTERM_BP_FAT	GO:0042110~T cell activation	24	1,5	0,0002774634
GOTERM_BP_FAT	GO:0051270~regulation of cell motion	32	2,1	0,0003043537
GOTERM_BP_FAT	GO:0016265~death	88	5,7	0,0003074935
GOTERM_BP_FAT	GO:0009110~vitamin biosynthetic process	10	0,6	0,0003076197
GOTERM_BP_FAT	GO:0051091~positive regulation of transcription factor activity	15	1,0	0,0003342639
GOTERM_BP_FAT	GO:0002286~T cell activation during immune response	7	0,5	0,0003441035
GOTERM_BP_FAT	GO:0009725~response to hormone stimulus	51	3,3	0,000379154
GOTERM_BP_FAT	GO:0002763~positive regulation of myeloid leukocyte differentiation	8	0,5	0,0003891502
GOTERM_BP_FAT	GO:0051092~positive regulation of NF-kappaB transcription factor activity	12	0,8	0,0003991039
GOTERM_BP_FAT	GO:0010627~regulation of protein kinase cascade	38	2,4	0,0004124011
GOTERM_BP_FAT	GO:0010035~response to inorganic substance	33	2,1	0,0004136965
GOTERM_BP_FAT	GO:0051272~positive regulation of cell motion	20	1,3	0,000419712
GOTERM_BP_FAT	GO:0043069~negative regulation of programmed cell death	50	3,2	0,0004247023
GOTERM_BP_FAT	GO:0060548~negative regulation of cell death	50	3,2	0,0004426052
GOTERM_BP_FAT	GO:0050671~positive regulation of lymphocyte proliferation	14	0,9	0,0004728411
GOTERM_BP_FAT	GO:0002521~leukocyte differentiation	24	1,5	0,0004953787
GOTERM_BP_FAT	GO:0001932~regulation of protein amino acid phosphorylation	29	1,9	0,0005146923
GOTERM_BP_FAT	GO:0007610~behavior	61	3,9	0,0005647481
GOTERM_BP_FAT	GO:0070665~positive regulation of leukocyte proliferation	14	0,9	0,0005694475
GOTERM_BP_FAT	GO:0042542~response to hydrogen peroxide	14	0,9	0,0005694475
GOTERM_BP_FAT	GO:0032946~positive regulation of mononuclear cell proliferation	14	0,9	0,0005694475
GOTERM_BP_FAT	GO:0040012~regulation of locomotion	31	2,0	0,0006076173
GOTERM_BP_FAT	GO:0043549~regulation of kinase activity	49	3,2	0,0006593992
GOTERM_BP_FAT	GO:0009719~response to endogenous stimulus	54	3,5	0,0006816168
GOTERM_BP_FAT	GO:0050900~leukocyte migration	14	0,9	0,0006822067
GOTERM_BP_FAT	GO:0032768~regulation of monooxygenase activity	9	0,6	0,000688429
GOTERM_BP_FAT	GO:0030334~regulation of cell migration	28	1,8	0,0007882677
GOTERM_BP_FAT	GO:0051186~cofactor metabolic process	31	2,0	0,0007887132
GOTERM_BP_FAT	GO:0030098~lymphocyte differentiation	20	1,3	0,0007986576
GOTERM_BP_FAT	GO:0050864~regulation of B cell activation	13	0,8	0,000807987
GOTERM_BP_FAT	GO:0051338~regulation of transferase activity	50	3,2	0,0009255473
GOTERM_BP_FAT	GO:0043065~positive regulation of apoptosis	56	3,6	0,0009408301
GOTERM_BP_FAT	GO:0044271~nitrogen compound biosynthetic process	45	2,9	0,0009448778
GOTERM_BP_FAT	GO:0043066~negative regulation of apoptosis	48	3,1	0,0009840147
GOTERM_BP_FAT	GO:0030335~positive regulation of cell migration	18	1,2	0,0009860349
GOTERM_BP_FAT	GO:0042035~regulation of cytokine biosynthetic process	16	1,0	0,0010206535
GOTERM_BP_FAT	GO:0001817~regulation of cytokine production	29	1,9	0,0010645446
GOTERM_BP_FAT	GO:0012501~programmed cell death	74	4,8	0,0010806335
GOTERM_BP_FAT	GO:0043068~positive regulation of programmed cell death	56	3,6	0,0011057116
GOTERM_BP_FAT	GO:0051240~positive regulation of multicellular organismal process	36	2,3	0,0011107876
GOTERM_BP_FAT	GO:0040017~positive regulation of locomotion	19	1,2	0,0011422594

## Tabla Suplementaria 1

GOTERM_BP_FAT	GO:0000302~response to reactive oxygen species	16	1,0	0,0011792681
GOTERM_BP_FAT	GO:0010647~positive regulation of cell communication	45	2,9	0,0012133055
GOTERM_BP_FAT	GO:0009083~branched chain family amino acid catabolic process	6	0,4	0,0012137978
GOTERM_BP_FAT	GO:0045428~regulation of nitric oxide biosynthetic process	9	0,6	0,0012158297
GOTERM_BP_FAT	GO:0010942~positive regulation of cell death	56	3,6	0,0012308073
GOTERM_BP_FAT	GO:0050670~regulation of lymphocyte proliferation	17	1,1	0,0012405412
GOTERM_BP_FAT	GO:0043122~regulation of I-kappaB kinase/NF-kappaB cascade	20	1,3	0,0012852765
GOTERM_BP_FAT	GO:0007172~signal complex assembly	7	0,5	0,0012902877
GOTERM_BP_FAT	GO:0008283~cell proliferation	56	3,6	0,0013165259
GOTERM_BP_FAT	GO:0006769~nicotinamide metabolic process	11	0,7	0,0013217499
GOTERM_BP_FAT	GO:0051341~regulation of oxidoreductase activity	11	0,7	0,0013217499
GOTERM_BP_FAT	GO:0046496~nicotinamide nucleotide metabolic process	11	0,7	0,0013217499

### Probes sobre-expresadas

Category	Term	Count %		
		Count	%	PValue
KEGG_PATHWAY	hsa04060 Cytokine-cytokine receptor interaction	Cytokine-cyt	39,0	6,6666666667
KEGG_PATHWAY	hsa04620 Toll-like receptor signaling pathway	Toll-like rece	20,0	3,4188034188
KEGG_PATHWAY	hsa04062 Chemokine signaling pathway	Chemokine s	22,0	3,7606837607
KEGG_PATHWAY	hsa04621 NOD-like receptor signaling pathway	NOD-like rec	12,0	2,0512820513
Category	Term	Count	%	PValue
GOTERM_BP_FAT	GO:0009611~response to wounding	59	10,1	5,458813075137E-016
GOTERM_BP_FAT	GO:0006955~immune response	65	11,1	4,573552716396E-014
GOTERM_BP_FAT	GO:0006954~inflammatory response	41	7,0	6,161258539314E-013
GOTERM_BP_FAT	GO:0006952~defense response	57	9,7	4,443135042217E-012
GOTERM_BP_FAT	GO:0051094~positive regulation of developmental process	33	5,6	7,768337364060E-010
GOTERM_BP_FAT	GO:0045597~positive regulation of cell differentiation	29	5,0	2,366731524769E-009
GOTERM_BP_FAT	GO:0043067~regulation of programmed cell death	61	10,4	3,366631312848E-009
GOTERM_BP_FAT	GO:0050865~regulation of cell activation	25	4,3	3,393490467777E-009
GOTERM_BP_FAT	GO:0010941~regulation of cell death	61	10,4	3,847830913687E-009
GOTERM_BP_FAT	GO:0042981~regulation of apoptosis	60	10,3	0,000000006
GOTERM_BP_FAT	GO:0050867~positive regulation of cell activation	19	3,2	2,274675822897E-008
GOTERM_BP_FAT	GO:0002694~regulation of leukocyte activation	23	3,9	2,909335514242E-008
GOTERM_BP_FAT	GO:0045637~regulation of myeloid cell differentiation	15	2,6	5,521427422839E-008
GOTERM_BP_FAT	GO:0002696~positive regulation of leukocyte activation	18	3,1	6,632289274980E-008
GOTERM_BP_FAT	GO:0043066~negative regulation of apoptosis	34	5,8	8,205968371920E-008
GOTERM_BP_FAT	GO:0006916~anti-apoptosis	25	4,3	8,539927577793E-008
GOTERM_BP_FAT	GO:0051249~regulation of lymphocyte activation	21	3,6	8,977597650106E-008
GOTERM_BP_FAT	GO:0051251~positive regulation of lymphocyte activation	17	2,9	0,000000108
GOTERM_BP_FAT	GO:0042127~regulation of cell proliferation	56	9,6	1,081719392496E-007
GOTERM_BP_FAT	GO:0043069~negative regulation of programmed cell death	34	5,8	1,141831765631E-007
GOTERM_BP_FAT	GO:0060548~negative regulation of cell death	34	5,8	1,221084411617E-007
GOTERM_BP_FAT	GO:0031328~positive regulation of cellular biosynthetic process	50	8,5	2,866380103874E-007
GOTERM_BP_FAT	GO:0006935~chemotaxis	21	3,6	3,286351151033E-007
GOTERM_BP_FAT	GO:0042330~taxis	21	3,6	3,286351151033E-007
GOTERM_BP_FAT	GO:0009891~positive regulation of biosynthetic process	50	8,5	4,392581419477E-007
GOTERM_BP_FAT	GO:0002761~regulation of myeloid leukocyte differentiation	11	1,9	6,401490639480E-007
GOTERM_BP_FAT	GO:0008284~positive regulation of cell proliferation	35	6,0	0,000001041
GOTERM_BP_FAT	GO:0001775~cell activation	28	4,8	1,063626798490E-006
GOTERM_BP_FAT	GO:0002684~positive regulation of immune system process	25	4,3	1,244636003223E-006
GOTERM_BP_FAT	GO:0010033~response to organic substance	50	8,5	0,000001279
GOTERM_BP_FAT	GO:0050671~positive regulation of lymphocyte proliferation	12	2,1	1,491323552298E-006
GOTERM_BP_FAT	GO:0016477~cell migration	27	4,6	1,646181004781E-006
GOTERM_BP_FAT	GO:0051173~positive regulation of nitrogen compound metabolic process	46	7,9	1,726497313875E-006

## Tabla Suplementaria 1

GOTERM_BP_FAT	GO:0070665~positive regulation of leukocyte proliferation	12	2,1	1,801273069693E-006
GOTERM_BP_FAT	GO:0032946~positive regulation of mononuclear cell proliferation	12	2,1	1,801273069693E-006
GOTERM_BP_FAT	GO:0007243~protein kinase cascade	32	5,5	2,075197503772E-006
GOTERM_BP_FAT	GO:0045429~positive regulation of nitric oxide biosynthetic process	8	1,4	3,239412053438E-006
GOTERM_BP_FAT	GO:0007242~intracellular signaling cascade	72	12,3	4,704606128306E-006
GOTERM_BP_FAT	GO:0010647~positive regulation of cell communication	29	5,0	4,819835208214E-006
GOTERM_BP_FAT	GO:0012501~programmed cell death	43	7,4	5,854804377244E-006
GOTERM_BP_FAT	GO:0051240~positive regulation of multicellular organismal process	24	4,1	6,504580811614E-006
GOTERM_BP_FAT	GO:0050870~positive regulation of T cell activation	13	2,2	6,809143667538E-006
GOTERM_BP_FAT	GO:0050863~regulation of T cell activation	16	2,7	7,146112871415E-006
GOTERM_BP_FAT	GO:0032496~response to lipopolysaccharide	13	2,2	7,828187240310E-006
<b>Probes sub-expresadas</b>				
<b>Category</b>	<b>Term</b>	<b>Count</b>	<b>%</b>	<b>PValue</b>
KEGG_PATHWAY	hsa00280:Valine, leucine and isoleucine degradation	17	1,8	0,000000001
KEGG_PATHWAY	hsa00640:Propanoate metabolism	10	1,0	0,000056463
<b>Category</b>	<b>Term</b>	<b>Count</b>	<b>%</b>	<b>PValue</b>
GOTERM_BP_FAT	GO:0055114~oxidation reduction	64	6,6	2,204346627877E-007
<b>Macrófagos</b>				
<b>Category</b>	<b>Term</b>	<b>Count</b>	<b>%</b>	<b>PValue</b>
KEGG_PATHWAY	hsa04060:Cytokine-cytokine receptor interaction	49	6,6	1,092631596445E-014
KEGG_PATHWAY	hsa04062:Chemokine signaling pathway	36	4,8	3,511069948720E-011
KEGG_PATHWAY	hsa04621:NOD-like receptor signaling pathway	17	2,3	9,459195450242E-008
KEGG_PATHWAY	hsa04620:Toll-like receptor signaling pathway	19	2,6	5,414594104111E-006
KEGG_PATHWAY	hsa04622:RIG-I-like receptor signaling pathway	15	2,0	1,868813202982E-005
KEGG_PATHWAY	hsa04623:Cytosolic DNA-sensing pathway	13	1,7	2,569923083723E-005
KEGG_PATHWAY	hsa04210:Apoptosis	14	1,9	0,0006818151
<b>Category</b>	<b>Term</b>	<b>Count</b>	<b>%</b>	<b>PValue</b>
GOTERM_BP_FAT	GO:0006955~immune response	112	15,0	2,951658978391E-036
GOTERM_BP_FAT	GO:0006952~defense response	94	12,6	3,914388205845E-028
GOTERM_BP_FAT	GO:0006954~inflammatory response	63	8,5	2,710638456686E-024
GOTERM_BP_FAT	GO:0009611~response to wounding	79	10,6	7,474369226241E-023
GOTERM_BP_FAT	GO:0042330~taxis	36	4,8	5,277121553226E-016
GOTERM_BP_FAT	GO:0006935~chemotaxis	36	4,8	5,277121553226E-016
GOTERM_BP_FAT	GO:0009615~response to virus	29	3,9	5,618283843235E-015
GOTERM_BP_FAT	GO:0042127~regulation of cell proliferation	80	10,7	3,344894802224E-013
GOTERM_BP_FAT	GO:0008284~positive regulation of cell proliferation	50	6,7	5,420200713143E-011
GOTERM_BP_FAT	GO:0007626~locomotory behavior	39	5,2	8,800682148251E-011
GOTERM_BP_FAT	GO:0001775~cell activation	40	5,4	9,194176683258E-011
GOTERM_BP_FAT	GO:0051240~positive regulation of multicellular organismal process	35	4,7	7,864060484493E-010
GOTERM_BP_FAT	GO:0007610~behavior	51	6,8	1,384445763401E-009
GOTERM_BP_FAT	GO:0042981~regulation of apoptosis	72	9,7	0,000000002
GOTERM_BP_FAT	GO:0002237~response to molecule of bacterial origin	20	2,7	2,205040420476E-009
GOTERM_BP_FAT	GO:0045321~leukocyte activation	34	4,6	2,446156285125E-009
GOTERM_BP_FAT	GO:0043067~regulation of programmed cell death	72	9,7	0,000000003
GOTERM_BP_FAT	GO:0010941~regulation of cell death	72	9,7	3,559634964434E-009
GOTERM_BP_FAT	GO:0045429~positive regulation of nitric oxide biosynthetic process	11	1,5	3,845957962963E-009
GOTERM_BP_FAT	GO:0010033~response to organic substance	66	8,9	4,616649911428E-009
GOTERM_BP_FAT	GO:0032496~response to lipopolysaccharide	18	2,4	1,567841088464E-008
GOTERM_BP_FAT	GO:0048584~positive regulation of response to stimulus	32	4,3	1,834428332771E-008
GOTERM_BP_FAT	GO:0001819~positive regulation of cytokine production	19	2,6	3,082201315950E-008
GOTERM_BP_FAT	GO:0001817~regulation of cytokine production	27	3,6	4,214531742641E-008
GOTERM_BP_FAT	GO:0050671~positive regulation of lymphocyte proliferation	15	2,0	4,274241360994E-008

## Tabla Suplementaria 1

GOTERM_BP_FAT	GO:0050670~regulation of lymphocyte proliferation	18	2,4	5,144588293189E-008
GOTERM_BP_FAT	GO:0070665~positive regulation of leukocyte proliferation	15	2,0	5,480902534988E-008
GOTERM_BP_FAT	GO:0032946~positive regulation of mononuclear cell proliferation	15	2,0	5,480902534988E-008
GOTERM_BP_FAT	GO:0032944~regulation of mononuclear cell proliferation	18	2,4	0,000000062
GOTERM_BP_FAT	GO:0070663~regulation of leukocyte proliferation	18	2,4	0,000000062
GOTERM_BP_FAT	GO:0008285~negative regulation of cell proliferation	40	5,4	0,000000067
GOTERM_BP_FAT	GO:0045428~regulation of nitric oxide biosynthetic process	11	1,5	7,309598307604E-008
GOTERM_BP_FAT	GO:0002684~positive regulation of immune system process	31	4,2	8,006827289353E-008
GOTERM_BP_FAT	GO:0050865~regulation of cell activation	26	3,5	8,571954817703E-008
GOTERM_BP_FAT	GO:0007243~protein kinase cascade	40	5,4	1,292260883485E-007
GOTERM_BP_FAT	GO:0034097~response to cytokine stimulus	17	2,3	0,00000015
GOTERM_BP_FAT	GO:0010647~positive regulation of cell communication	37	5,0	0,000000159
GOTERM_BP_FAT	GO:0046649~lymphocyte activation	27	3,6	2,904050912135E-007
GOTERM_BP_FAT	GO:0002694~regulation of leukocyte activation	24	3,2	4,923465872560E-007
GOTERM_BP_FAT	GO:0033273~response to vitamin	15	2,0	0,000000495
GOTERM_BP_FAT	GO:0009617~response to bacterium	26	3,5	0,000000579
GOTERM_BP_FAT	GO:0051270~regulation of cell motion	26	3,5	0,000000579
GOTERM_BP_FAT	GO:0051272~positive regulation of cell motion	18	2,4	6,403846842849E-007
GOTERM_BP_FAT	GO:0050867~positive regulation of cell activation	19	2,6	8,474256847674E-007
GOTERM_BP_FAT	GO:0009967~positive regulation of signal transduction	33	4,4	9,428087449674E-007
GOTERM_BP_FAT	GO:0051249~regulation of lymphocyte activation	22	3,0	1,037754138372E-006
GOTERM_BP_FAT	GO:0042110~T cell activation	20	2,7	1,326800687524E-006
GOTERM_BP_FAT	GO:0006915~apoptosis	52	7,0	0,000001551
GOTERM_BP_FAT	GO:0031349~positive regulation of defense response	15	2,0	1,800070571077E-006
GOTERM_BP_FAT	GO:0040012~regulation of locomotion	25	3,4	1,856660484279E-006
GOTERM_BP_FAT	GO:0006916~anti-apoptosis	26	3,5	1,965112075699E-006
GOTERM_BP_FAT	GO:0002696~positive regulation of leukocyte activation	18	2,4	0,000001998
GOTERM_BP_FAT	GO:0043065~positive regulation of apoptosis	41	5,5	2,304679022255E-006
GOTERM_BP_FAT	GO:0012501~programmed cell death	52	7,0	2,417575098303E-006
GOTERM_BP_FAT	GO:0030334~regulation of cell migration	23	3,1	2,527410267109E-006
GOTERM_BP_FAT	GO:0051251~positive regulation of lymphocyte activation	17	2,3	2,726128675277E-006
GOTERM_BP_FAT	GO:0043068~positive regulation of programmed cell death	41	5,5	2,737224581037E-006
GOTERM_BP_FAT	GO:0070201~regulation of establishment of protein localization	19	2,6	3,068396681163E-006
GOTERM_BP_FAT	GO:0010942~positive regulation of cell death	41	5,5	3,073202541444E-006
GOTERM_BP_FAT	GO:0040017~positive regulation of locomotion	17	2,3	3,133103112501E-006
GOTERM_BP_FAT	GO:0007267~cell-cell signaling	51	6,8	3,147862814218E-006
GOTERM_BP_FAT	GO:0030335~positive regulation of cell migration	16	2,1	4,229643285206E-006
GOTERM_BP_FAT	GO:0051223~regulation of protein transport	18	2,4	0,000005561
GOTERM_BP_FAT	GO:0019221~cytokine-mediated signaling pathway	14	1,9	6,108420421738E-006
GOTERM_BP_FAT	GO:0048545~response to steroid hormone stimulus	24	3,2	6,272054231261E-006
GOTERM_BP_FAT	GO:0031328~positive regulation of cellular biosynthetic process	55	7,4	6,553479494727E-006
GOTERM_BP_FAT	GO:0051094~positive regulation of developmental process	30	4,0	6,618334833246E-006
GOTERM_BP_FAT	GO:0043066~negative regulation of apoptosis	35	4,7	6,711181206461E-006
GOTERM_BP_FAT	GO:0050863~regulation of T cell activation	18	2,4	7,954507561876E-006
GOTERM_BP_FAT	GO:0009719~response to endogenous stimulus	38	5,1	8,309547099851E-006
GOTERM_BP_FAT	GO:0043069~negative regulation of programmed cell death	35	4,7	9,074616900839E-006
GOTERM_BP_FAT	GO:0060548~negative regulation of cell death	35	4,7	9,672214502254E-006
GOTERM_BP_FAT	GO:0009891~positive regulation of biosynthetic process	55	7,4	9,977417311691E-006
GOTERM_BP_FAT	GO:0031960~response to corticosteroid stimulus	15	2,0	1,160313287608E-005
GOTERM_BP_FAT	GO:0032101~regulation of response to external stimulus	21	2,8	1,210443300655E-005
GOTERM_BP_FAT	GO:0008219~cell death	56	7,5	1,286152314263E-005
GOTERM_BP_FAT	GO:0009725~response to hormone stimulus	35	4,7	1,461085255839E-005
GOTERM_BP_FAT	GO:0016265~death	56	7,5	1,544408557146E-005

## Tabla Suplementaria 1

GOTERM_BP_FAT	GO:0045087~innate immune response	19	2,6	1,992688115529E-005
GOTERM_BP_FAT	GO:0032880~regulation of protein localization	19	2,6	1,992688115529E-005
GOTERM_BP_FAT	GO:0051384~response to glucocorticoid stimulus	14	1,9	2,082319347997E-005
GOTERM_BP_FAT	GO:0045071~negative regulation of viral genome replication	5	0,7	0,000044026
GOTERM_BP_FAT	GO:0051173~positive regulation of nitrogen compound metabolic process	50	6,7	4,424086088901E-005
GOTERM_BP_FAT	GO:0042129~regulation of T cell proliferation	12	1,6	4,929340761588E-005
GOTERM_BP_FAT	GO:0051051~negative regulation of transport	18	2,4	5,312235788591E-005
GOTERM_BP_FAT	GO:0009991~response to extracellular stimulus	24	3,2	5,699479764422E-005
GOTERM_BP_FAT	GO:0051050~positive regulation of transport	24	3,2	7,030393604817E-005
GOTERM_BP_FAT	GO:0050870~positive regulation of T cell activation	13	1,7	7,464053898343E-005
GOTERM_BP_FAT	GO:0050727~regulation of inflammatory response	13	1,7	7,464053898343E-005
GOTERM_BP_FAT	GO:0010740~positive regulation of protein kinase cascade	20	2,7	8,062973117005E-005
GOTERM_BP_FAT	GO:0002697~regulation of immune effector process	15	2,0	8,425154951473E-005
GOTERM_BP_FAT	GO:0032755~positive regulation of interleukin-6 production	7	0,9	9,331221289112E-005
GOTERM_BP_FAT	GO:0008283~cell proliferation	37	5,0	9,499080572447E-005
GOTERM_BP_FAT	GO:0048525~negative regulation of viral reproduction	5	0,7	9,929143869913E-005
GOTERM_BP_FAT	GO:0002366~leukocyte activation during immune response	9	1,2	0,0001017977
GOTERM_BP_FAT	GO:0002263~cell activation during immune response	9	1,2	0,0001017977
GOTERM_BP_FAT	GO:0048660~regulation of smooth muscle cell proliferation	10	1,3	0,0001085391
GOTERM_BP_FAT	GO:0030890~positive regulation of B cell proliferation	7	0,9	0,0001285751
GOTERM_BP_FAT	GO:0050778~positive regulation of immune response	18	2,4	0,0001306555
GOTERM_BP_FAT	GO:0060341~regulation of cellular localization	25	3,4	0,0001341971
GOTERM_BP_FAT	GO:0055074~calcium ion homeostasis	21	2,8	0,0001349115
GOTERM_BP_FAT	GO:0010627~regulation of protein kinase cascade	25	3,4	0,0001422217
GOTERM_BP_FAT	GO:0042108~positive regulation of cytokine biosynthetic process	10	1,3	0,0001532598
GOTERM_BP_FAT	GO:0055065~metal ion homeostasis	22	3,0	0,0001581405

### Probes sobre-expresadas

Category	Term	Count	%	PValue
KEGG_PATHWAY	hsa04060:Cytokine-cytokine receptor interaction	48	8,0	2,244349103999E-017
KEGG_PATHWAY	hsa04062:Chemokine signaling pathway	35	5,9	8,036230242885E-013
KEGG_PATHWAY	hsa04621:NOD-like receptor signaling pathway	17	2,8	6,862033096179E-009
KEGG_PATHWAY	hsa04620:Toll-like receptor signaling pathway	18	3,0	1,823338703076E-006
KEGG_PATHWAY	hsa04623:Cytosolic DNA-sensing pathway	12	2,0	2,411419838219E-005
KEGG_PATHWAY	hsa04622:RIG-I-like receptor signaling pathway	13	2,2	0,000060275
KEGG_PATHWAY	hsa04210:Apoptosis	13	2,2	0,0004418451
KEGG_PATHWAY	hsa05332:Graft-versus-host disease	8	1,3	0,0014949815
KEGG_PATHWAY	hsa04940:Type I diabetes mellitus	8	1,3	0,0023388261
KEGG_PATHWAY	hsa04630:Jak-STAT signaling pathway	16	2,7	0,0037545384
Category	Term	Count	%	PValue
GOTERM_BP_FAT	GO:0006955~immune response	105	17,6	1,248161453001E-039
GOTERM_BP_FAT	GO:0006952~defense response	89	14,9	1,425238514884E-031
GOTERM_BP_FAT	GO:0006954~inflammatory response	60	10,0	1,181483900160E-026
GOTERM_BP_FAT	GO:0009611~response to wounding	76	12,7	1,533343476629E-026
GOTERM_BP_FAT	GO:0042330~taxis	35	5,9	5,700084369145E-018
GOTERM_BP_FAT	GO:0006935~chemotaxis	35	5,9	5,700084369145E-018
GOTERM_BP_FAT	GO:0009615~response to virus	29	4,8	2,613276020730E-017
GOTERM_BP_FAT	GO:0042127~regulation of cell proliferation	70	11,7	4,141801669426E-013
GOTERM_BP_FAT	GO:0007626~locomotory behavior	37	6,2	3,962308884019E-012
GOTERM_BP_FAT	GO:0008284~positive regulation of cell proliferation	46	7,7	6,389461859744E-012
GOTERM_BP_FAT	GO:0042981~regulation of apoptosis	68	11,4	9,777977149544E-012
GOTERM_BP_FAT	GO:0051240~positive regulation of multicellular organismal process	34	5,7	1,454841401110E-011
GOTERM_BP_FAT	GO:0043067~regulation of programmed cell death	68	11,4	1,523469955880E-011
GOTERM_BP_FAT	GO:0010941~regulation of cell death	68	11,4	1,803107221992E-011

## Tabla Suplementaria 1

GOTERM_BP_FAT	GO:0007610~behavior	48	8,0	3,715655151533E-011
GOTERM_BP_FAT	GO:0001775~cell activation	36	6,0	6,672556320029E-011
GOTERM_BP_FAT	GO:0002237~response to molecule of bacterial origin	19	3,2	5,701424734131E-010
GOTERM_BP_FAT	GO:0048584~positive regulation of response to stimulus	31	5,2	5,871662510029E-010
GOTERM_BP_FAT	GO:0001819~positive regulation of cytokine production	19	3,2	1,247025926247E-009
GOTERM_BP_FAT	GO:0001817~regulation of cytokine production	26	4,3	2,930883581868E-009
GOTERM_BP_FAT	GO:0045321~leukocyte activation	30	5,0	4,547233772934E-009
GOTERM_BP_FAT	GO:0032496~response to lipopolysaccharide	17	2,8	5,825604280115E-009
GOTERM_BP_FAT	GO:0045429~positive regulation of nitric oxide biosynthetic process	10	1,7	1,262158422545E-008
GOTERM_BP_FAT	GO:0050670~regulation of lymphocyte proliferation	17	2,8	1,822160084213E-008
GOTERM_BP_FAT	GO:0010033~response to organic substance	56	9,4	2,012441171979E-008
GOTERM_BP_FAT	GO:0070663~regulation of leukocyte proliferation	17	2,8	2,180773785739E-008
GOTERM_BP_FAT	GO:0032944~regulation of mononuclear cell proliferation	17	2,8	2,180773785739E-008
GOTERM_BP_FAT	GO:0050671~positive regulation of lymphocyte proliferation	14	2,3	3,071693068945E-008
GOTERM_BP_FAT	GO:0070665~positive regulation of leukocyte proliferation	14	2,3	3,876685899536E-008
GOTERM_BP_FAT	GO:0032946~positive regulation of mononuclear cell proliferation	14	2,3	3,876685899536E-008
GOTERM_BP_FAT	GO:0009617~response to bacterium	25	4,2	4,882685087681E-008
GOTERM_BP_FAT	GO:0002684~positive regulation of immune system process	28	4,7	0,00000005
GOTERM_BP_FAT	GO:0034097~response to cytokine stimulus	16	2,7	0,000000063
GOTERM_BP_FAT	GO:0010647~positive regulation of cell communication	33	5,5	1,141079854261E-007
GOTERM_BP_FAT	GO:0006915~apoptosis	48	8,0	1,184170404170E-007
GOTERM_BP_FAT	GO:0050865~regulation of cell activation	23	3,8	1,461459348874E-007
GOTERM_BP_FAT	GO:0031349~positive regulation of defense response	15	2,5	1,525063264705E-007
GOTERM_BP_FAT	GO:0045428~regulation of nitric oxide biosynthetic process	10	1,7	1,673890282752E-007
GOTERM_BP_FAT	GO:0006916~anti-apoptosis	25	4,2	1,700562419786E-007
GOTERM_BP_FAT	GO:0012501~programmed cell death	48	8,0	0,000000187
GOTERM_BP_FAT	GO:0043065~positive regulation of apoptosis	38	6,4	2,705906115604E-007
GOTERM_BP_FAT	GO:0008285~negative regulation of cell proliferation	34	5,7	3,059079961636E-007
GOTERM_BP_FAT	GO:0043068~positive regulation of programmed cell death	38	6,4	3,214445368843E-007
GOTERM_BP_FAT	GO:0010942~positive regulation of cell death	38	6,4	3,565512734710E-007
GOTERM_BP_FAT	GO:0043066~negative regulation of apoptosis	33	5,5	5,972982551706E-007
GOTERM_BP_FAT	GO:0051249~regulation of lymphocyte activation	20	3,3	7,497581816201E-007
GOTERM_BP_FAT	GO:0051270~regulation of cell motion	23	3,8	8,116328212033E-007
GOTERM_BP_FAT	GO:0043069~negative regulation of programmed cell death	33	5,5	8,151846212147E-007
GOTERM_BP_FAT	GO:0060548~negative regulation of cell death	33	5,5	8,666268822476E-007
GOTERM_BP_FAT	GO:0002694~regulation of leukocyte activation	21	3,5	0,000001071
GOTERM_BP_FAT	GO:0009967~positive regulation of signal transduction	29	4,8	1,171228524122E-006
GOTERM_BP_FAT	GO:0051272~positive regulation of cell motion	16	2,7	1,173219833609E-006
GOTERM_BP_FAT	GO:0050867~positive regulation of cell activation	17	2,8	0,000001186
GOTERM_BP_FAT	GO:0046649~lymphocyte activation	23	3,8	1,367266854159E-006
GOTERM_BP_FAT	GO:0007243~protein kinase cascade	33	5,5	1,575665339588E-006
GOTERM_BP_FAT	GO:0040012~regulation of locomotion	22	3,7	2,822645907827E-006
GOTERM_BP_FAT	GO:0002696~positive regulation of leukocyte activation	16	2,7	3,235948269625E-006
GOTERM_BP_FAT	GO:0008219~cell death	50	8,4	3,427916485853E-006
GOTERM_BP_FAT	GO:0070201~regulation of establishment of protein localization	17	2,8	3,793599126026E-006
GOTERM_BP_FAT	GO:0007267~cell-cell signaling	44	7,4	4,061280933978E-006
GOTERM_BP_FAT	GO:0016265~death	50	8,4	4,085529720654E-006
GOTERM_BP_FAT	GO:0019221~cytokine-mediated signaling pathway	13	2,2	4,102468431616E-006
GOTERM_BP_FAT	GO:0051251~positive regulation of lymphocyte activation	15	2,5	0,000005426
GOTERM_BP_FAT	GO:0030334~regulation of cell migration	20	3,3	5,599820345015E-006
GOTERM_BP_FAT	GO:0031960~response to corticosteroid stimulus	14	2,3	6,107896251184E-006
GOTERM_BP_FAT	GO:0040017~positive regulation of locomotion	15	2,5	6,134764553070E-006
GOTERM_BP_FAT	GO:0042110~T cell activation	17	2,8	6,465324463972E-006

## Tabla Suplementaria 1

			Count	%	PValue
GOTERM_BP_FAT	GO:0042129~regulation of T cell proliferation		12	2,0	7,326178869000E-006
GOTERM_BP_FAT	GO:0008283~cell proliferation		35	5,9	7,354060000420E-006
GOTERM_BP_FAT	GO:0051223~regulation of protein transport		16	2,7	8,087152295848E-006
GOTERM_BP_FAT	GO:0048545~response to steroid hormone stimulus		21	3,5	1,018084137399E-005
GOTERM_BP_FAT	GO:0030335~positive regulation of cell migration		14	2,3	1,025770066497E-005
GOTERM_BP_FAT	GO:0050863~regulation of T cell activation		16	2,7	1,114918110193E-005
GOTERM_BP_FAT	GO:0051384~response to glucocorticoid stimulus		13	2,2	0,000013055
GOTERM_BP_FAT	GO:0033273~response to vitamin		12	2,0	0,000013678
GOTERM_BP_FAT	GO:0045071~negative regulation of viral genome replication		5	0,8	1,956777654782E-005
GOTERM_BP_FAT	GO:0032880~regulation of protein localization		17	2,8	0,000020775
GOTERM_BP_FAT	GO:0002366~leukocyte activation during immune response		9	1,5	2,376791522440E-005
GOTERM_BP_FAT	GO:0002263~cell activation during immune response		9	1,5	2,376791522440E-005
GOTERM_BP_FAT	GO:0055074~calcium ion homeostasis		20	3,3	2,592042546914E-005
GOTERM_BP_FAT	GO:0055066~di-, tri-valent inorganic cation homeostasis		23	3,8	2,652035819717E-005
GOTERM_BP_FAT	GO:0032755~positive regulation of interleukin-6 production		7	1,2	2,958636990102E-005
GOTERM_BP_FAT	GO:0042108~positive regulation of cytokine biosynthetic process		10	1,7	3,150905986081E-005
GOTERM_BP_FAT	GO:0051094~positive regulation of developmental process		25	4,2	3,311305148472E-005
GOTERM_BP_FAT	GO:0032101~regulation of response to external stimulus		18	3,0	3,340958080320E-005
GOTERM_BP_FAT	GO:0050778~positive regulation of immune response		17	2,8	3,848878334475E-005
GOTERM_BP_FAT	GO:0002697~regulation of immune effector process		14	2,3	4,093618968239E-005
GOTERM_BP_FAT	GO:0042035~regulation of cytokine biosynthetic process		12	2,0	4,156126883561E-005
GOTERM_BP_FAT	GO:0042102~positive regulation of T cell proliferation		9	1,5	4,413916350411E-005
GOTERM_BP_FAT	GO:0007259~JAK-STAT cascade		9	1,5	4,413916350411E-005
GOTERM_BP_FAT	GO:0048525~negative regulation of viral reproduction		5	0,8	4,441581143834E-005
GOTERM_BP_FAT	GO:0031328~positive regulation of cellular biosynthetic process		45	7,5	0,000047761
GOTERM_BP_FAT	GO:0002252~immune effector process		16	2,7	5,659440104245E-005
GOTERM_BP_FAT	GO:0032103~positive regulation of response to external stimulus		11	1,8	5,985913429752E-005
GOTERM_BP_FAT	GO:0006874~cellular calcium ion homeostasis		19	3,2	6,023851170781E-005
GOTERM_BP_FAT	GO:0010740~positive regulation of protein kinase cascade		18	3,0	6,249427802787E-005
GOTERM_BP_FAT	GO:0009891~positive regulation of biosynthetic process		45	7,5	6,572024838093E-005
GOTERM_BP_FAT	GO:0048661~positive regulation of smooth muscle cell proliferation		8	1,3	6,956629494999E-005
GOTERM_BP_FAT	GO:0045069~regulation of viral genome replication		6	1,0	7,268931649979E-005
GOTERM_BP_FAT	GO:0009991~response to extracellular stimulus		21	3,5	7,294818061043E-005
GOTERM_BP_FAT	GO:0043122~regulation of I-kappaB kinase/NF-kappaB cascade		14	2,3	7,536343949163E-005
GOTERM_BP_FAT	GO:0045087~innate immune response		16	2,7	0,000079529
GOTERM_BP_FAT	GO:0055065~metal ion homeostasis		20	3,3	0,000084967
GOTERM_BP_FAT	GO:0051222~positive regulation of protein transport		11	1,8	8,938668251870E-005
GOTERM_BP_FAT	GO:0002822~regulation of adaptive immune response based on somatic recombination of immune re		10	1,7	9,652510493370E-005
GOTERM_BP_FAT	GO:0051173~positive regulation of nitrogen compound metabolic process		42	7,0	0,0001043799
GOTERM_BP_FAT	GO:0032642~regulation of chemokine production		6	1,0	0,0001059652
GOTERM_BP_FAT	GO:0002819~regulation of adaptive immune response		10	1,7	0,0001115635
GOTERM_BP_FAT	GO:0050900~leukocyte migration		10	1,7	0,0001285144
GOTERM_BP_FAT	GO:0010627~regulation of protein kinase cascade		22	3,7	0,0001419322
GOTERM_BP_FAT	GO:0006875~cellular metal ion homeostasis		19	3,2	0,0001458307
GOTERM_BP_FAT	GO:0050708~regulation of protein secretion		10	1,7	0,0001475653
GOTERM_BP_FAT	GO:0048660~regulation of smooth muscle cell proliferation		9	1,5	0,0001516037
GOTERM_BP_FAT	GO:0009719~response to endogenous stimulus		30	5,0	0,0001575173
GOTERM_BP_FAT	GO:0043331~response to dsRNA		7	1,2	0,0001620312
GOTERM_BP_FAT	GO:0032675~regulation of interleukin-6 production		8	1,3	0,0001903398

Cél. dendríticas

Category	Term	Count	%	PValue
KEGG_PATHWAY	hsa04060:Cytokine-cytokine receptor interaction	49	4,8	1,422492441515E-012

Tabla Suplementaria 1

			Count	%	PValue
Category	Term				
KEGG_PATHWAY	hsa04620:Toll-like receptor signaling pathway		27	2,6	1,343184511129E-010
KEGG_PATHWAY	hsa04210:Apoptosis		22	2,1	2,982800050022E-008
KEGG_PATHWAY	hsa04623:Cytosolic DNA-sensing pathway		16	1,6	5,468992700919E-007
KEGG_PATHWAY	hsa04621:NOD-like receptor signaling pathway		16	1,6	2,891746979248E-006
KEGG_PATHWAY	hsa04622:RIG-I-like receptor signaling pathway		17	1,7	0,000003685
KEGG_PATHWAY	hsa04062:Chemokine signaling pathway		29	2,8	6,559343978114E-006
KEGG_PATHWAY	hsa04630:Jak-STAT signaling pathway		23	2,2	0,0001494975
GOTERM_BP_FAT	GO:0006955~immune response		121	11,8	2,065552081558E-031
GOTERM_BP_FAT	GO:0006954~inflammatory response		63	6,1	1,555702384509E-018
GOTERM_BP_FAT	GO:0006952~defense response		91	8,9	2,162516751347E-018
GOTERM_BP_FAT	GO:0009611~response to wounding		82	8,0	9,347128285518E-018
GOTERM_BP_FAT	GO:0009615~response to virus		31	3,0	7,167700255988E-014
GOTERM_BP_FAT	GO:0042981~regulation of apoptosis		88	8,6	4,171365493839E-010
GOTERM_BP_FAT	GO:0043067~regulation of programmed cell death		88	8,6	6,878433579460E-010
GOTERM_BP_FAT	GO:0002237~response to molecule of bacterial origin		23	2,2	7,342203352122E-010
GOTERM_BP_FAT	GO:0010941~regulation of cell death		88	8,6	8,204317024304E-010
GOTERM_BP_FAT	GO:0010033~response to organic substance		80	7,8	1,628748192302E-009
GOTERM_BP_FAT	GO:0001775~cell activation		41	4,0	4,126537767632E-008
GOTERM_BP_FAT	GO:0001817~regulation of cytokine production		31	3,0	4,394106293639E-008
GOTERM_BP_FAT	GO:0001819~positive regulation of cytokine production		21	2,0	5,774650954803E-008
GOTERM_BP_FAT	GO:0002684~positive regulation of immune system process		36	3,5	7,642186718389E-008
GOTERM_BP_FAT	GO:0032496~response to lipopolysaccharide		19	1,9	1,166033723636E-007
GOTERM_BP_FAT	GO:0050671~positive regulation of lymphocyte proliferation		16	1,6	1,505997085586E-007
GOTERM_BP_FAT	GO:0048584~positive regulation of response to stimulus		35	3,4	0,000000194
GOTERM_BP_FAT	GO:0032946~positive regulation of mononuclear cell proliferation		16	1,6	1,954468842626E-007
GOTERM_BP_FAT	GO:0070665~positive regulation of leukocyte proliferation		16	1,6	1,954468842626E-007
GOTERM_BP_FAT	GO:0043065~positive regulation of apoptosis		51	5,0	3,154015110426E-007
GOTERM_BP_FAT	GO:0008219~cell death		73	7,1	3,447836482523E-007
GOTERM_BP_FAT	GO:0043068~positive regulation of programmed cell death		51	5,0	4,476943353454E-007
GOTERM_BP_FAT	GO:0006915~apoptosis		64	6,2	4,282464755984E-007
GOTERM_BP_FAT	GO:0010942~positive regulation of cell death		51	5,0	4,476943353454E-007
GOTERM_BP_FAT	GO:0016265~death		73	7,1	4,528318337979E-007
GOTERM_BP_FAT	GO:0012501~programmed cell death		64	6,2	7,189220874986E-007
GOTERM_BP_FAT	GO:0034097~response to cytokine stimulus		18	1,8	9,223596190826E-007
GOTERM_BP_FAT	GO:0045087~innate immune response		24	2,3	0,000001484
GOTERM_BP_FAT	GO:0052200~response to host defenses		7	0,7	1,883678177150E-006
GOTERM_BP_FAT	GO:0075136~response to host		7	0,7	1,883678177150E-006
GOTERM_BP_FAT	GO:0052173~response to defenses of other organism during symbiotic interaction		7	0,7	1,883678177150E-006
GOTERM_BP_FAT	GO:0050670~regulation of lymphocyte proliferation		18	1,8	1,915544338639E-006
GOTERM_BP_FAT	GO:0032944~regulation of mononuclear cell proliferation		18	1,8	2,281559977892E-006
GOTERM_BP_FAT	GO:0070663~regulation of leukocyte proliferation		18	1,8	2,281559977892E-006
GOTERM_BP_FAT	GO:0045321~leukocyte activation		33	3,2	2,992923931233E-006
GOTERM_BP_FAT	GO:0002224~toll-like receptor signaling pathway		8	0,8	3,424467206264E-006
GOTERM_BP_FAT	GO:0042102~positive regulation of T cell proliferation		12	1,2	4,858284075765E-006
GOTERM_BP_FAT	GO:0007243~protein kinase cascade		43	4,2	5,189558911274E-006
GOTERM_BP_FAT	GO:0007249~I-kappaB kinase/NF-kappaB cascade		15	1,5	5,633820644876E-006
GOTERM_BP_FAT	GO:0006935~chemotaxis		25	2,4	5,974268656935E-006
GOTERM_BP_FAT	GO:0042330~taxis		25	2,4	5,974268656935E-006
GOTERM_BP_FAT	GO:0006916~anti-apoptosis		29	2,8	7,276733288594E-006
GOTERM_BP_FAT	GO:0002697~regulation of immune effector process		19	1,9	7,749829966516E-006
GOTERM_BP_FAT	GO:0051240~positive regulation of multicellular organismal process		32	3,1	0,000009749
GOTERM_BP_FAT	GO:0050778~positive regulation of immune response		23	2,2	1,202076494022E-005

## Tabla Suplementaria 1

GOTERM_BP_FAT	GO:0032675~regulation of interleukin-6 production	11	1,1	1,528411992781E-005
GOTERM_BP_FAT	GO:0051091~positive regulation of transcription factor activity	14	1,4	1,625255264576E-005
GOTERM_BP_FAT	GO:0051249~regulation of lymphocyte activation	23	2,2	1,674671731204E-005
GOTERM_BP_FAT	GO:0002221~pattern recognition receptor signaling pathway	8	0,8	1,679453287581E-005
GOTERM_BP_FAT	GO:0051251~positive regulation of lymphocyte activation	18	1,8	1,734333592002E-005
GOTERM_BP_FAT	GO:0009617~response to bacterium	27	2,6	1,797634147917E-005
GOTERM_BP_FAT	GO:0042129~regulation of T cell proliferation	14	1,4	2,362407576241E-005
GOTERM_BP_FAT	GO:0043900~regulation of multi-organism process	10	1,0	2,772678220556E-005
GOTERM_BP_FAT	GO:0050867~positive regulation of cell activation	19	1,9	2,961030838301E-005
GOTERM_BP_FAT	GO:0007259~JAK-STAT cascade	11	1,1	3,293857548703E-005
GOTERM_BP_FAT	GO:0031349~positive regulation of defense response	15	1,5	3,355420855395E-005
GOTERM_BP_FAT	GO:0010627~regulation of protein kinase cascade	31	3,0	3,778323400636E-005
GOTERM_BP_FAT	GO:0010740~positive regulation of protein kinase cascade	24	2,3	3,796889681169E-005
GOTERM_BP_FAT	GO:0042035~regulation of cytokine biosynthetic process	15	1,5	3,934039040596E-005
GOTERM_BP_FAT	GO:0050688~regulation of defense response to virus	8	0,8	3,952478888001E-005
GOTERM_BP_FAT	GO:0032755~positive regulation of interleukin-6 production	8	0,8	3,952478888001E-005
GOTERM_BP_FAT	GO:0002758~innate immune response-activating signal transduction	8	0,8	3,952478888001E-005
GOTERM_BP_FAT	GO:0002218~activation of innate immune response	8	0,8	3,952478888001E-005
GOTERM_BP_FAT	GO:0042108~positive regulation of cytokine biosynthetic process	12	1,2	4,176255768716E-005
GOTERM_BP_FAT	GO:0050691~regulation of defense response to virus by host	6	0,6	4,997731784102E-005
GOTERM_BP_FAT	GO:0043066~negative regulation of apoptosis	39	3,8	5,050113630740E-005
GOTERM_BP_FAT	GO:0051092~positive regulation of NF-kappaB transcription factor activity	11	1,1	5,260253915790E-005
GOTERM_BP_FAT	GO:0045069~regulation of viral genome replication	7	0,7	5,316493131067E-005
GOTERM_BP_FAT	GO:0050870~positive regulation of T cell activation	15	1,5	5,358374970043E-005
GOTERM_BP_FAT	GO:0002696~positive regulation of leukocyte activation	18	1,8	5,657249682284E-005
GOTERM_BP_FAT	GO:0032880~regulation of protein localization	21	2,0	5,795987343495E-005
GOTERM_BP_FAT	GO:0043122~regulation of I-kappaB kinase/NF-kappaB cascade	18	1,8	6,391153154475E-005
GOTERM_BP_FAT	GO:0043123~positive regulation of I-kappaB kinase/NF-kappaB cascade	17	1,7	6,559723016665E-005
GOTERM_BP_FAT	GO:0043069~negative regulation of programmed cell death	39	3,8	6,798045400577E-005
GOTERM_BP_FAT	GO:0060548~negative regulation of cell death	39	3,8	7,245251504610E-005
GOTERM_BP_FAT	GO:0050865~regulation of cell activation	24	2,3	7,954390731019E-005
GOTERM_BP_FAT	GO:0050792~regulation of viral reproduction	8	0,8	0,000082864
GOTERM_BP_FAT	GO:0045429~positive regulation of nitric oxide biosynthetic process	8	0,8	0,000082864
GOTERM_BP_FAT	GO:0046649~lymphocyte activation	26	2,5	8,364243702585E-005
GOTERM_BP_FAT	GO:0043388~positive regulation of DNA binding	14	1,4	9,017757170275E-005
GOTERM_BP_FAT	GO:0070201~regulation of establishment of protein localization	19	1,9	9,520230495962E-005
GOTERM_BP_FAT	GO:0002694~regulation of leukocyte activation	23	2,2	9,969944394975E-005
GOTERM_BP_FAT	GO:0009628~response to abiotic stimulus	39	3,8	0,0001148394
GOTERM_BP_FAT	GO:0002831~regulation of response to biotic stimulus	9	0,9	0,0001163591

### Probes sobre-expresadas

Category	Term	Count	%	PValue
KEGG_PATHWAY	hsa04060:Cytokine-cytokine receptor interaction	44	7,3	6,714709148768E-015
KEGG_PATHWAY	hsa04620:Toll-like receptor signaling pathway	24	4,0	2,458736931081E-011
KEGG_PATHWAY	hsa04210:Apoptosis	19	3,2	2,050991586594E-008
KEGG_PATHWAY	hsa04623:Cytosolic DNA-sensing pathway	15	2,5	5,080059868740E-008
KEGG_PATHWAY	hsa04622:RIG-I-like receptor signaling pathway	16	2,7	2,431431813753E-007
KEGG_PATHWAY	hsa04621:NOD-like receptor signaling pathway	15	2,5	2,585760688603E-007
KEGG_PATHWAY	hsa04062:Chemokine signaling pathway	25	4,2	1,304483984563E-006
KEGG_PATHWAY	hsa04630:Jak-STAT signaling pathway	18	3,0	0,0003514998
KEGG_PATHWAY	hsa04940:Type I diabetes mellitus	9	1,5	0,0003678029
KEGG_PATHWAY	hsa05332:Graft-versus-host disease	8	1,3	0,001246301
KEGG_PATHWAY	hsa05330:Allograft rejection	7	1,2	0,0041017295

Category	Term	Count	%	PValue

## Tabla Suplementaria 1

GOTERM_BP_FAT	GO:0006955~immune response	108	18,0	5,919142968501E-044
GOTERM_BP_FAT	GO:0006952~defense response	79	13,2	9,805081781006E-026
GOTERM_BP_FAT	GO:0009611~response to wounding	68	11,3	4,863311280264E-022
GOTERM_BP_FAT	GO:0006954~inflammatory response	53	8,8	7,553436169429E-022
GOTERM_BP_FAT	GO:0009615~response to virus	29	4,8	8,318188910933E-018
GOTERM_BP_FAT	GO:0042981~regulation of apoptosis	74	12,3	1,188191023956E-015
GOTERM_BP_FAT	GO:0043067~regulation of programmed cell death	74	12,3	2,103909139751E-015
GOTERM_BP_FAT	GO:0010941~regulation of cell death	74	12,3	2,520659705462E-015
GOTERM_BP_FAT	GO:0010033~response to organic substance	64	10,7	8,103568083421E-013
GOTERM_BP_FAT	GO:0001817~regulation of cytokine production	29	4,8	7,454737761715E-012
GOTERM_BP_FAT	GO:0002237~response to molecule of bacterial origin	20	3,3	3,267677675441E-011
GOTERM_BP_FAT	GO:0048584~positive regulation of response to stimulus	32	5,3	4,320552411874E-011
GOTERM_BP_FAT	GO:0002684~positive regulation of immune system process	32	5,3	5,392533692693E-011
GOTERM_BP_FAT	GO:0001819~positive regulation of cytokine production	20	3,3	7,609898844745E-011
GOTERM_BP_FAT	GO:0001775~cell activation	34	5,7	3,623035363216E-010
GOTERM_BP_FAT	GO:0006915~apoptosis	52	8,7	4,612098820726E-010
GOTERM_BP_FAT	GO:0008219~cell death	58	9,7	5,047736926961E-010
GOTERM_BP_FAT	GO:0016265~death	58	9,7	6,496357199326E-010
GOTERM_BP_FAT	GO:0012501~programmed cell death	52	8,7	7,822140271958E-010
GOTERM_BP_FAT	GO:0051240~positive regulation of multicellular organismal process	30	5,0	0,000000002
GOTERM_BP_FAT	GO:0043065~positive regulation of apoptosis	41	6,8	2,831025650751E-009
GOTERM_BP_FAT	GO:0032496~response to lipopolysaccharide	17	2,8	3,108604825116E-009
GOTERM_BP_FAT	GO:0043068~positive regulation of programmed cell death	41	6,8	3,458205938106E-009
GOTERM_BP_FAT	GO:0010942~positive regulation of cell death	41	6,8	3,948174943173E-009
GOTERM_BP_FAT	GO:0034097~response to cytokine stimulus	17	2,8	4,616202099245E-009
GOTERM_BP_FAT	GO:0006916~anti-apoptosis	26	4,3	1,762621228871E-008
GOTERM_BP_FAT	GO:0050671~positive regulation of lymphocyte proliferation	14	2,3	1,826129361808E-008
GOTERM_BP_FAT	GO:0070665~positive regulation of leukocyte proliferation	14	2,3	2,307926487153E-008
GOTERM_BP_FAT	GO:0032946~positive regulation of mononuclear cell proliferation	14	2,3	2,307926487153E-008
GOTERM_BP_FAT	GO:0002697~regulation of immune effector process	18	3,0	2,867576022815E-008
GOTERM_BP_FAT	GO:0042127~regulation of cell proliferation	57	9,5	3,510287964298E-008
GOTERM_BP_FAT	GO:0010647~positive regulation of cell communication	33	5,5	4,140636512973E-008
GOTERM_BP_FAT	GO:0050778~positive regulation of immune response	21	3,5	5,683050947675E-008
GOTERM_BP_FAT	GO:0050670~regulation of lymphocyte proliferation	16	2,7	7,067228228475E-008
GOTERM_BP_FAT	GO:0051249~regulation of lymphocyte activation	21	3,5	8,045711755755E-008
GOTERM_BP_FAT	GO:0070663~regulation of leukocyte proliferation	16	2,7	8,348081781211E-008
GOTERM_BP_FAT	GO:0032944~regulation of mononuclear cell proliferation	16	2,7	8,348081781211E-008
GOTERM_BP_FAT	GO:0009617~response to bacterium	24	4,0	9,269340446226E-008
GOTERM_BP_FAT	GO:0045087~innate immune response	20	3,3	1,258905861311E-007
GOTERM_BP_FAT	GO:0010740~positive regulation of protein kinase cascade	22	3,7	1,343991239961E-007
GOTERM_BP_FAT	GO:0043066~negative regulation of apoptosis	33	5,5	2,243996079369E-007
GOTERM_BP_FAT	GO:0006935~chemotaxis	21	3,5	2,952813666413E-007
GOTERM_BP_FAT	GO:0042330~taxis	21	3,5	2,952813666413E-007
GOTERM_BP_FAT	GO:0050865~regulation of cell activation	22	3,7	2,997470630753E-007
GOTERM_BP_FAT	GO:0043069~negative regulation of programmed cell death	33	5,5	3,081726146764E-007
GOTERM_BP_FAT	GO:0060548~negative regulation of cell death	33	5,5	3,280838911423E-007
GOTERM_BP_FAT	GO:0008285~negative regulation of cell proliferation	33	5,5	3,488363962721E-007
GOTERM_BP_FAT	GO:0045321~leukocyte activation	26	4,3	0,000000417
GOTERM_BP_FAT	GO:0051091~positive regulation of transcription factor activity	13	2,2	4,620593125872E-007
GOTERM_BP_FAT	GO:0009967~positive regulation of signal transduction	29	4,8	4,874719971377E-007
GOTERM_BP_FAT	GO:0002694~regulation of leukocyte activation	21	3,5	5,385052041569E-007
GOTERM_BP_FAT	GO:0051251~positive regulation of lymphocyte activation	16	2,7	5,895588434360E-007
GOTERM_BP_FAT	GO:0051092~positive regulation of NF-kappaB transcription factor activity	11	1,8	0,000000602

## Tabla Suplementaria 1

GOTERM_BP_FAT	GO:0031349~positive regulation of defense response	14	2,3	0,000000633
GOTERM_BP_FAT	GO:0050867~positive regulation of cell activation	17	2,8	0,000000664
GOTERM_BP_FAT	GO:0010627~regulation of protein kinase cascade	26	4,3	7,153139212164E-007
GOTERM_BP_FAT	GO:0042035~regulation of cytokine biosynthetic process	14	2,3	7,452370358261E-007
GOTERM_BP_FAT	GO:0051223~regulation of protein transport	17	2,8	0,000000959
GOTERM_BP_FAT	GO:0032755~positive regulation of interleukin-6 production	8	1,3	1,421597107148E-006
GOTERM_BP_FAT	GO:0051222~positive regulation of protein transport	13	2,2	1,607205750996E-006
GOTERM_BP_FAT	GO:0007243~protein kinase cascade	32	5,3	1,769922003860E-006
GOTERM_BP_FAT	GO:0032675~regulation of interleukin-6 production	10	1,7	1,776059563789E-006
GOTERM_BP_FAT	GO:0002696~positive regulation of leukocyte activation	16	2,7	0,000001884
GOTERM_BP_FAT	GO:0043122~regulation of I-kappaB kinase/NF-kappaB cascade	16	2,7	2,126263378490E-006
GOTERM_BP_FAT	GO:0070201~regulation of establishment of protein localization	17	2,8	2,154070625806E-006
GOTERM_BP_FAT	GO:0043388~positive regulation of DNA binding	13	2,2	2,607516307517E-006
GOTERM_BP_FAT	GO:0032880~regulation of protein localization	18	3,0	0,000002815
GOTERM_BP_FAT	GO:0042108~positive regulation of cytokine biosynthetic process	11	1,8	2,857161385343E-006
GOTERM_BP_FAT	GO:0002224~toll-like receptor signaling pathway	7	1,2	2,939200210173E-006
GOTERM_BP_FAT	GO:0045069~regulation of viral genome replication	7	1,2	2,939200210173E-006
GOTERM_BP_FAT	GO:0050792~regulation of viral reproduction	8	1,3	3,098198826859E-006
GOTERM_BP_FAT	GO:0043123~positive regulation of I-kappaB kinase/NF-kappaB cascade	15	2,5	3,266418158754E-006
GOTERM_BP_FAT	GO:0042102~positive regulation of T cell proliferation	10	1,7	3,662111659703E-006
GOTERM_BP_FAT	GO:0007259~JAK-STAT cascade	10	1,7	3,662111659703E-006
GOTERM_BP_FAT	GO:0052173~response to defenses of other organism during symbiotic interaction	6	1,0	4,254337740434E-006
GOTERM_BP_FAT	GO:0052200~response to host defenses	6	1,0	4,254337740434E-006
GOTERM_BP_FAT	GO:0050691~regulation of defense response to virus by host	6	1,0	4,254337740434E-006
GOTERM_BP_FAT	GO:0075136~response to host	6	1,0	4,254337740434E-006
GOTERM_BP_FAT	GO:0051050~positive regulation of transport	23	3,8	4,407644694218E-006
GOTERM_BP_FAT	GO:0042129~regulation of T cell proliferation	12	2,0	4,821168072757E-006
GOTERM_BP_FAT	GO:0043900~regulation of multi-organism process	9	1,5	5,215233932120E-006
GOTERM_BP_FAT	GO:0007249~I-kappaB kinase/NF-kappaB cascade	12	2,0	5,670595143003E-006
GOTERM_BP_FAT	GO:0050870~positive regulation of T cell activation	13	2,2	6,359759704128E-006
GOTERM_BP_FAT	GO:0050863~regulation of T cell activation	16	2,7	6,591639069038E-006
GOTERM_BP_FAT	GO:0051090~regulation of transcription factor activity	15	2,5	6,714126831906E-006
GOTERM_BP_FAT	GO:0006917~induction of apoptosis	28	4,7	0,000007363
GOTERM_BP_FAT	GO:0012502~induction of programmed cell death	28	4,7	7,831425415069E-006
GOTERM_BP_FAT	GO:0051099~positive regulation of binding	13	2,2	8,389431308465E-006
GOTERM_BP_FAT	GO:0046649~lymphocyte activation	21	3,5	9,127779938607E-006
GOTERM_BP_FAT	GO:0002221~pattern recognition receptor signaling pathway	7	1,2	1,113440526993E-005
GOTERM_BP_FAT	GO:0051098~regulation of binding	18	3,0	1,148458328768E-005
GOTERM_BP_FAT	GO:0019221~cytokine-mediated signaling pathway	12	2,0	1,619828467194E-005
GOTERM_BP_FAT	GO:0042110~T cell activation	16	2,7	1,6392505654059E-005
GOTERM_BP_FAT	GO:0045071~negative regulation of viral genome replication	5	0,8	1,644262415339E-005
GOTERM_BP_FAT	GO:0050688~regulation of defense response to virus	7	1,2	2,307874752411E-005
GOTERM_BP_FAT	GO:0002218~activation of innate immune response	7	1,2	2,307874752411E-005
GOTERM_BP_FAT	GO:0002758~innate immune response-activating signal transduction	7	1,2	2,307874752411E-005
GOTERM_BP_FAT	GO:0002831~regulation of response to biotic stimulus	8	1,3	3,309681919420E-005
GOTERM_BP_FAT	GO:0048525~negative regulation of viral reproduction	5	0,8	3,736738586268E-005
GOTERM_BP_FAT	GO:0007626~locomotory behavior	24	4,0	3,791370909872E-005
GOTERM_BP_FAT	GO:0045072~regulation of interferon-gamma biosynthetic process	6	1,0	0,000038948
GOTERM_BP_FAT	GO:0051101~regulation of DNA binding	15	2,5	4,309678389111E-005
GOTERM_BP_FAT	GO:0045429~positive regulation of nitric oxide biosynthetic process	7	1,2	0,000043643
GOTERM_BP_FAT	GO:0008284~positive regulation of cell proliferation	31	5,2	4,412909419715E-005
GOTERM_BP_FAT	GO:0050714~positive regulation of protein secretion	9	1,5	4,732043931365E-005
GOTERM_BP_FAT	GO:0051247~positive regulation of protein metabolic process	22	3,7	5,387135013850E-005

### Tabla Suplementaria 1

GOTERM_BP_FAT	GO:0051047~positive regulation of secretion	14	2,3	5,855648530950E-005
GOTERM_BP_FAT	GO:0045088~regulation of innate immune response	10	1,7	5,933653583356E-005
GOTERM_BP_FAT	GO:0002822~regulation of adaptive immune response based on somatic recombination of immune re	10	1,7	6,891153441607E-005
GOTERM_BP_FAT	GO:0002764~immune response-regulating signal transduction	10	1,7	7,975372171757E-005
GOTERM_BP_FAT	GO:0002819~regulation of adaptive immune response	10	1,7	7,975372171757E-005
GOTERM_BP_FAT	GO:0007267~cell-cell signaling	39	6,5	8,478544195608E-005
GOTERM_BP_FAT	GO:0050708~regulation of protein secretion	10	1,7	0,0001057709
GOTERM_BP_FAT	GO:0045089~positive regulation of innate immune response	9	1,5	0,0001118948
GOTERM_BP_FAT	GO:0002252~immune effector process	15	2,5	0,0001319529

Tabla Supplementaria 2

Listas de genes diferencialmente expresados

THP-1

DUSP2	DLGAP4	OSGIN1	TWSG1	MT1HL1	PPFIA2	CCDC88A	TFE3	IDO2	ARHGAP22
CLIC5	SMOX	C1orf56	ZNF33A	TJP2	RAB18	VAPA	CREM	ST6GAL1	DAPP1
CDK17	TFEB	SLC26A6	CGN	P2RX4	ANKLE2	MAP3K5	IL15RA	CCNL1	PALLD
C21orf91	TTN-AS1	SPATS2L	COL8A1	ZBTB43	DUSP16	SLC25A29	FERMT2	STAG1	SMAD7
PTPRJ	HECTD2	BCAR3	IFIT2	ATP9A	MCL1	SDCBP	ID2	SIPA1L1	PHLPP2
LOC100288675	PHACTR2	CLIP4	CD59	BMP6	PPP2R3A	BATF	MET	DDX3Y	HINT1
MT1H	SLC1A3	PTAFR	PKIG	GPR137B	PLEKHO2	RDH10	EID3	CEP120	AFF4
ISG15	S100A10	SSH1	SPHK1	PGBD5	OAS1	PCGF5	MIR3682	TSC22D2	LRRC4B
TNFAIP8	MSANTD3	PTPN1	HEXIM1	ZCHC24	DUSP5	TTL	ATP11C	PTGER2	MFSD6
C1orf21	MT1X	TNFRSF10D	ALCAM	ARHGEF40	GLIS3	FSCN1	FYN	KIF25-AS1	OAS3
DIAPH2-AS1	PLAU	FKBP5	KCNIN4	NRIP3	C21orf2	STARD10	NCK2	PPARD	TMEM200A
TICAM1	MLLT6	KCNG1	LYRM4	NFE2L2	RAB3IP	SIK3	IFNGR2	ZBTB46	HS3ST3A1
SNAP25	RCN1	IRF9	BRPF3	IL32	SRSF12	PLEK	ABCC3	TMEM2	IRG1
IKZF1	MAGI2-IT1	SOWAH	GPR84	FADS3	NAB1	ST20	FRK	KIAA0232	SERTAD1
ELAVL2	GPR132	SEC14L1	OSGIN2	LINC00942	ACVR2A	MDM2	EMP2	LINC00969	ALDH1A1
EGR2	NCOA7	CLIC6	ORAI1	NPTN-IT1	BCL2L1	NOL4L	ENPP4	TRAF3	DNAJB4
C7orf60	ATP2C1	FMNL1	IRF7	ZMZ1	POPDC3	FNDC3B	STK17A	PNKD	RASSF4
SEC24A	TXNRD1	MARCKSL1	AHDC1	FAM134B	JAM2	LRG1	ZNF300P1	CFLAR	MFSD2A
PGAP1	ADM	CCRL2	CKB	HMOX1	WNT5B	TCEB3	NFKBIE	PAPSS2	DNAAF1
PDE8A	PITPNA	LOC100505498	ULBP2	TTLL4	FGR	PKM	CHI3L1	HCK	CYLD
TNFSF15	DTX4	TFPI2	SPRED2	MYO10	PLK3	ST3GAL2	MRAS	LINC00969	UPB1
TP53INP2	PDLIM4	LOC100130232	SEMA6D	KIAA1211	CLIC4	PIM2	CYP27B1	PIM3	OAS2
NCR3LG1LINC00158	PIK3R5	EPST11	LACC1	TEAD1	CLIC2	PEAK1	GJB2	NLGN4Y	PEA15
LPAR1	CCL5	TIFAB	RASSF8	SGPP2	RFTN1	TMEM217	CXXC5	ADGRE2	PARM1
CXCL11	TRIM36	SRC	NFKBID	PRR16	FGF2	RAP2C	LRP12	MMP9	ZMIZ2
NAB2	MS4A14	NRCAM	HIVEP3	TSLP	TMEM194A	NFYA	SH2B3	BCL9L	PLA2G4C
IFIT1	SLC11A2	CD58	LPXN	KIAA1551	JADE2	CPEB4	GSAP	SLC5A3	TMEM106A
MT2A	KCNJ2	ZNF366	CCM2L	FMNL3	VMP1	ABCC1	PTPRE	CLEC2D	PLAUR
COL5A2	OLIG2	METRNL	FAM129A	NR4A3	CYP1B1	KITLG	PLEKHO1	CHST7	IGDC4
ZC3H12C	LOC285957	UGCG	HIPK2	LOC100505501	LINC00597	RAB7B	FCAR	IL18RAP	MYO1B
ICOSLG	STATH	DUSP6	C15orf48	FTH1P5	GRAMD1A	LOC285181	IL18R1	IFI44L	COL4A2
ABTB2	GNG4	TEX41	TRIM16	RAPH1	RASSF8-AS1	GPR183	TRIP10	ADGREG2	HGD
HS3ST3B1	BTG1	LITAF	SLC43A2	IER3	ANKRD33B	GPD2	C6orf58	RIT1	HMGN2P46
GCLM	SLAMF8	INHBA	PHLDA1	SNN	THBD	OGFRL1	RRAD	RAB8B	BTBD19
NFE2L3	BID	DENND5A	IFI44L	RELB	GOS2	MCTP1	RUNX1T1	MARCKS	RCAN2
SLC6A6	SKIL	MDFIC	SRXN1	ARHGAP31	KCNQ3	CPM	LYS	PDGFA	LFNG
FLVCR2	AHR	PPP1R17	RGL1	STAT5A	USP12	DIXDC1	CD274	PELI1	MSC
CHST2	WTAP	CCL22	PXDC1	BCL6	NFKBIZ	OLR1	PTPNE2	CALCRL	OLIG1
HIVEP2	ME1	GBP5	RND3	HIVEP1	TRAFL1	ITGB8	TRIP10	ITGB8	MX1
BAIAP2L1	NAMPT	RSP03	IL10RA	SLC41A2	PLA2G7	CD80	NINJ1	MAMLD1	ZNF697
FDCSP	IL27RA	SLC7A11	CXCL10	NRP2	SAT1	POU2F2	STX11	TFAP2A	HRH1
LOC344887	BTG2	IRAK2	JUN	RASGRP1	AGPAT9	NPTX2	PTGS2	PDE4B	FSD1L
PSD3	FTH1	LINC00936	NFKB1	SOD2	CD80	PRDM1	TGFBR3	FIP1	CLIP2
DUSP4	CD40	VSNL1	REL	EBF1	CD44	ACSL1	TGFB3	TFAP2B1	GBP2
SAMSN1	TNIP3	GPR88	CYP7B1	VCAM1	TUBB2A	FEZ1	CD83	CRIM1	MGLL
MAML2	RNF144B	TNFRSF9	GCH1	CXCL2	SLAMF7	CXCL1	NFKB2	ATP1B1	MAP3K8
SERPINE2	MAFF	IL23A	LINC00622	CTGF	SGK1	SERPINB9	CXCL6	RAB27B	EBI3
IL7R	LOC440934	IGFBP3	CCL4	ELOVL7	IL1B	IL12B	STAT4	MAFB	DRAM1
TNFAIP6	C11orf1	CCDC85CRHOBTB2	TTC30B	GLTSCR1L	PPP2R4	CAMSAP2	ICAM1	PTX3	TFAP2A
ZNF77	TPK1	WDR59	ARHGAP18	UTRN	ARHGAP31	CD274	RNF24	ATXN10	C9orf69
AGO4	RITA1	MKL1	FAM64A	TNFSF13	ERMP1	CD80	CD300C	CD21A1	AGPAT2
ARSD	ME2	NDRG1	PRDX3	ST3GAL3	NR1H3	CD83	CD300C	CD21A1	TFAP2A
PTDSS1	SSNA1	RAB37	ANTXR2	HMG20B	MRPL34	FAM210B	CD83	CD300C	TSPAN5
NAT10	AIFM1	MACF1	SEC63	UROD	SMARCAL1	CD83	CD83	CD300C	TFAP2A
ACAT1	WDR54	ATP8B3	ABHD11	RET	LOC730102	CD83	CD83	CD300C	TFAP2A
TRAP1	NCOR1	DACH1	ZFP64	ARRDC1	ZNF512	CD83	CD83	CD300C	TFAP2A
GRHPR	DARS2	IVD	CIDEB	CEACAM21	MINA	CD83	CD83	CD300C	TFAP2A
NUDT16	PCCA	SEPT6	BIVM	MVB12B	TBC1D22A	CD83	CD83	CD300C	TFAP2A
DNAJC19	SIGIRR	U2SURP	GPX1	PPOX	MGST2	PNMA6A	CD83	CD300C	TFAP2A
ALKBH3	AKAP13	PON2	RAB40B	FUCA1	PNPLA6	QDPR	CD83	CD300C	TFAP2A
ACAD9	CBR4	BCAT2	LIMA1	ADGRG5	MAP7	CD83	CD83	CD300C	TFAP2A
DEAF1	CORO1B	AGAP1	CRIP1	AACS	PPAPDC2	CD83	CD83	CD300C	TFAP2A
COX11	PODXL	RERE	RNF187	ADCK2	SF3A2	ESYT2	CD83	CD300C	TFAP2A
FBXO41	KIAA0586	PHACTR1	TRANK1	CNPY3	DCAF8	CD47	CD47	CD47	TFAP2A
DDHD2	RUVBL2	PARP1	DBP	TMEM160	MDH2	PLCG2	CD47	CD47	TFAP2A
ATP5S	FAM228RBKS	HGF	FLI1	CD244	MSI2	GBAP1	CD47	CD47	TFAP2A
EPHX2	IFFO1	STXBP6	TRPT1	NEK3	PSEN2	CDIPT	CD47	CD47	TFAP2A
SERGEF	PGM2	NOA1	ABCC6	CENPV	ISCA2	MRPS36	CD47	CD47	TFAP2A
LOC100310756	SUMF1	DGKD	HRSP12	SPTLC2	SERPINH1	CD47	CD47	CD47	TFAP2A
CNOT8	NMRAL1	VAMP8	PSD4	FAM21C	MIA3	CD47	CD47	CD47	TFAP2A
TMEM231	TMEM229B	KLHL6	KAZN	TESC	VPS26B	CD47	CD47	CD47	TFAP2A
ANAPC5	ERMARD	NAP1L3	ZNF57	MRPS34	SESN3	CD47	CD47	CD47	TFAP2A
MUM1	UTP6	PINLYP	AGTRAP	MRPL40	ZADH2	TTC9C	CD47	CD47	TFAP2A
RRRC45	PNPO	ACTN1	FOXRED2	NUDT22	EAPP	SAMM50	CD47	CD47	TFAP2A

SDCCAG8	FBXL4	ZBED8	WAS	PEX7	PCNXL2	PTK2	MTX2	ATL3	RUVBL1	TMEM71		
SLC25A15	ADGRG6	MRPL18	B3GNTL1	MTM1	BBS2	AK2	TSHZ1	IKBKAP	FAM26F	SATB1	NEFH	
MVB12A	PCCB	ACOT13	CNOT6L	NAGPA	FOSL2	MAT2B	PPIL3	ACP6	TSPAN32	TMEM144		
ELMO1	TMEM106B	LOC286052		CAMK2G	ZNF74	ERCC2	SCARB1	GGA2	SENP6	ST14		
CYP46A1	CCDC64	NARS2	ACAA2	LCP2	LOC100506730	RNPEP	CLSTN1	TRIQK	METTL13	MRPL16		
DOCK2	SUN2	BDH1	UQCC3	MUT	MRI1	CBX7	IRF5	WDFY2	TMEM55A	SDHAF3		
PATZ1	CGNL1	OSBPL5	MYB	SSSCA1	CDK5	PREX1	SLC46A3	AUH	CNDP2	REPIN1	PSMG1	
KCNQ5	DOPEY2	MCEE	MICAL2	MPI	POU2F1	SPIDR	GYG2	BIK	CHEK2	SLC8A1	RCAN3	
ZNF618	SLCY	C5	FRMD4B	ZNF252P	BTFL3L4	CUL4B	TTLL1	TMCO6	ACBD6	B3GNT2	AP1M1	
ARHGEF18	HPDL	SLC16A7	RASGRP2	KBTBD7	TOM1L1	CEP68	OXCT2	POLG2	WDR18	UACA		
DNAJC13	WDR3	EBP	INPP5A	UBE2J1	DARS	RFXANK	ARHGAP1	ZFP90	DHCR24	PXN-AS1		
FAM173A	SLC29A1	TMEM218		EXOSC7	ANKRD45		SLC38A9	ZNF692	RWDD2B	VPS28	MS4A3	
MAPKAPK3	KIF22	MRPS14	TMEM53	LGALS9	ADSL	MYOF	SIGMAR1	CCNG2	STEAP3	RPRD1A	FRY	
KLHL24	TEX264	CD300A	TCFL5	EPHB1	CREB3L4	BCKDHA	PPIP5K2	RNF175	ACOT4	WDR61	LPCAT4	PIGB
GLT8D1	VPS51	CD33	PAFAH1B3		MGA	WIPF1	SYNPO2	NLRC3	CBX3	PRLR	SLC22A5	
TMEM9	IMPACT	LINC00925	PYCRL	COX18	CAPN1	VPS35	PIGM	MAN1C1	BANK1	EIF4B		
UBE4B	C5orf63	LRRC17	GLMP	C11orf21	CBR1	CAD	SNX14	FOXP2	GANC	TSEN2	ST6GALNAC4	
STAG2	CCDC6	FAM220A	BTD2	MBD5	NUP210	ATG4C	PQLC3	DUSP27	FARSA	STX7	CHN2	
FBXO25	NLRX1	HK2	RPP25	ORA13	CCNDBP1		TBCE	EMB	EXOSC5	SLC2A9	PCDH6	
ZBTB44	GLUL	GSE1	PSMB10	DYNC2H1		RPUSD3	OCLN	OBSL1	FGD3	TMC8	PGLS	
FAM69B	C7orf50	ENG	CCDC22	ARHGEF6		MFNG	PDHB	PPIE	PGPEP1	C20orf27	ALDH9A1	
CD84	LOC101927221	MPG	ADCY3	UNC93B1	CORO2A	C8orf82	ADRB2	FZD2	IFT74	TPM1		
FAM217B	SLC39A11		PRELID2	RNH1	PRKAR2B		COMMD8	LOC202181	MAP4K1	PARP8		
TBC1D14	FBXL20	LDLRAP1	ATP6V0E2		NAPRT	CMC1	PTPN22	UBAC2	HIBCH	SPTBN1	TRAF3IP3	
OMA1	TSSC1	CEP63	DTD2	FAM78A	CACYBP	ECH1	MRPL1	KIF17	LAIR1	DIS3L	ARV1	CRYZ
BSPRY	PRSS12	CTPS2	ZFP69	TEC	TST	TBCK	INSR	SRSF8	AP1S3	SCRN3	TARBP1	CAT
ATIC	GCA	TMEM206		RGS19	RHOT1	SLC27A3	MAPRE2	GLRX	ACACB	ARHGEF9		
BAHCC1	ZNF439	HEATR5B	SPECC1	DTD1	GMPR2	NUDT6	SLC17A5	PMS1	OAF	C21orf59	QPRT	
UNC5C	GDE1	RFPL1S	HMBS	TLE1	INPP4A	IFT27	ZMYM3	HDAC4	HES6	VWA8	METTL23	FIG4
IKBIP	LYR5	ATG16L2	NTHL1	APEH	SEMA4D	CWC27	C1GALT1C1	POP5	GMDS	SLC39A3		
LPPR3	GALK1	COL9A3	TMEM154		WDR91	DEF6	GNB5	TPCN1	HOMER3	NCF4	C15orf41	
ADRBK1	MAP2K5	UBL7	SFXN3	TUBA4A	GALT	FOXN3	RPP40	MLKL	ANKRD55		FAR2	
SLC1A4	ANKLE1	RBFA	PDLIM2	GATM	FLNA	BCL2	SAC3D1	ABHD15	SLITRK5	KCNQ4	LINC00094	
RNF125	SYCP2L	RPE	ERLIN2	MFSD3	SYK	NUDT16L1		CECR5	BTK	ICE2	POLR3GL	
RAB3D	SLC43A1	SLC39A10		DMRT2	LTA4H	ADD3	IRS2	EVI2B	SOX12	ADH5	AKAP1	
SETDB2	DENND1B		ANKRD35		SNTB1	KIAA0100		XRCC6BP1		PPP1R35	ADCY9	
ROGDI	DCPS	KIAA0226L		HPS4	BBP1	RAB27A	HENMT1	SIMC1	IARS2	FAM175ALYL1		
LZTFL1	MICAL1	GIMAP6	TMEM87B		SPATC1L	CHST13	PRKACB	SAPCD2	PCYT2	TMEM97	LINC01133	
CCDC28A	ALAD	C15orf61	TMEM50B		TIMP2	PCMTD2	MYADM	DENND2D		ANXA11	NREP	
C17orf104	DHTKD1	FRAT2	GOLGA8N		GHDC	FAM20C	MARC1	PCYOX1L		SLC25A30		
CPT1A	PRMT7	RASA3	AAK1	THBS4	MXI1	MIF4GD	KATNB1	ALDH5A1		HERC2	UHRF2	
RMND1	MTMR4	RAB33A	RUNX2	WDR49	EAF2	TTC7A	HAACL1	PLEKHA2		NPRL2	CCNG1	
C17orf62	PSIP1	CITED2	SLC27A2	C20orf197	TRIM14	APEX1	CD300LF	CELF2	KCNN2	ERLIN1	WDR12	MPST
SKIDA1	FLT3	LRRC34	HMHA1	FAM163A	ALDH3B1		BCKDHB	LIX1L	ZNRF2	HEYL	ZFP36L2	
IRAK1BP1	PTK2B	FES	UBL7-AS1		COL8A2	FDFT1	PDGFD	ADCY7	P2RY2	ITGAL		
MBTD1	RNASEH2B		NAPSB	MS4A4A	ZNF395	HDDC3	KLHDC3	PPP1R21	EIF4EBP1	PARP4	PSMB8	
KCNAB2	IRF2BP2	ADD2	PTPRN2	PDLIM1	JMY	ZCCHC7	RNF13	EHHADH	SUSD3	ITGA4	SLC2A5	
SCAMP1	KANK1	AKAP7	THYN1	EHMT2	LGR4	RIMS3	FAM105A	PSMB9	XK	CLTCL1	MID1P1	
KLHDC2	PSTPIP1	NACC2	SMARCA2		ADCCK3	QNFCUT2		LRRC3B	CLNS1A	MS4A6A	SREK1P1	
SNX10	OSR2	JARID2	FYB	RAP1GAP2		RNF44	MBLAC2	FRMD3	KIT	ARHGAP17	IL6R	
DOCK11	GMCL1	GRAMD4	METTL7A		MAD1L1	TRERF1	HDAC5	DEPTOR	CDCA7L	IDH1	SNX30	
PRAM1	CDCA7	ANKRD44		TLR2	TNS3	CNR1	THSD7A	TRPC5OS	ZNF658	NXPE3	PSMG4	
VLDLR	LAMP5	CCDC85BLDLR	C14orf159	SLC1A1	HSD17B11		ITPR1	FBXO4	STAR	FCGR1B	HAL	
SLC22A16	CORO1A	PIK3CB	LANC1L	DUSP7	ZNF521	INPP5D	CHST12	OSBPL1A	NMNAT3	PPM1H		
IMPA2	TMEM173		PYCARD	ZNF536	GPD1L	DZANK1	P2RY8	KIAA0930		GPR18	B3GNT7	
PCYOX1	HNF4G	LRMP	RGS18	LOC100507642		MNDA	AFF3	CITED4	PDE7B	BMP8B	CCDC26	
CBFA2T3	CXCR2	NFE2	C11orf45	SERPINB10		SLAIN1	GFI1	IRX3	CA2	METTL7B		
TDRD7	KBTBD11	BRI3BP	ERVH-3	FAM216A	CX3CR1	LMO2	POU4F2	CYSLTR1	NUDT7	DHRS9	FAM117B	
CACNA2D3		PHACTR3		SERPINB2								

#### Macrófagos

APOBEC3F	DUSP16	JAK2	SLC16A7	TMEM88	SGTB	LINC01465		ARAP3	ZMZ1-AS1			
MOP1	HEG1	GPX8	CLIC4	PIM3	C18orf61	SMPDL3A	SLFN12	HIVEP1	LBH	LOC100294362		
ITIH4	LOC100506860	LOC400043		EMP3	BMP2	TJP1	NLN	JADE2	KDM6B	LINC00515		
ICOSLG	OAS1	TNFSF14	MAFB	TRIM78P	CEBPD	SMCHD1	RAB33A	NFKBIE	METTL1	PLA1A	ARRDC3	
RUFY3	SAT1	DDX60	S100P	LILRB2	JAK1	C15orf26	LAMB1	LOC399900	CYLD	SASH1		
PLSCR1	IL10RA	KLK10	SLC22A4	DCUN1D3	ANKLE1	DRAM1	SPTLC2	TNFAIP2	CTLA4	TNFRSF10C		
AMPD3	TMEM139		GPR161	ZDHHC9	ADGRE1	LYN	FAM101B	DMXL2	MAMLD1	RNF175	CORO1A	
MAML2	ZNF702P	IFNGR2	PPP1R15A		TDRD7	IL18R1	UBE2S	FOSL1	LINC01260		LOC100507006	
JUNB	ZC3HAV1SRC		P2RY2	C7orf60	N4BP1	OAZ2	AKR1C2	WNT5A	ATP2B1	MFN1	DENND1A	
TNFRSF9	PLXNC1	TRIM31	VWA8	RELB	TICAM1	DDX60L	TRIM36	SCML1	RASGRP3	CASP5	SAV1	
B4GALT5	PLK3	TNFSF13B		IKBKE	CDC42EP2	SNN	RTP4	APOBEC3G	CREM			
ZDHHC17	TP53BP2	DYNLT1	CYP4F3	SLC1A3	CD82	MTF1	KIAA0226		TSPAN33	LILRA5		
PLCB4	S1PR2	BLZF1	C3AR1	DUSP1	PRRX1	IFI44	HRH1	ZNF618	SEMA4D	SLC25A28		
ENDOD1	MCTP1	KCNJ2-AS1		CXCR1	FRMD3	CHST2	FUT4	STAT1	CLEC4D	HES1	STAT2	IRF1
LPAR1	SLFN5	TOR1B	NUB1	LOC100131541		FBXO6	CHI3L1	RGS1	MAK	CCRL2	WARS	
CYP1B1	VCAN	MMP14	SAMD9L	MAP3K7CL		NFAT5	PTPRJ	HSD11B1	FAM124A	RASGEF1B	F3	
LINC00158		TP53INP2	AGO2	MYO10	BCL6	AREG	BIRC3	TRIM5	PIK3AP1	SPINK6	TBC1D1	PIM2
CMPK2	CCNYL1	MYO1G	PSMB8-AS1		OAS2	NCR3LG1	TMEM47	LOC37443		RUNX3	TBC1D9	
HAMP	SIPA1L1	IBSP	KLRB1	ETS2	WTAP	SDC4	SLCO3A1	APOL3	HIF1A	DHX58	CSRNP1	XAF1

PTGER4	SP110	PPIF	AK4	P2RX7	FAS	ASAH2B	GPD2	NLRC5	FPR1	LCP2	ZNFX1
CX3CR1	EIF4E3	SULF2	NFKBIZ	FAM26F	B4GALT1	HIVEP2	TIMP1	FSCN1	HIVEP3	STAR4D	LOC101929709
VEGFA	TAP1	CD274	SLC43A3	C19orf66	SPAG1	DGKH	TLR2	CA12	AIM2	ENPP2	NFE2L3
OPRK1	SLC25A37		LOC285957		RNF213	ARNTL2	GZMB	HMGN2P46		CLEC4E	KIAA0040
PANX1	LINC01268		ITGB3	CPM	LOC102724162		FLJ12120	DDIT4	OAS3	OPTN	SLC43A2
PNPLA1	PLEKHO1		ADGRG3	AIFM2	BTG3	IFI35	BTBD19	KRT23	RABGAP1L		SIK3
LILRA3	SAMD4A	RIPK2	LIMK2	LDLR	C9orf91	PLEKHA4		TNFSF9	NCOA7	DTNA	GPR132 CD69
IFITM3	PRF1	IFI44L	LOC644090		RNF144B	MCTP2	JAK3	HHLA2	ANTXR2	SLC1A2	PEL11 BRE-
AS1	ATF5	TMEM106A	ABC5		TMEM110		DOCK4	MMP7	CCR5	PMAIP1	CD48
GMPR	PLAGL2	ADGRE2	SAMSN1	PRKCB	CKAP4	ARL5B	PHLDA2	LINC00189		IL36G	UGCG TNIK
EPSTI1	TMEM154		BATF3	XRN1	IFITM2	TDRD6	CCRN4L	ACSL5	CMKLR1	IRF7	ADAM8 LSS
PVRL2	TRIB2	DUSP2	SLC2A6	NR4A3	GPR171	TFPI2	CXCL2	NRIP3	HSH2D	SLC30A4	GBP2 PML
LOC101928865	TRIP10	CD93	IGFBP4	TAGAP	LOC100506098		HELZ2	SOCS1	IL4I1	CCR2	
MASTL	PRDM1	ICAM1	EBI3	SLC41A2	KYNU	ABCA6	CXCL3	IFIT3	KCNN4	SAMD9	FNDC3B TNC
TNFAIP3	CD40	ANXA3	PARP14	SRGN	CCL22	SGPP2	MX2	IER3	LAMB3	MICALL1MXD1	RND3
MX1	NAMPT	RARRES1	BATF	C17orf96	OASL	BATF2	FCN1	TNFSF15	IL7R	RASGRP1NFKBIA	GPC4
NEURL3	RGS2	DUSP5	HERC5	ZC3H12C	RASSF2	RHOH	GBP4	ITGB8	CFLAR	GPC3	VNN3 NBN
FJX1	LINC01215		FAM65B	MREG	ZBP1	BASP1	SERPINB2		PPP1R17	MMP10	IL1A ETV7
POU2F2	CCL23	FCAR	TNIP1	AQP9	IFIH1	CYP3A5	PID1	CYP3A4	MARCKSL1	NFKB1	IFIT1
GCNT4	HERC6	LILRA1	SOCS3	MFSD2A	PDE4B	SLC7A5	NLRP3	NFKB2	ARID5B	GBP1	SMAD3 GBP5
RCAN2	IFIT2	OLIG1	MGAM	CCR7	GRAMD1A		CD44	CCL4	IGF2BP3	RNF19B	PLA2G4A
HOPX	LINC01093		PAX5	GCH1	GPR183	ATF3	PLA2G7	FPR2	CYP27B1	CRISPLD2	
GBP1P1	TNIP3	CHST15	NT5C3A	PNPT1	FLT1	HEY1	PSTPIP2	DDX58	NINJ1	EHD1	EREG
FFAR2	KCNJ15	EMP1	ISG15	CFB	STAP1	LOC731424	IRAK2	TNFSF8	ABTB2	CD38	
ANKRD22		MCOLN2	BCL2L14	EGR3	IL12B	ADAM19	TCF4	IL1R2	IL23A	CYP3A7-CYP3A51POS M	
TNFSF10	GNG2	ADA	CCL5	MGC12916	TNF	CD80	ETV5	SELL	EXT1	STK26	IL1B
CCNA1	TRAF1	CCL7	CXCL5	ELOVL7	NEXN	KCNJ2	STEAP4	CCM2L	GJB2	SLAMF1	CLEC2D
DNAAF1	NDP	USP18	SPHK1	HESX1	CXCL10	MARCKS	LAMP3	IL15RA	TMEM171		HBB
IL1RN	RGL1	C15orf48	IFTM1	CCL2	ADM	TNFAIP6	SLC39A8	CCL20	PDGFRL	GPR84	CXCL1
SERPINB9	G0S2	STAT4	CH25H	CXCL8	RSAD2	PI3	EDN1	PROK2	S100A12	HS3ST3B1	
CCL8	SLAMF7	PTX3	PTGS2	IDO1	ISG20	IRG1	IL6	CXCL11	SLC45A4	ZCCHC24CBX7	
MAST4	PIK3C2B	TMEM173	TEX2	INSR	ADD3	STON1	FAM105A RHOBTB2				NCLN
CCNG2	APOL4	PLXDC2	MLPH	LOC728730	CYSLTR1	PRIM1	DEF6	LYPLAL1	FHL1	CCDC14	
INPP4A	KLHL24	MIS18BP1	AUH	CHRM3	PTPN22	CCDC170	ACER3	ELP2	SHMT1	BAIAP2-AS1	
FAXDC2	ALDH5A1		KAZN	SH3BP4	GLMP	ADRB2	MOSPD1	GLCE	SHB	ABCC5	GPD1 KLF4
BRI3BP	PNPLA6	LRRC75A	TSEN2	LOC100507557	CELF2	GGA2	SLC4A8	EGR2	CHDH	IDH1	MYB
C10orf128TCHH	HPGD	FRAT1	PRKACB	LIN7A	KCNE3	SNAI3-AS1		CENPV	ENOSF1	MROH6	
SLC24A4	PDK3	GPRIN3	CD101	STAC	C11orf45	CD300LF	PKIA	SLC46A1	TLR5	RASAL2	SLC46A3
ZC2HC1APPARG	RNF125	KCNAB1	MOB3B	ADORA1	ITPKB	DYX1C1	ANXA11	MPZL2	LOC100507642		
TMCS8	PCYOX1L	PMP22	ZNF483	HLTF	TNRC6C-AS1	TEX14	DTHRS3		MXI1	AVPI1	
PFKFB2	ADCK3	UBASH3B	STMN1	FAM117B	ACACB	PNPLA3	ACSS1	IRS2	WDR91	FAM13A	
SLC7A8	ST5	ABHD5	NFIA	MBNL2	TMEM74B	MAML3	RAB11FIP1		LOC101928429	PELI3	
ABAT	CCDC85CSLC19A3	RDH10	C15orf52	SNAI2	TMEM56	LOC100287896	ZNF788	CEBPA	EXTL2		
ARPIN	CABLES1	CACNA1D	ABCG1	ARHGEF28	MURC	ZNF589	GPR34	NALCN-AS1			
FFAR4	PRAM1	ZNF365	RHOBTB1		DDIAS						

Células Dendríticas

RABGAP1L	PRLR	RAPGEF2	CAMSAP2	JUP	KAT2B	ATXN7L1	CEPB	TUFT1	BAK1	TNIK	
PTGER2	EXTL2	TRIP4	TRIB2	EZH2	RDX	GTPBP2	CCL2	EIF4H	ERRFI1	NRG4	ZBTB43
BARD1	EPHA7	SMURF1	SLC7A1	STEAP1B	PLAUR	ST3GAL5	TNIP2	MOB3C	PIM3	ENDOD1	SP100 TJP1
CCDC109B		MFHAS1	FAM46C	PARP11	RAB29	IFIT1B	LILRA6	DSP	UNC5C	RHOF	SMAD3
SOCS2	MT1M	LGALS3BP		PDE4B	CCNA1	ACOX3	TUBB2A	ADPRHL2		SWT1	NEDD1
USP12	CCNYL1	MYCBP2	PIWIL4	RGS20	PATL1	NFKBIA	ATP1B1	LYN	MDX1	IL1RAP	ARHGAP27
SH2D1B	CLEC5A	FAM129A	NEDD4	DUSP1	SKIL	TNFRSF10A		DNAJB5	UST	SERPINA1	
CLEC4F	NEURL3	FAM60A	ADGRE1	TCEANC2	ICAM1	PSMA3	NEXN	TRIM56	EDEM1	FLJ13224	
TNFSF9	AIDA	PSTPIP1	SMCHD1	MEF2A	PPP1R15A	B4GALT5	NABP1	GTF2B	OLR1	AKAP7	
SLFN12L	TRIM5	C3orf38	KIAA0226	FEM1C	CMTR1	NR1H3	BAZ1A	CLEC6A	BAMBI	EDARADD	
SPAG1	RNF149	DTX4	PTGIR	MT1DP	JADE2	NFKBIE	MIR142	KITLG	SNX10	TMEM255A	
TMEM2	SYTL3	FZD5	RFTN1	CCNJ	MT1P3	SESN3	TMCC3	LAP3	PPP2R2A	HIAT1	
MOV10	TSPAN13	TMEM150B		CSRNP2	CENPN	STX17	PTK2B	PSMB9	SSTR2	LILRB4	SLC41A2
DNAJC6	LILRB1	XAF1	PCNX	CD2AP	CPEB2	MSC	GRAMD3	ARMCX1	GPR141	TGIF1	N4BP2L1
GVINP1	PPP3CC	WTAP	KIAA1324L		KMO	G0S2	LDLR	TRIM36	TRIL	FAM208B	SOCS3
RBM43	CASP1	SAMD4A	ZNF107	TAP2	UBXN2A	GRAMD1A		BHLHE41CNP	PLAGL1	GPBP1	TLR7
MT1E	PXDC1	ALDH1L2JAK2		GLRX	SLC7A5	C5orf56	PAX5	USP42	PIK3AP1	NFKB2	MFSD2A
OTUD4	GPR84	RHBDF2	CXCL1	FAS	NFKBID	HLA-DOB		MAP4K4	MMP19	SMCO4	MAML2
MT1A	CASS4	TRIM22	SLFN12	STK40	PHF11	UBE2S	STK17A	C17orf96	PCGF5	FSDL1	MYD88
PIK3R3	PHACTR4		PLA2G4C	RPS6KC1	RIPK1	C1QTNF1SGTB		FRMD3	UBE2L6	LDLRAD3	
SEMA4D	USP6NL	TNFSF13B		NUB1	SPSB1	GTPBP1	FAM107B	TNFRSF4	AREG	AK4	B3GNT2 LIFR
LAD1	SLC31A2	LGALS2	HOMER1	DTX3L	HK2	ZC3HAV1	PFKFB3	CXCL8	C4orf46	SP140L	BTG1
STAT2	SLC2A6	MARVELD2		MB21D1	HMGCS1	MICB	FAM46A	BCL2L14	IL27	LAMP3	IFITM3
INSIG1	FSCN1	PPA1	CDK17	SNORD14E	GRHL1	DAPP1	NMI	EXOSC9	KYNU	SECTM1	CD80
TANK	NCKAP1	RASGEF1B		TNIP1	RICTOR	IFI6	WDR63	LY6E	HIVEP1	CCR4	PLS3
FAM122C	KCNJ2	HELB	TRAFD1	NFKB1	TLR2	CLDN1	RNF19A	MT1JP	MYOF	NINJ1	SRC
ISCA1	DENNDS5A		HEG1	IRF7	NXN	BTG3	APOL1	ZNF618	MT1F	MFN1	CKB
DCP1A	C19orf66	FAM26F	STAT1	POGLUT1		ANKRD22		DNAJB4	HELZ2	IL36G	GADD45B
P2RX4	TRIM21	CASP10	TLR3	SLC38A5	IL1RN	PEAK1	EHD1	RIN2	ASPHD2	CCL3	SLC25A28
PTGER4	MT1G	ADM	CFLAR	GPR31	CCRL2	C21orf91	EPT1	PARP9	LOC344887	SLC05A1	
MAP3K13ATP10A	IL15	ADA	TRIM31	IFI27	GPR132	DUSP5	ZNFX1	AQP9	TRIM25	CASP7	
TAPBP	WARS	CSRNP1	CD83	CLEC4D	IL7R	ACSL1	PLAT	OPTN	GPD2	NBN	PANX1 CD48
SERPINB9P1		TMEM217		TDRD7	CDC42EP3	ELOVL7	RNF213	RIPK2	CD69	APOBEC3F	

HAPLN3	IKBKE	CARD16	NFE2L3	GPR180	OR52K3P	ATF3	KIAA0040	DENND3	SLFN5	NLRCS
BLZF1	HS3ST3B1		F3	APOL2	IFI35	NAMPT	STAT4	IRF8	IFIT5	GUCY1A3
DYNLT1	CYP27B1	TNC		APOL6	BATF2	EIF2AK2	ATF5	VCAM1	MYO1B	TMEM171
STARD4	STX11	ISG20		FAM135A	PVRL3	HDX	SAMD9	MAMLD1	XRN1	NR4A3
TRANK1	TMEM229B			PGAP1	RGS1	LTA	CYP7B1	MELK	PARP14	ZBP1
LILRA5	TOR1B	APOBEC3B		PLSCR1	PAPD7	IFNL1	TNFAIP2	HCAR3	BIRC3	RTP4
SP110	SP140	VCAN	HCAR2	TMEM140		IRAK2	ARL5B	NFKBIZ	STARD5	CFB
C15orf48	PPM1K	DHX58	TNFAIP3	OAS2	DRAM1	GBP2	P2RX7	KCNA3	ISG15	APOBEC3G
EBI3	TNFSF8	GRB10	SEMA3A	ETV7	OAS1	IRF1	CLEC4E	IL12B	EPST1	SERPINB9
DDX60	TTC39B	IFIH1	MCOLN2	SERPING1		MASTL	OAS3	APOL3	TNF	PNPT1
GALNT3	BCL2A1	CCL1	TNIP3	INHBA	CMPK2	ZC3H12C	NUPR1	SLAMF7	DDX60L	TRAF1
HERC6	CCL8	AIM2	GP1BA	BRIP1	EREG	TNFSF15	IL2RA	IFI44	MT2A	HIVEP2
TNFSF18	GCNT4	MX1	PTX3	GMPR	ITGB8	PMAIP1	IRG1	CD38	USP18	TNFSF10
CCL20	IFIT3	IFI44L	OASL	PTGS2	HERC5	IDO1	CCL4	SGPP2	GCH1	PDGFRL GBP5
STAP1	IFIT1	IL1B	TNFAIP6	IL6	RSAD2	GBP4	IFIT2	CXCL9	CXCL11	IL1A
CYHR1	TPCN1	ABL1	ZNF737	C14orf119	ZFAND1	CTDSPL	ZNF331	TRUB2	ATAD2	TNFRSF9
ZNF330	FLI1	AURKA	CLN8	APBB1P	PRIMPOL	TXLNG	MINA	SAMM50	POLH	CCEP120 GIT1
CCDC14	ARRDC3	RGL2	KIAA1107		ABHD4	MRPL35	ZNF641	SLC7A8	NPAT	TRMT5
RPF2	FAM78A	ATF7IP	LIMK1	WDR91	BRIX1	HMGB2	UBR7	CXCR1	ZNF248	FAHD1
POLD3	NOB1	RFX7	KIAA1147		ASB13	SPIN4	PRPSAP1	RACGAP1		ICMT
USP13	PIGF	DHX32	CORO1A	SNORD78C	16orf54	ZADH2	AKTIP	KIAA1586		VPS26B
BLNK	MKKS	FAM185A	CD93	UBALD1	MID2	STAM	CERK	EHMT2	MOCOS	BBS5
NADK2	ZNF420	MAP3K4	MARCH8	CTR9	SACS	GLT8D1	COG6	SLC35C1	ZNF318	SIGLEC9
ZFAND4	RHNO1	CEP78	TEX2	POLR1B	MOSPD1	PXK	HSPH1	KLHDC3	TIMM8A	NOP2
THBD	TSPAN15	ZNF788	KLHL8	METTL7A		GPATCH11	MYBL1	ZNF398	EXOSC2	RNF44
ZC3H14	SPINT1	DUS2	SLX4IP	PIK3R6	ZNF8	REV1	NKIRAS1	PMS2	GNPDA1	FAM178A
CASP2	FAM98A	LYRM7	ERCC4	LIAS	ORAI3	KCTD12	SLC16A6	NAPEPLD		FASTKD1
IL18	TMEM71	FUT10	RRPD2	SPIRE1	PRIM1	ZNF121	TMEM116	PRKACB	BCL11A	RBL1
SLC37A2	SNORA75NUDT7		C7orf49	HPS3	RFXAP	ASF1A	HIST1H4L	TAF4B	PRMT9	MORC2
RAP2A	ZNF566	ERLIN1	PTPN22	LINC00324		CHN2	AKAP1	MAP3K5	IVNS1ABP	INPP4A
PLIN2	MAP3K3	ZM YM3	ELP2	HIST1H1C		TRIT1	TMEM144	HMBS	C21orf59	TME223
FAM217B	TGFBRAP1		LDB1	OSBPL11	NAA40	ZNF234	TRERF1	BCL7A	ZNF724P	RWDDB2 BRD8
LRRC25	RAB32	UBAC1	USP21	ZYG11B	SMAD5	TFB2M	FRMD4B	DTWD1	CDC40	SPRED1
SRGAP1	MTSS1	ZNF362	RFC4	CYBRD1	SPIN1	TBC1D2	HS6ST1	BCL9	FES	BRI3BP
ZNF383	OXR1	PAK1IP1	TAL1	TDP1	AVPI1	DEPTOR	SLC25A48		GLCE	ADO
MIS18BP1	DIS3L	ERI2	MAST3	SCAI	ATG9A	CIPC	EGR2	CD200R1	SYT1	RCOR3
FCHO2	ABHD6	GGA2	MTRR1	ID3	TDRKH	SETD7	GZF1	LRIG1	ZFYVE16	PPAP2B
ZNF480	RNF168	SPICE1	NFIA	ZNF252P	AP2A2	CHDH	SLC45A4	NARS2	SETDB2	SLC29A3
TBCK	ZNF615	ABCC5	FKBP4	TUBGCP4		DENND4C	COA7	KLF3	CASD1	METTL21A
B3GNT5	NUDT16P1	MYC	IRF2BP2	CAMK2G	HIST1H1E		LGR4	RAB33A		SLCO2B1
IFNGR1	RCHY1	FAM117B	CLPX	TBC1D14	GAS2L3	PIK3R1	CASP9	FAM189A2		TP53INP1
SLC39A10	PDGFC	ST8SIA6	RGS18	HS3ST1		TLR6	ZNF570	PARP16	MTMR10	FZD3
KLHDC2	SPAG5	ZNF652	MSH2	EEDP1	CFL2	TCP11L2	TMEM86A	ZNF844	SKP2	YAE1D1
ATG4C	DOK2	ABHD10	TMEM55A		PLA2G15	PREPL	FBXL20	KBTBD7	HIST1H3I	RMND5A
PDK2	DNAAF2	CDCA7L	CCR2	MARCH3	FOXQ1	CTNS	CCDC125	FAM214A	ADGRE4P	HLTF
TIMM21	CD163L1	SLAMF6	ZNF589	OLFML2B		MAFB	MS4A6A	STAC	DAAM1	GPR146
ZNF780A	NFXL1	GFRA2	ZNF780B	YPEL2	TRIM32	SNX30	SLC46A3	ARV1	MTFMT	WDR12
SLC22A5	GPR34	ZFP69	GPR65	RALGPS2	PLAU	TRAM2	MBNL2	LRMP	OSGEPL1	FGD4
APPL2	SLC40A1	RNF125	MAF	RRS1	P2RY13	CD180	DUSP7	KLHL24	TRIM36	PDP2

Comunes

ABTB2	ADD3	ADM	BIRC3	BRI3BP	C15orf48	CCL2	CCL20	CCL4	CCL5	CCRL2
CD80	CFLAR	CORO1A	CXCL1	CXCL10	CXCL11	CXCL8	CYP27B1	DRAM1	DUSP5	EHD1
ELOVL7	ENDOD1	EPST1	FAM117B	FAM26F	FRMD3	FSCN1	G0S2	GBP2	GBP5	GGA2
GPR132	GPR84	GRAMD1A		HIVEP1	HIVEP2	HRH1	HS3ST3B1	ICAM1	IFI44	GPD2
IFIT2	IL12B	IL15RA	IL1B	IL7R	INPP4A	IRAK2	IRF7	IRG1	ISG15	IFIT1
KCNJ2	KLHL24	KYNU	LAMP3	LDLR	LYN	MAFB	MAML2	MAMLD1	MFSD2A	JADE2
MYO10	NAMPT	NFE2L3	NFKB1	NFKB2	NFKBIA	NFKBIE	NFKBIZ	NINJ1	NR4A3	MX1
OASL	OPTN	PDE4B	PELI1	PIM3	PRKACB	PSTPIP2	PTGS2	PTPN22	PTX3	MXD1
SEMA4D	SERPINB9		SGPP2	SLAMF7	SLC1A3	SLC2A6	SLC41A2	SLC46A3	SOCS3	OAS2
TDRD7	TLR2	TNF	TNFAIP2	TNFAIP3	TNFAIP6	TNFRSF9	TNFRSF15	TNIP1	TRAF1	OAS3
WDR91	WTAP	ZC3H12C	ZNF618				HRH1	HRH4	JMY	DAB2

## Tabla Suplementaria 2

**Enriquecimiento en vías KEGG y términos GO para los genes comunes**

Category	Term	Count	%	P-Value
KEGG_PATHWAY	Toll-like receptor signaling pathway	13	1,1	5,3E-10
KEGG_PATHWAY	NOD-like receptor signaling pathway	10	0,8	1,6E-8
KEGG_PATHWAY	Cytokine-cytokine receptor interaction	16	1,3	7,8E-8
KEGG_PATHWAY	Apoptosis	9	0,7	3,9E-6
KEGG_PATHWAY	Chemokine signaling pathway	12	1,0	4,3E-6
KEGG_PATHWAY	RIG-I-like receptor signaling pathway	8	0,7	1,0E-5
KEGG_PATHWAY	Cytosolic DNA-sensing pathway	7	0,6	2,6E-5
KEGG_PATHWAY	Epithelial cell signaling in Helicobacter pylori infection	6	0,5	8,3E-4
Category	Term	Count	%	P-Value
GOTERM_BP_FAT	immune response	33	2,7	2,0E-17
GOTERM_BP_FAT	defense response	27	2,2	3,6E-13
GOTERM_BP_FAT	inflammatory response	20	1,6	3,3E-12
GOTERM_BP_FAT	response to wounding	23	1,9	4,6E-11
GOTERM_BP_FAT	response to molecule of bacterial origin	11	0,9	8,3E-10
GOTERM_BP_FAT	response to lipopolysaccharide	10	0,8	5,8E-9
GOTERM_BP_FAT	response to bacterium	13	1,1	2,2E-8
GOTERM_BP_FAT	response to cytokine stimulus	9	0,7	1,3E-7
GOTERM_BP_FAT	positive regulation of immune system process	13	1,1	2,2E-7
GOTERM_BP_FAT	chemotaxis	11	0,9	3,4E-7
GOTERM_BP_FAT	taxis	11	0,9	3,4E-7
GOTERM_BP_FAT	response to organic substance	21	1,7	3,5E-7
GOTERM_BP_FAT	regulation of apoptosis	22	1,8	4,6E-7
GOTERM_BP_FAT	regulation of programmed cell death	22	1,8	5,4E-7
GOTERM_BP_FAT	regulation of cell death	22	1,8	5,7E-7
GOTERM_BP_FAT	positive regulation of response to stimulus	12	1,0	1,6E-6
GOTERM_BP_FAT	anti-apoptosis	11	0,9	3,4E-6
GOTERM_BP_FAT	response to hormone stimulus	14	1,1	3,7E-6
GOTERM_BP_FAT	response to endogenous stimulus	14	1,1	1,1E-5
GOTERM_BP_FAT	behavior	15	1,2	1,1E-5
Category	Term	Count	%	P-Value
GOTERM_MF_FAT	cytokine activity	14	1,1	5,9E-10
GOTERM_MF_FAT	chemokine activity	8	0,7	2,2E-8
GOTERM_MF_FAT	chemokine receptor binding	8	0,7	3,5E-8

Tabla Suplementaria 3

**LogFC de los genes de los clusters 6 y 26**

Genes	Cluster	Monocitos	Macrofagos	Dendriticas
CCL20	6	7,29	3,65	4,37
CCL4	6	6,11	2,29	4,90
CXCL1	6	4,74	3,82	1,32
CXCL8	6	6,40	3,97	1,46
EBI3	6	5,80	1,84	2,68
ELOVL7	6	6,13	3,01	1,92
GCH1	6	4,63	2,33	4,97
IL12B	6	6,26	2,62	2,81
IL1B	6	6,18	2,94	5,20
IL7R	6	5,80	1,95	1,86
LAMP3	6	6,30	3,30	1,50
PTX3	6	5,68	4,48	3,84
SERPINB9	6	4,84	3,85	2,89
SLAMF7	6	4,73	4,38	3,37
STAT4	6	5,22	3,87	2,02
TNFAIP6	6	8,47	3,60	5,26
TNFRSF9	6	4,62	1,15	3,69

Genes	Cluster	Monocitos	Macrofagos	Dendriticas
ABTB2	26	2,29	2,60	2,52
BIRC3	26	3,43	1,31	2,39
CCL5	26	1,83	2,77	3,69
CCL8	26	3,09	4,34	3,47
CCRL2	26	1,61	1,27	1,79
CD40	26	3,68	1,87	2,19
CD80	26	3,56	2,80	1,56
CFLAR	26	1,59	1,99	1,78
CYP27B1	26	1,79	2,38	2,06
DRAM1	26	3,17	1,09	2,58
EHD1	26	3,46	2,48	1,76
EPSTI1	26	1,81	1,69	2,87
GBP2	26	3,50	1,78	2,58
GBP5	26	2,90	2,23	4,32
GPD2	26	2,40	1,39	1,88
HIVEP1	26	2,90	1,02	1,59
HIVEP2	26	2,87	1,44	3,39
IFI44	26	2,24	1,23	3,64
IFI44L	26	2,55	1,60	4,43
IRAK2	26	3,38	2,59	2,50
IRF7	26	1,52	1,73	1,65
ISG15	26	1,23	2,55	2,66
ITGB8	26	2,86	1,99	3,91
KYNU	26	3,50	1,85	1,56
MAMLD1	26	3,00	1,11	2,14
MX1	26	2,87	1,92	3,82
MYO10	26	1,70	1,30	2,42
NAMPT	26	3,04	1,92	2,02
NFE2L3	26	2,54	1,50	1,95
NFKB1	26	3,53	2,11	1,61
NFKBIZ	26	2,77	1,43	2,51
NINJ1	26	3,60	2,47	1,64

Tabla Suplementaria 3

NR4A3	<b>26</b>	2,14	1,75	2,10
OAS2	<b>26</b>	1,67	1,32	2,56
OAS3	<b>26</b>	1,30	1,53	3,00
OPTN	<b>26</b>	1,80	1,53	1,88
PELI1	<b>26</b>	2,76	1,63	2,88
SLC2A6	<b>26</b>	3,15	1,75	1,48
SRC	<b>26</b>	1,90	1,13	1,64
TNF	<b>26</b>	2,74	2,80	3,03
TNFAIP2	<b>26</b>	4,03	1,09	2,37
TNFAIP3	<b>26</b>	3,44	1,87	2,56
TNFSF15	<b>26</b>	1,67	1,94	3,57
TNIP1	<b>26</b>	2,97	2,08	1,57
TNIP3	<b>26</b>	4,07	2,42	3,20
TRAF1	<b>26</b>	2,91	2,97	3,38
ZC3H12C	<b>26</b>	2,18	1,98	3,29

Tabla Suplementaria 4

**Efecto del calcitriol sobre los genes del cluster 26**

GEN	CALCITRIOL	PubMed ID	Authors
<b>ABTB2</b>			
<b>BIRC3</b>	Disminuye	21592394	Wang WL, et al.
<b>CCL5</b>	Disminuye	12040012	Lin R, et al.
<b>CCL8</b>	Aumenta	21592394	Wang WL, et al.
<b>CCRL2</b>			
<b>CD40</b>	Disminuye	19186073	Almerighi C, et al.
<b>CD80</b>	Disminuye	19186073	Almerighi C, et al.
<b>CFLAR</b>			
<b>CYP27B1</b>	Aumenta/Disminuye	19297354	Matsui I, et al.
<b>DRAM1</b>			
<b>EHD1</b>	Aumenta	16002434	Wang TT, et al.
<b>EPSTI1</b>	Disminuye	26485663	Sheng L, et al.
<b>GBP2</b>			
<b>GBP5</b>			
<b>GPD2</b>	Aumenta	26485663	Sheng L, et al.
<b>HIVEP1</b>			
<b>HIVEP2</b>	Aumenta	16002434	Wang TT, et al.
<b>IFI44</b>			
<b>IFI44L</b>			
<b>INHBA</b>	Aumenta/Disminuye	16002434	Wang TT, et al.
<b>IRAK2</b>	Aumenta	16002434	Wang TT, et al.
<b>IRF7</b>	Aumenta	21592394	Wang WL, et al.
<b>ISG15</b>			
<b>ITGB8</b>	Aumenta	26485663	Sheng L, et al.
<b>KYNU</b>			
<b>MAMLD1</b>	Aumenta	16002434	Wang TT, et al.
<b>MX1</b>			
<b>MYO10</b>			
<b>NAMPT</b>	Aumenta	21592394	Wang WL, et al.
<b>NFE2L3</b>			
<b>NFKB1</b>			
<b>NFKBIZ</b>	Disminuye	16002434	Wang TT, et al.
<b>NINJ1</b>	Aumenta	12875902	Song JH, et al.
<b>NR4A3</b>			
<b>OAS2</b>			
<b>OAS3</b>	Disminuye	21592394	Wang WL, et al.
<b>OPTN</b>	Aumenta	21592394	Wang WL, et al.
<b>PELI1</b>	Aumenta	21592394	Wang WL, et al.
<b>SLC2A6</b>			
<b>SRC</b>			
<b>TNF</b>	Disminuye	21592394	Wang WL, et al.
<b>TNFAIP2</b>	Aumenta	16129123	Ishii Y, et al.
<b>TNFAIP3</b>	Aumenta	21592394	Wang WL, et al.
<b>TNFSF15</b>	Aumenta	21592394	Wang WL, et al.
<b>TNIP1</b>			
<b>TNIP3</b>			
<b>TRAF1</b>	Disminuye	26485663	Sheng L, et al.
<b>ZC3H12C</b>	Aumenta	16002434	Wang TT, et al.